



جمهورية العراق  
وزارة التعليم العالي والبحث العلمي  
جامعة كربلاء  
كلية التربية للعلوم الصرفة  
قسم الكيمياء

## دراسة إزالة صبغتي Remazol Brilliant blue و Malachite green من محاليلها المائية باستخدام صخور البورسيلينات العراقية وشكلها المحور

رسالة مقدمة إلى  
مجلس كلية التربية للعلوم الصرفة – جامعة كربلاء  
وهي جزء من متطلبات نيل درجة الماجستير في علوم الكيمياء

من قبل  
**نور علي يزي الخزعلي**  
بكالوريوس تربية كيمياء – جامعة كربلاء 2015

بإشراف

**أ. د. منير عبد العالي عباس الدعيمي**

2017م

1438 هـ

بِسْمِ اللَّهِ الرَّحْمَنِ الرَّحِيمِ

﴿ قَالَ رَبِّ اشْرَحْ لِي صَدْرِي ﴾

وَيَسِّرْ لِي أَمْرِي ﴿ وَأَحْلِلْ

عُقْدَةَ مَنِّ لِسَانِي ﴿ يَفْقَهُوا

قَوْلِي ﴿

صَدَقَ اللَّهُ الْعَلِيِّ الْعَظِيمِ

سُورَةُ طه الأيات (25-28)

## إقرار المشرف

أقر بأن إعداد الرسالة الموسومة :

(دراسة إزالة صبغتي **Remazol Brilliant blue** و **Malachite green** من محاليلها المائية باستخدام صخور البورسيلينات العراقية وشكلها المحور ) قد جرى تحت إشرافي في قسم الكيمياء / كلية التربية للعلوم الصرفة / جامعة كربلاء وهي جزء من متطلبات نيل درجة الماجستير في الكيمياء (الكيمياء التحليلية).

التوقيع :

المشرف : أ.د. منير عبد العالي عباس الدعيمي

المرتبة العلمية : أستاذ

التاريخ : / / 2017

## إقرار رئيس لجنة الدراسات العليا ورئيس القسم

بناءً على التوصيات المقدمة من المشرف أشرح هذه الرسالة للمناقشة.

رئيس لجنة الدراسات العليا  
ورئيس قسم الكيمياء

التوقيع :

الاسم : أ.د. حميدة عيدان سلمان

المرتبة العلمية : أستاذ

التاريخ : / / 2017

## إقرار المقوم اللغوي

أقر بأن رسالة الماجستير الموسومة :

**دراسة إزالة صبغتي Malachite green و Remazol Brilliant blue من محاليلها المائية باستخدام صخور البورسيلينات العراقية وشكلها المحور.**

التي تقدمت بها الطالبة نور علي يزي  
قد جرى تقويمها لغوياً بإشرافي وهي جزء من متطلبات نيل درجة الماجستير في  
الكيمياء .

التوقيع :  
الاسم :  
المرتبة العلمية :  
العنوان :  
التاريخ :

## إقرار المقوم العلمي

أقر بأن رسالة الماجستير الموسومة :

**دراسة إزالة صبغتي Remazol Brilliant blue و Malachite green من محاليلها المائية باستخدام صخور البورسيلينات العراقية وشكلها المحور.**

التي تقدمت بها الطالبة نور علي يزي  
قد جرى تقويمها علمياً بإشرافي وهي جزء من متطلبات نيل درجة الماجستير في  
الكيمياء .

التوقيع :

الاسم :

المرتبة العلمية :

العنوان :

التاريخ :

## إقرار المشرف

أقر بأن إعداد هذه الرسالة قد جرى تحت إشرافي في قسم الكيمياء / كلية التربية للعلوم الصرفة / جامعة كربلاء وهي جزء من متطلبات نيل درجة الماجستير في الكيمياء (الكيمياء التحليلية).

التوقيع :

المشرف : أ.د. منير عبد العالي عباس الدعيمي

المرتبة العلمية : أستاذ

التاريخ : / / 2017

## إقرار رئيس لجنة الدراسات العليا ورئيس القسم

بناءً على التوصيات المقدمة من المشرف أشرح هذه الرسالة للمناقشة.

رئيس لجنة الدراسات العليا

ورئيس قسم الكيمياء

التوقيع :

الاسم : أ.د. حميدة عيدان

المرتبة العلمية : أستاذ

التاريخ : / / 2017

## إقرار المقوم اللغوي

أقر بأن رسالة الماجستير الموسومة :

دراسة ازالة بعض الاصباغ الملوثة من محاليلها المائية باستخدام صخور البورسلينات العراقية وشكلها المحور.

التي تقدمت بها الطالبة نور علي يزي  
قد جرى تقويمها لغوياً بإشرافي وهي جزء من متطلبات نيل درجة الماجستير  
في الكيمياء .

التوقيع :  
الاسم :  
المرتبة العلمية :  
العنوان :  
التاريخ :

## إقرار المقوم العلمي

أقر بأن رسالة الماجستير الموسومة :

دراسة ازالة بعض الاصباغ الملوثة من محاليلها المائية باستخدام صخور البورسلينات العراقية وشكلها المحور.

التي تقدمت بها الطالبة نور علي يزي  
قد جرى تقويمها علمياً بإشرافي وهي جزء من متطلبات نيل درجة  
الماجستير في الكيمياء .

التوقيع :

الاسم :

المرتبة العلمية :

العنوان :

التاريخ :



## إقرار لجنة المناقشة

نشهد بأننا أعضاء لجنة المناقشة إطلعنا على هذه الرسالة الموسومة (دراسة إزالة صبغتي Remazol Brilliant blue و Malachite green من محاليلها المائية باستخدام صخور البورسيلينات العراقية وشكلها المحور) وقد ناقشنا الطالبة (نور علي يزي) في محتوياتها وفي ما له علاقة بها ووجدناها جديرة بالقبول لنيل درجة الماجستير في الكيمياء/كيمياء تحليلية وبدرجة ( امتياز).

### رئيس اللجنة

التوقيع:

الاسم : د. شوكت كاظم جواد

المرتبة العلمية : أستاذ

العنوان : جامعة الكوفة / كلية التربية للبنات

التاريخ : 2017 / /

### عضو اللجنة

التوقيع:

الاسم : د. محمد جاسم حمزة

المرتبة العلمية : أستاذ مساعد

العنوان : جامعة النهرين / كلية الصيدلة

التاريخ : 2017 / /

### عضو اللجنة

التوقيع:

الاسم : د. عبد الباري مهدي ماهود

المرتبة العلمية : أستاذ مساعد

العنوان : جامعة كربلاء / كلية الصيدلة

التاريخ : 2017 / /

### عضو اللجنة (المشرف)

التوقيع:

الاسم : د. منير عبد العالي عباس

المرتبة العلمية : أستاذ

العنوان : جامعة كربلاء / كلية التربية للعلوم الصرفة

التاريخ : 2017 / /

### مصادقة عمادة كلية التربية للعلوم الصرفة

التوقيع:

الاسم : د. نجم عبد الحسين نجم

المرتبة العلمية : أستاذ

العنوان : كلية التربية للعلوم الصرفة / جامعة كربلاء

التاريخ : 2017 / /

# الإهداء

إلى ..... أنوار عرش الله قبل خلقهم وأحارت الأنام في وصفهم

محمد وآل بيته الطاهرين

إلى ..... مَنْ رَبَّانِي طفلة صغيرة وحُبّه لي صافي السريرة

أبي الحبيب

إلى ..... التي نذرت شبابها من أجلي ومن أجل إخوتي من غير كلمات لا توفيتها حقها ولو كانت ملئ البحر

أمي الحبيبة

إلى ..... أفق الأخوة والمحبة الوضاء

أخواني و أخواتي

إلى ..... أساتذتي وكل القلوب المخلصة التي قدّمت لي يد العون والمساعدة

أهدي إليهم جميعاً جهدي المتواضع

## شكرو وتقدير

الحمد لله حمداً يُبْلِغني رضاه، والصلاة والسلام على عبده ورسوله محمد (ﷺ) خير من إصطفاه  
وعلى آله وصحبه أجمعين.

لا يطيب لي وأنا أضع اللمسات الأخيرة لرسالتني إلا أن أشكر الله (ﷻ) على كرمه وفضله وإحسانه  
في إتمام هذا العمل وأتقدم بالشكر الجزيل والثناء الجميل الى الأستاذ المشرف على رسالتني الأستاذ الدكتور  
منير عبد العالي عباس الدعي لاقتراحه موضوع البحث وإشرافه على الرسالة ولأرائه التي أغنت محتواها  
العلمي ولما أحاطاني به من توجيهات ونصائح وتشجيع في كتابة البحث، ودعمه المتواصل لي لما كان له  
الأثر البالغ في الوصول إلى غايته، أسأل الله أن يجزيه عني خير الجزاء مع تمنياتي له دوام الموفقية والعطاء  
المستمر.

كما أتقدم بخالص شكري وتقديري إلى عمادة كلية التربية للعلوم الصرفة ورئيس قسم الكيمياء أ.د. حميدة عيدان  
سلمان و أساتذة قسم الكيمياء لما أبدوه من مساعدة في توفير متطلبات إنجاز هذه الرسالة ولتوجيهاتهم السديدة  
خلال مدة الدراسة.

كما أتقدم بخالص شكري وتقديري إلى الأستاذة الدكتورة الفاضلة ايمان طالب كريم في كلية الطب البيطري  
لدعمها العلمي المتواصل وتشجيعها ورعايتها فهي منبع لا ينضب من العلم والمعرفة وفقها الله لكل خير وسدد  
خطاها.

كما أتقدم بالشكر إلى جميع طلبة الدراسات العليا ولكل من ساندني وعلّمني فجزاهم الله عني كل خير.  
ووفاءً و عرفاناً بالإمتنان لا أنسى فضل أسرتي التي ساندتني وتحملت أعباءً كثيرة من أجل أن توفر لي الجو  
المناسب للدراسة والبحث.

وفي الختام ماكان لهذا البحث أن يتم لولا عون الله سبحانه وتعالى فله الحمد أولاً وآخرأ.

## الخلاصة :-

تتضمن الرسالة دراسة امتزاز صبغتي Malachit green و Remazol brilliant blue على سطح صخور البورسيلينات العراقية وشكلها المحور . تمت معاملة صخور البورسيلينات العراقية مع الميلامين لتحضير معقد بورسيلينات – ميلامين ثم تمت عملية البلمرة للمعقد مع الفورمالديهايد لتحضير بوليمر بورسيلينات – ميلامين – فورمالديهايد . تم تشخيص صخور البورسيلينات العراقية و شكلها المحور بأستخدام تقنيات الأشعة ما تحت الحمراء (FTIR) ،حيود الأشعة السينية (XRD) و تم تعيين المظهر الخارجي بأستخدام مجهر المسح الالكتروني (SEM)،بالأضافة الى التشخيص بمجهر القوى الذرية AFM للشكل المحور للبورسيلينات. إجريت سلسلة من التجارب تم تقييم متغيرات تجريبية عدة تضمنت :-

زمن الاتزان ، وزن السطح الماز ، الدالة الحامضية pH ،تأثير الشدة الايونية ، تأثير درجة الحرارة (الايزوثيرمات) .

أظهرت النتائج أن الاتزان يحصل لصبغة Remazol brilliant blue عند زمن اتزان 20 min. و 0.0600 g من وزن السطح الماز ودالة حامضية 6.7 بالنسبة لصخور البورسيلينات العراقية، بينما زمن الاتزان 10 min. و 0.0100 g من وزن السطح الماز ودالة حامضية 6.7 بالنسبة للشكل المحور للبورسيلينات . اما بالنسبة لصبغة Malachit green أظهرت النتائج ان الاتزان يحصل عند زمن 30 min. و 0.0500 g من وزن السطح الماز و دالة حامضية 8.5 بالنسبة لصخور البورسيلينات العراقية، بينما 10 min. و 0.0300 g من وزن السطح الماز و دالة حامضية 8.5 بالنسبة للشكل المحور للبورسيلينات. إما دراسة الشدة الايونية فتبين ان سعة الامتزاز تقل مع زيادة تركيز الشدة الايونية بالنسبة لصبغة Remazol brilliant blue على سطح صخور البورسيلينات العراقية وشكلها المحور إما مع صبغة Malachit green تظهر سلوك معاكس.

تمت دراسة إزالة صبغتي Malachit green و Remazol brilliant blue باستخدام صخور البورسيلينات العراقية و شكلها المحور كسطوح مازة بدرجات حرارية مختلفة (328,318,308,298) كلفن لتعيين ايزوثيرمات الامتزاز و الدوال الترموديناميكية.

أستخدم أنموذجي (موديل) ايزوثيرمات لانكماير وفريندلش لوصف الايزوثيرمات التجريبية وثوابت الايزوثيرمات إظهرت بيانات الاتزان لصبغتي Remazol brilliant blue و

Malachit green إنها تتفق بشكل جيد مع إنموذج إيزوثيرم فريندلش . وشكل الايزوثيرم للصبغة تأخذ شكل حرف S طبقا لتصنيف جيلز. أيضا تم التحليل الثرموديناميكي لنظام الصبغة – السطح الماز و تم حساب قيم الثوابت الثرموديناميكية وهي التغير في طاقة جيبس  $\Delta G$  والتغير في الانثالبي  $\Delta H$  والتغير في الانتروبي  $\Delta S$  ومنه تبين إن عملية امتزاز صبغة Remazol brilliant blue على سطح البورسيلينات العراقية وشكلها المحور هي عملية تلقائية، باعثة للحرارة من قيم التغير في طاقة جيبس الانثالبي السالبة . وإن قيمة  $\Delta S$  السالبة تشير إلى نقصان في العشوائية عند التماس بين السطح و المحلول ، إما بالنسبة لقيمة  $\Delta S$  الموجبة عند امتزاز صبغة Remazol brilliant blue على سطح صخور البورسيلينات المحور تشير إلى زيادة في العشوائية عند التماس بين السطح و المحلول .

بينما تبين إن عملية امتزاز صبغة Malachit green على سطح البورسيلينات العراقية وشكلها المحور هي عملية تلقائية ، ماصة للحرارة من قيم التغير في طاقة جيبس السالبة وقيمة الانثالبي الموجبة . وإن قيمة  $\Delta S$  الموجبة تشير إلى زيادة في العشوائية عند التماس بين السطح و المحلول .

تمت المقارنة بين افضلية استخدام كلا السطحين لامتزاز صبغتي Remazol brilliant blue و Malachit green وقد وجد ان امتزاز صبغتي Remazol brilliant blue و Malachit green على الشكل المحور لصخور البورسيلينات كانت اعلى من صخور البورسيلينات العراقية.

## المحتويات

الصفحة	العنوان	ت
I - III	قائمة المحتويات	
V - IV	قائمة الجداول	
VI - VIII	قائمة الأشكال	
IX	قائمة الرموز و المختصرات	
<b>الفصل الأول / الجزء النظري</b>		
1	تمهيد	1-1
2	الامتزاز وانواع الامتزاز	2-1
3	الامتزاز الفيزيائي	1-2-1
4	الامتزاز الكيميائي	2-2-1
7	الامتزاز في المحلول	3-1
7	العوامل المؤثرة في عملية الامتزاز	4-1
7	تركيز المادة الممتزة	1-4-1
7	السطح ألاماز	2-4-1
8	طبيعة الممتز	3-4-1
8	الدالة الحامضية	4-4-1
8	درجة الحرارة	5-4-1
9	الشدة الايونية	6-4-1
10	المذيب و قاعدة تروبي	7-4-1
11	ايزوثيرمات الامتزاز	5-1
13	نظريات الامتزاز	6-1
14	معادلة لانكماير للأمتزاز	1-6-1
16	معادلة فرنديش للأمتزاز	2-6-1
17	السطح الماز	7-1
17	صخور البورسيلينات العراقية	1-7-1
19	التلوث بالصبغات	8-1
21	صبغة Remazol brillinat blue	1-8-1
22	صبغة Malachit green	2-8-1
23	المسح في الأدبيات	9-1
29	الهدف من الدراسة	10-1

## الفصل الثاني / الجزء العملي

30	الأجهزة المستخدمة	1-2
31	المواد الكيميائية	2-2
32	الصبغات المستعملة في هذه الدراسة	3-2
32	تحضير المحاليل القياسية لصبغتي	4-2
33	تحضير محاليل الأملاح	5-2
33	تعيين الطول الموجي الأعظم ومنحني المعايرة لكل صبغة	6-2
35	السطح ألاماز	7-2
35	صخور البورسيلينات العراقية	1-7-2
36	الصخور المحورة	2-7-2
36	تحضير معقد بورسيلينات – ميلامين	1-2-7-2
37	تحضير بوليمر (بورسيلينات – ميلامين – فورمالديهايد)	2-2-7-2
37	تعيين زمن الاتزان لأنظمة الامتزاز	8-2
37	ايزوثيرمات الامتزاز	9-2
39	العوامل المؤثرة في عملية الامتزاز	10-2
39	تأثير وزن السطح ألاماز	1-10-2
39	تأثير الدالة الحامضية	2-10-2
40	تأثير الشدة الأيونية	3-10-2
40	تأثير درجة الحرارة	4-10-2

## الفصل الثالث / النتائج والمناقشة

41	إزالة صبغتي Remazol Brilliant blue و Malachite green من محاليلها المائية على سطح صخور البورسيلينات العراقية	3A
41	تشخيص صخور البورسيلينات العراقية	1-3A
41	تشخيص طيف الأشعة تحت الحمراء	1-1-3A
42	تشخيص حيود الأشعة السينية	2-1-3A
43	تشخيص مجهر المسح الإلكتروني	3-1-3A
44	دراسة العوامل المؤثرة على إزالة صبغتي Remazol Brilliant blue و Malachite green من المحاليل المائية باستخدام صخور البورسيلينات العراقية	2-3A
44	زمن الاتزان	1-2-3A
46	ايزوثيرمات الامتزاز	2-2-3A
54	تأثير وزن السطح ألاماز	3-2-3A
56	تأثير الدالة الحامضية	4-2-3A
58	تأثير الشدة الأيونية	5-2-3A
60	تأثير درجة الحرارة	6-2-3A
64	إزالة صبغتي Remazol Brilliant blue و Malachite green من محاليلها المائية على سطح صخور البورسيلينات المحور (بوليمر بورسيلينات – ميلامين – فورمالديهايد)	3B
64	تشخيص السطح	1-3B

64	تشخيص طيف الأشعة تحت الحمراء	1-1-3B
65	تشخيص حيود الأشعة السينية	2-1-3B
66	تشخيص مجهر المسح الإلكتروني	3-1-3B
66	تشخيص مجهر القوة الذرية	4-1-3B
67	دراسة العوامل المؤثرة على إزالة صبغتي Remazol Brilliant blue و Malachite green من المحاليل المائية باستخدام صخور البورسيلينات المحورة	2-3B
68	زمن الاتزان	1-2-3B
69	أيزوثيرمات الامتزاز	2-2-3B
76	تأثير وزن السطح ألاماز	3-2-3B
78	تأثير الدالة الحامضية	4-2-3B
79	تأثير الشدة الأيونية	5-2-3B
81	تأثير درجة الحرارة	6-2-3B
84	مقارنة بين سطح صخور البورسيلينات العراقية وشكلها المحور ( بوليمر بورسيلينات - ميلامين - فورمالديهايد ) في إزالة صبغتي Remazol Brilliant blue و Malachite green من محاليلها المائية .	2-3
86	الإستنتاجات	3-3
87	التوصيات	4-3
88	المصادر	
	الخلاصة باللغة الانكليزية	



## قائمة الجداول

رقم الجدول	عناوين الجداول	الصفحة
1-1	مقارنة بين الامتزاز الفيزيائي والامتزاز الكيميائي	6
2-1	انواع الايزوثيرمات	13
3-1	مقارنة بين مكونات البورسيلينات من مناطق مختلفة من العالم	18
4-1	تصنيف الصبغات	20
1-2	الأجهزة المستخدمة في هذه الدراسة	30
2-2	بعض صفات المواد الكيميائية	31
3-2	الخصائص الفيزيائية لصبغتي (Malachit green and Remazol Brilliant blue)	32
4-2	التحليل الكيميائي لصخور البورسيلينات العراقية	36
1-3A	قيم النسب المئوية لإزالة صبغتي Remazol Brilliant blue و Malachite green من المحاليل المائية باستخدام سطح صخور البورسيلينات العراقية وعند أزمان مختلفة في درجة حرارة 298 K .	45
2-3A	قيم الامتزاز لصبغتي Remazol Brilliant blue و Malachite green على سطح صخور البورسيلينات العراقية في درجات حرارة ضمن المدى (298 K - 328)	47
3-3A	البيانات الخاصة بامتزاز صبغتي Remazol Brilliant blue و Malachite green على سطح صخور البورسيلينات العراقية بدرجات حرارية مختلفة على وفق تطبيق معادلة لانكماير .	49
4-3 A	البيانات الخاصة بامتزاز صبغتي Remazol Brilliant blue و Malachite green على سطح صخور البورسيلينات العراقية بدرجات حرارية مختلفة على وفق تطبيق معادلة فريندلش .	51
5-3 A	قيم ثوابت لانكماير و فريندلش ومعاملات الارتباط لامتزاز صبغتي Remazol Brilliant blue و Malachite green على سطح صخور البورسيلينات العراقية عند درجات حرارية مختلفة .	53
6-3 A	النسب المئوية لإزالة محاليل صبغتي Remazol Brilliant blue و Malachite green من المحاليل المائية باستخدام أوزان مختلفة من سطح صخور البورسيلينات العراقية وعند درجة حرارة 298K .	55
7-3 A	تأثير الدالة الحامضية في النسبة المئوية لإزالة صبغتي ال Remazol Brilliant blue و Malachite green عند درجة حرارة 298K	57
8-3 A	تأثير الشدة الأيونية في النسبة المئوية لإزالة صبغة Remazol Brilliant blue عند PH=6.7 و صبغة Malachite green عند PH=8.5 عند درجة حرارة 298K .	59
9-3 A	قيم ثابت التوازن لإزالة صبغتي Remazol Brilliant blue و Malachite green باستخدام صخور البورسيلينات العراقية في درجات حرارية مختلفة.	61

62	الدوال الترموديناميكية $\Delta G$ ، $\Delta H$ و $\Delta S$ لإزالة الصبغتين Remazol Brilliant blue و Malachite green على سطح صخور البورسيلينات العراقية في درجات حرارة مختلفة	10-3 A
68	النسب المئوية لإزالة صبغتي Remazol Brilliant blue و Malachite green من المحاليل المائية باستخدام سطح صخور البورسيلينات العراقية المحورة وعند درجة حرارة 298 K .	1-3 B
70	قيم سعة الامتزاز للصبغتين Remazol Brilliant blue و Malachite green على سطح صخور البورسيلينات المحور PMFP في درجات حرارة مختلفة.	2-3 B
72	البيانات الخاصة بامتزاز صبغة Remazol Brilliant blue و صبغة Malachite green على سطح صخور البورسيلينات المحورة PMFP بدرجات حرارية مختلفة على وفق تطبيق معادلة لانكماير.	3-3 B
74	البيانات الخاصة بامتزاز صبغة Remazol Brilliant blue و صبغة Malachite green على سطح صخور البورسيلينات المحور PMFP بدرجات حرارية مختلفة على وفق تطبيق معادلة فريندلش.	4-3 B
76	قيم ثوابت لانكماير و فريندلش ومعامل الارتباط لامتزاز صبغة Remazol Brilliant blue و صبغة Malachite green عند درجات حرارية مختلفة .	5-3 B
77	قيم النسب المئوية لإزالة محاليل صبغتي Remazol Brilliant blue و Malachite green باستخدام أوزان مختلفة من سطح البورسيلينات المحور PMFP عند درجة حرارة 298 K .	6-3 B
78	تأثير الدالة الحامضية في النسبة المئوية لإزالة صبغتي Remazol Brilliant blue و Malachite green عند درجة حرارة 298 K .	7-3 B
80	تأثير الشدة الأيونية في النسبة المئوية لإزالة صبغتي Remazol Brilliant blue عند PH=6.7 و Malachite green عند PH=8.5 و عند درجة حرارة 298 K .	8-3 B
81	قيم ثابت التوازن لإزالة صبغتي Remazol Brilliant blue و Malachite green باستخدام صخور البورسيلينات المحورة PMFP في درجات حرارة مختلفة	9-3 B
82	الدوال الترموديناميكية $\Delta G$ ، $\Delta H$ و $\Delta S$ لإزالة صبغتي Remazol Brilliant blue و Malachite green من محاليلها المائية باستخدام سطح البورسيلينات المحور PMFP في درجات حرارة مختلفة	10-3 B
85	مقارنة بين سطح صخور البورسيلينات العراقية وشكلها المحور في إزالة صبغتي Remazol Brilliant blue و Malachite green من محاليلها المائية .	2-3

## قائمة الأشكال

الصفحة	عناوين الأشكال	رقم الشكل
3	عملية الامتزاز والامتصاص	1-1
4	الامتزاز الفيزيائي	2-1
4	الامتزاز الكيميائي	3-1
5	تحول الامتزاز من الفيزيائي إلى الكيميائي عند ارتفاع درجات الحرارة.	4-1
11	توضيح قاعدة تروبي	5-1
12	يوضح الاصناف المختلفة من الايزوثيرمات حسب تصنيف Giles	6-1
16	(a) ايزوثيرم لانكماير (b) العلاقة الخطية لايزوثيرم لانكماير	7-1
17	الصورة الخطية لايزوثيرم فرنديش للامتزاز	8-1
18	صخور البوسيلينات العراقية	9-1
21	الصيغة التركيبية لصبغة Remazol Brilliant blue	10-1
22	الصيغة التركيبية لصبغة Malachit green	11-1
33	طيف الامتصاص للأشعة فوق البنفسجية - المرئية لمحلول صبغة Remazol Brilliant blue ذو تركيز $20.00 \mu\text{g} \cdot \text{ml}^{-1}$	1-2
34	طيف الامتصاص للأشعة فوق البنفسجية - المرئية لمحلول صبغة Malachit green ذو تركيز $4.00 \mu\text{g} \cdot \text{ml}^{-1}$	2-2
34	منحني المعايرة لتقدير صبغة Remazol Brilliant blue في المحلول المائي .	3-2
35	منحني المعايرة لتقدير صبغة Malachit green في المحلول المائي .	4-2
42	طيف الأشعة تحت الحمراء FT-IR لصخور البورسيلينات العراقية	1-3 A
43	طيف X-RD لصخور البورسيلينات العراقية	2-3 A
43	صورة SEM لصخور البورسيلينات العراقية	3-3 A
45	يوضح زمن الاتزان لصبغتي Remazol Brilliant blue و Malachite green على سطح صخور البورسيلينات العراقية .	4-3 A
48	أيزوثيرمات الامتزاز لصبغة Remazol Brilliant blue عند PH=6.7 باستخدام (0.06g) من سطح صخور البورسيلينات العراقية وزمن اتزان 20 min. عند درجات حرارية مختلفة .	5-3 A
48	أيزوثيرمات الامتزاز لصبغة Malachite green عند PH=8.5 باستخدام (0.05g) من سطح صخور البورسيلينات العراقية و زمن اتزان مقداره ( 20min. ) وعند درجات حرارية مختلفة .	6-3 A
50	ايزوثيرم لانكماير لامتزاز صبغة Remazol Brilliant blue على سطح صخور البورسيلينات العراقية عند درجات حرارية مختلفة .	7-3 A
50	ايزوثيرم لانكماير لامتزاز صبغة Malachite green على سطح صخور البورسيلينات العراقية عند درجات حرارية مختلفة .	8-3 A

51	ايزوثيرم فريندلس لامتزاز صبغة Remazol Brilliant blue على سطح صخور البورسيلينات العراقية عند درجات حرارية مختلفة .	9-3 A
52	ايزوثيرم فريندلس لامتزاز صبغة Malachite green على سطح صخور البورسيلينات العراقية عند درجات حرارية مختلفة .	10-3 A
55	تأثير وزن سطح صخور البورسيلينات العراقية في النسبة المئوية لإزالة صبغتي Remazol Brilliant blue و Malachite green عند درجة حرارة 298 K .	11-3 A
57	تأثير الدالة الحامضية في النسبة المئوية لإزالة صبغتي ال Remazol Brilliant blue و Malachite green عند درجة حرارة 298K	12-3 A
59	تأثير الشدة الأيونية في النسبة المئوية لإزالة صبغة Remazol Brilliant blue عند PH=6.7 و صبغة Malachite green عند PH=8.5 عند درجة حرارة 298K .	13-3 A
61	قيم $\ln K_{eq}$ مقابل $1/T \cdot 10^3$ لامتزاز صبغتي Remazol Brilliant blue و Malachite green على سطح صخور البورسيلينات العراقية.	14-3 A
65	طيف الأشعة تحت الحمراء FT-IR للسطح ألاماز PMFP .	1-3 B
65	طيف X-RD للسطح ألاماز PMFP	2-3 B
66	صورة SEM للسطح ألاماز PMFP	3-3 B
67	صورة AFM للسطح ألاماز PMFP.	4-3 B
69	يوضح زمن الاتزان لصبغتي Remazol Brilliant blue و Malachite green على سطح البورسيلينات المحور PMFP	5-3 B
71	أيزوثيرمات الامتزاز لصبغة Remazol Brilliant blue عند PH=6.7 باستخدام (0.01g) من سطح صخور البورسيلينات المحور وزمن اتزان مقداره (10 min.) عند درجات حرارية مختلفة .	6-3 B
71	أيزوثيرمات الامتزاز لصبغة Malachite green عند PH=8.5 باستخدام (0.03g) من سطح البورسيلينات المحور وزمن اتزان مقداره (10 min.) وعند درجات حرارية مختلفة .	7-3 B
73	ايزوثيرم لانكماير لامتزاز صبغة Remazol Brilliant blue على سطح صخور البورسيلينات المحور PMFP عند درجات حرارية مختلفة .	8-3 B
73	ايزوثيرم لانكماير لامتزاز صبغة Malachite green على سطح صخور البورسيلينات المحور PMFP عند درجات حرارية مختلفة .	9-3 B
74	ايزوثيرم فريندلس لامتزاز صبغة Remazol Brilliant blue على سطح صخور البورسيلينات المحورة PMFP عند درجات حرارية مختلفة .	10-3 B
75	ايزوثيرم فريندلس لامتزاز صبغة Malachite green على سطح صخور البورسيلينات المحورة PMFP عند درجات حرارية مختلفة .	11-3 B

78	تأثير وزن سطح البورسيلينات المحور في النسبة المئوية لإزالة صبغتي Remazol Brilliant blue و Malachite green عند درجة حرارة K 298 .	12-3 B
79	تأثير تغير الدوال الحامضية على نسبة إزالة صبغتي Remazol Brilliant blue و Malachite green على سطح صخور البورسيلينات المحور PMFP وعند درجة حرارة K 298 .	13-3 B
81	تأثير الشدة الأيونية في النسبة المئوية لإزالة صبغتي Remazol Brilliant blue عند PH=6.7 و Malachite green عند PH=8.5 وعند درجة حرارة K 298 .	14-3 B
82	قيم $\ln K_{eq}$ مقابل $1/T * 10^3$ لامتماز صبغة Remazol Brilliant blue و صبغة Malachite green على سطح البورسيلينات المحور PMFP .	15-3 B

## قائمة الرموز و المختصرات

التعريف	
التغير في طاقة جيبس الحرة	$\Delta G$
التغير في الإنثالبي	$\Delta H$
التغير في الإنتروبي	$\Delta S$
صبغة Remazol Brilliant Blue	RBB
صبغة Malchat Green	MG
التركيز	C
التركيز الابتدائي للمادة الممتزة	$C_0$
تركيز المادة الممتزة في المحلول عند الإتزان	$C_e$
الدالة الحامضية	pH
جزء بالمليون جزء	ppm
السعة الوزنية للمادة الممتزة	Qe
ثابت العام للغازات	R
معامل الارتباط	$r^2$
دورة لكل دقيقة	rpm
درجة الحرارة المطلقة	T
الزمن	t
الحجم الكلي لمحلول المادة الممتزة	$V_{sol}$
النسبة المئوية للإزالة	R%
الطول الموجي الأعظم للإمتصاص	$\lambda_{max}$
بورسيلينات – ميلامين- فورمالديهايد	PMF
ثوابت ايزوثيرم لانكماير	a , b
ثوابت ايزوثيرم فريندليش	n , $k_f$
ثوابت ايزوثيرم تمكن	A , B
ثوابت ايزوثيرم ريدلج بترسون	$K_p, a , P_g$
درجة شدة اللون	C.I.No.
المواد المتبقية المحترقة	L.O.I
شحنة الايون	Z
الشدة الايونية	$\mu$

الفصل الأول

المقدمة

الفصل الثاني

الجزء العملي



# الفصل الثالث

## النساء حج والمنافسة

الفصل الرابع

الإستنتاجات

والتوصيات

المصاحف

## Preface (1-1) تمهيد

لا يخفى على أحد أهمية الماء للإنسان وللكائنات الحية ، ولا يغفل أحد عن الحيز الكبير الذي يشغله الماء من الكرة الأرضية، حيث يشكل نسبة 71% من الأرض و 70% من جسم الإنسان ، وقد أثبتت الدراسات أن الخلية الصغيرة تعتمد في بنائها على الماء، فإذا تلوث الماء هذا يعني أنه أخطر أنواع التلوث على كافة المستويات [1].

وبالرغم من أهمية الماء للحياة سواء للشرب أو للري أو توليد الطاقة و استخدامه في الصناعة... الخ إلا أن الإنسان يقوم بتلويثه وجعله غير صالح للاستخدام وذلك بإلقاء النفايات والملوثات إلى مصادره [2].

ويمكن تعريف التلوث المائي بأنه إضافة مواد ضاره من قبل الإنسان إلى البيئة المائية كافية لإحداث ضرر في صحة الإنسان والكائنات الحية [3].

تعتبر مخلفات المصانع من اكبر مصادر تلويث مياه الأنهار والبحار والمحيطات وتحتوي هذه المخلفات على الكثير من المواد الكيميائية السامة والتي يتم تصريفها إلى المسطحات المائية مثل الأنهار والبحار أو المبازل الزراعية أو مجاري الصرف الصحي [4].

وبسبب تفاقم مشكلة تلوث البيئة والاهتمام العالمي الذي تحظى به والضغوط التي تتعرض لها الصناعة من منظمات حماية البيئة أصبح من الواجب مساهمة الصناعة في حل هذه المشكلة فبدأت المشاريع الصناعية تخطط لإنشاء وحدات خاصة لمعالجة مياه الفضلات الصناعية بما يجعلها مناسبة لإعادة استعمالها مرة أخرى [5].

لقد شهدت مصادر المياه العذبة تدهوراً كبيراً في الآونة الأخيرة لعدم توجيه الاهتمام الكبير إليها، فمثلاً نجد في بعض المناطق تتسرب بعض المعادن إلى المياه العذبة منها الحديد ، المنغنيز، الرصاص، الزئبق و الخارصين إلى جانب المبيدات الحشرية المستعملة في الأراضي الزراعية التي تؤدي إلى الإصابة بأمراض معدية مختلفة [6].

تتوفر العديد من التقنيات الكيميائية و الفيزيائية لمعالجة التلوث ومن أهمها الترسيب الكيميائي و الترسيب الكيميائي الكهربائي والاستخلاص والتبادل الأيوني و الازموزية العكسية (التنافذ العكسي) والترشيح والتبخير و الامتزاز و بالرغم من أهمية هذه التقنيات إلا إنها محدودة الاستخدام بسبب كلفتها العالية [7,8].

تعد تقنية الامتزاز إحدى الطرائق المهمة في معالجة التلوث لأنها ذات كلفة قليلة بسبب توفر العديد من المصادر الطبيعية التي يمكن استخدامها كسطوح مازة، مثل : ( الأطيان و الكربون والزيولايت والكتل العضوية والمخلفات الزراعية وغيرها ) [9-11].

## (2-1) الامتزاز وانواع الامتزاز Adsorption and Types of Adsorption

يمكن تعريف الامتزاز على أنه ظاهرة تجمع المواد مثل الأيونات أو الجزيئات أو الذرات في حالتها الغازية أو السائلة على سطح مادة صلبة تدعى المادة التي تعاني الامتزاز على السطح بالمادة الممتزة ( Adsorbate or sorbate ) ، ويدعى السطح الذي يحدث عليه الامتزاز بالسطح الماز ( Adsorbent ) [12].

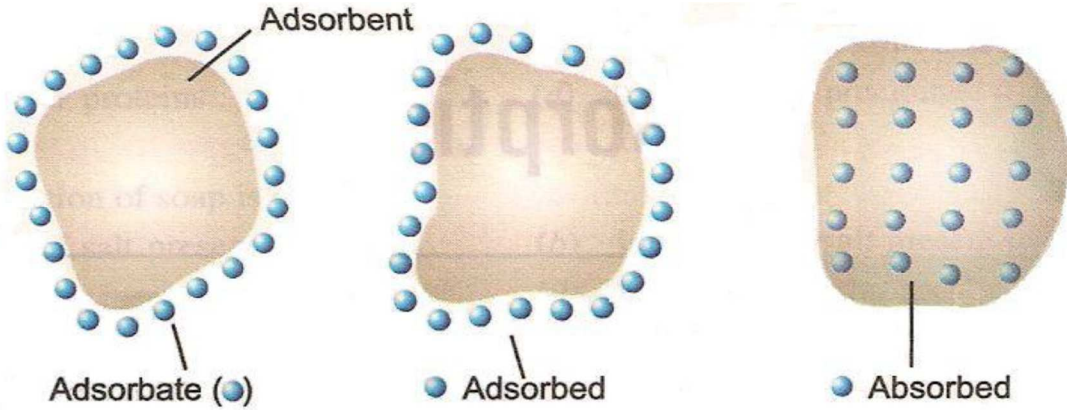
إن السبب في حدوث ظاهرة الامتزاز هو وجود بعض قوى غير مشبعة على المادة الممتزة بسبب عدم اكتمال التناسق أو العدد الغير كافي لجسيمات مادة السطح ، إذ إن الامتزاز يعمل على اشباع تلك القوى على السطح وهذا قد يسبب انخفاضاً في الطاقة (الطاقة الحرة) ( $\Delta G$ ) للسطح الذي يحدث عليه الامتزاز . وبالتالي ، فإن الامتزاز هو عملية تلقائية يرافقها إنخفاض في الانتروبي ( $\Delta S$ ) .

لأن الجزيئات التي تعاني امتزاز تصبح مقيدة بسبب ارتباطها بالسطح وبذلك يؤدي إلى إنخفاض في درجات حريتها (Degree of Freedom) وزيادة في الانتظام [13] . وكذلك فإن انخفاض كل من الطاقة الحرة والانتروبي في وقت واحد يؤدي الى انخفاض الانثاليبي ( $\Delta H$ ) تكون قيمة سالبه وعموماً ، فإن معظم عمليات الامتزاز تكون باعثة للحرارة (Exothermic) ، حساب الدوال الثرموديناميكية حسب العلاقة الآتية [13] :-

$$\Delta G = \Delta H - T\Delta S \dots\dots\dots (1-1)$$

إن العملية المعاكسة لعملية الأمتزاز هي الابتزاز (Desorption) وهي عملية انفصال الدقائق الممتزة على سطح الماز وعودتها إلى الطور الذي كانت فيه قبل عملية الامتزاز ، وتحدث هذه العملية عادة عند ارتفاع درجة الحرارة إلى حد يكفي لكسر قوه الترابط بين السطح الماز والمادة الممتزة [14] .

إما عملية تغلغل الدقائق الممتزة في السطح الماز وانتشارها فيه تدعى بعملية المص (Absorption) وكثيراً ما تحدث عمليتي الامتزاز والامتصاص معا فتدعى بعملية التشرب (Sorption) [15] . وغالباً ما تحدث هذه العملية على سطح المازات المسامية ويكون انثاليبي هذه العملية موجياً على الأكثر لحاجة عملية الانتشار داخل السطح الماز إلى الطاقة فتكون العملية ماصة للحرارة (Endothermic) [16] ، يتضح إن عملية الامتصاص تختلف عن عملية الامتزاز حيث الامتصاص يخترق إلى داخل الجسم لكن الامتزاز يتجمع على سطح الجسم ، وكما في الشكل (1-1) الذي يوضح مفهومي الامتزاز والامتصاص [17].



شكل (1-1) عملية الامتزاز والامتصاص

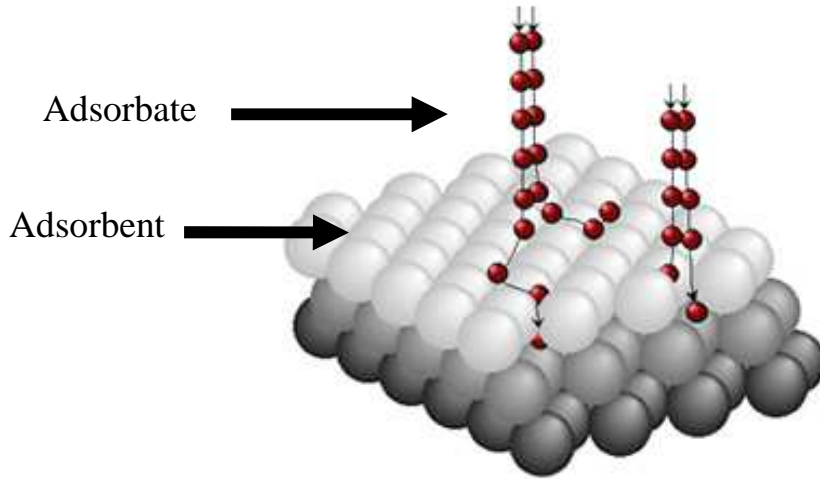
يصنف الامتزاز اعتماداً على نوع القوى الرابطة بين السطح الماز و المادة الممتزة إلى نوعين:-

1- الامتزاز الفيزيائي ( Physisorption ) Physical adsorption

2- الامتزاز الكيميائي ( Chemisorption ) Chemical adsorption

### (1-2-1) الامتزاز الفيزيائي Physical Adsorption (Physisorption)

ويطلق عليه عادة بالامتزاز الطبيعي او امتزاز فاندر فالز (Vander waal Adsorption) وهو عبارة عن قوى تجاذب طبيعية تحدث بين السطح الماز والذي يكون غير مشحون بسبب تشبع ذراتها الكترونيا ، وذلك نتيجة للاواصر التي ترتبط بها تلك الذرات مع الذرات المجاورة للمادة نفسها [18] . هذا النوع من الامتزاز لايعتمد على الطبيعة الكيميائية للمادة الممتزة مثلاً يمكن لغاز النتروجين ان يعاني امتزازاً فيزيائياً على سطح أي مادة صلبة شرط ان تكون درجة الحرارة اقل من درجة غليان النتروجين . ويمكن ان يكون بشكل احادي او متعدد الطبقات وهو غير انتقائي (non-selective) ويشبه عملية تكاثف الابخرة على سطوح السوائل كما في الشكل التالي [19,13]:

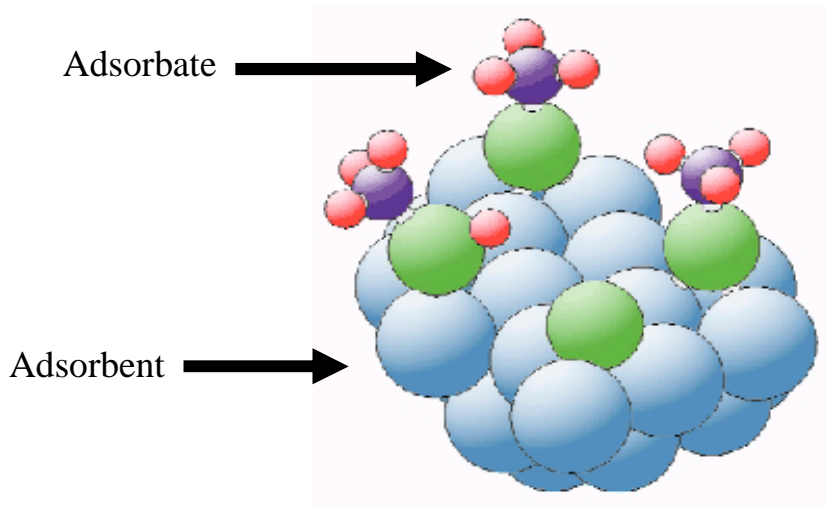


شكل (2-1) الامتزاز الفيزيائي

### (2-2-1) الامتزاز الكيميائي (Chemisorption) Chemical Adsorption

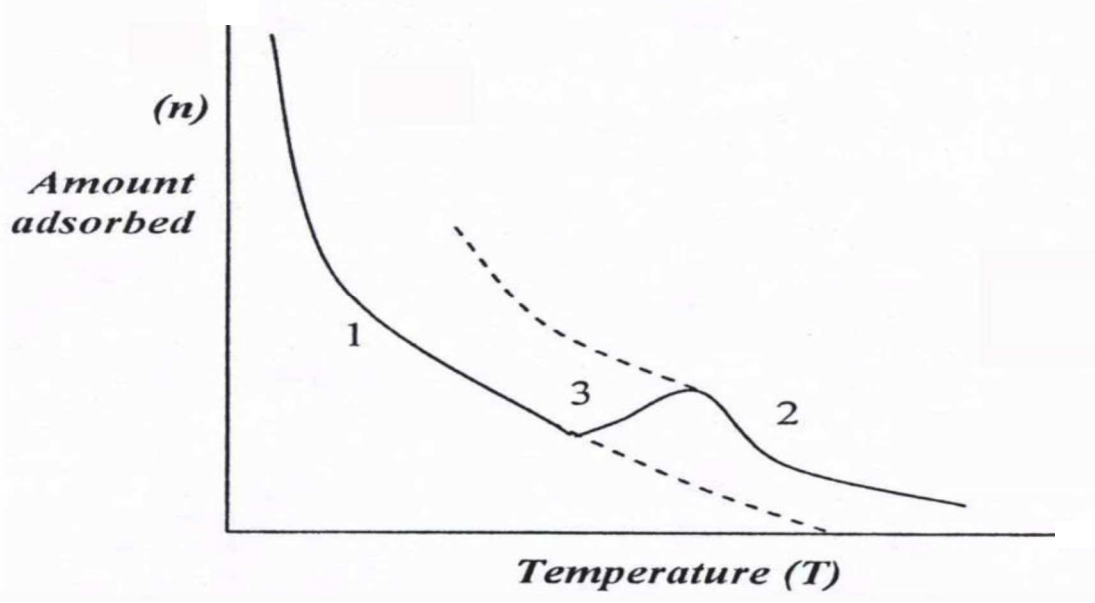
يحدث هذا النوع من الامتزاز على السطوح النشطة غير المشبعة الكترونياً، إذ تميل فيه السطوح الى تكوين اواصر كيميائية مع الذرات او الجزيئات او الايونات التي يتم امتزازها على السطح، ويمتاز الامتزاز الكيميائي بكونه أكثر خصوصية (Specific) اذ انه قد لا يحدث في ظروف معينة ولا يحدث على سطح اخر عند الظروف نفسها او انه قد لا يحدث على السطح نفسه عند تغير هذه الظروف. لذلك يعد امتزازاً إنتقائياً والشكل (3-1) يوضح الامتزاز

الكيميائي [19].



شكل (3-1) الامتزاز الكيميائي

أن لدرجة الحرارة دوراً مهماً في حدوث عملية الامتزاز ونوع الامتزاز اذ يمكن ان يحدث امتزاز فيزيائي في درجة حرارة واطئة يتبعه حدوث امتزاز كيميائي عند درجات الحرارة العالية . كما في حالة امتزاز الهيدروجين على سطح النيكل<sup>[20]</sup>، الموضح في الشكل (4-1)



الشكل (4-1) تحول الامتزاز من الفيزيائي إلى الكيميائي عند ارتفاع درجات الحرارة.

المنحني (1): نقصان الامتزاز الفيزيائي مع درجة الحرارة ، المنحني (2): الامتزاز الكيميائي المنحني (3): يوضح منطقة التحول من الامتزاز الفيزيائي إلى الكيميائي .

ويمكن اجراء مقارنة بين عمليتي الامتزاز الفيزيائي والكيميائي وكما

موضح في الجدول (1-1) [21,13].



جدول (1-1) مقارنة بين الامتزاز الفيزيائي والامتزاز الكيميائي

ت	الامتزاز الفيزيائي	الامتزاز الكيميائي
1	طبيعة الرابطة هي قوى فاندرفالز .	طبيعة القوى الرابطة هي إواصر كيميائية.
2	حرارة الامتزاز أقل من $40\text{KJ mol}^{-1}$ .	حرارة الامتزاز أقل من $80\text{KJ mol}^{-1}$ .
3	لا يحدث مثل هذا الانتقال الالكتروني او المشـاركة الالكترونية.	إنتقال الكتروني أو مشاركة بين المادة الممتزة و السطح الماز.
4	لا يحتاج إلى طاقة تنشيط .	يحتاج إلى طاقة تنشيط .
5	لا يمتلك الامتزاز الفيزيائي مثل هذه الخصوصية .	يتميز الامتزاز الكيميائي بالخصوصية (Specificity).
6	يؤدي هذا النوع من الامتزاز إلى تكوين طبقات جزيئية عديدة على السطح الماز ويطلق عليه الامتزاز متعدد الجزيئات Multi molecular Adsorption .	يؤدي هذا النوع من الامتزاز إلى تكوين طبقة جزيئية واحدة على السطح الماز ويطلق عليه حينئذ بالامتزاز احادي الجزيئة Unimolecular Adsorption .
7	يحدث الامتزاز الفيزيائي في درجات حرارة تقترب او تقل من درجة غليان المادة الممتزة .	يحدث الامتزاز الكيميائي في درجات حرارة عالية تزيد على درجة غليان المادة الممتزة.
8	تكون العملية عكسية .	تكون العملية غير عكسية قد تؤدي إلى حصول تفاعل كيميائي .
9	تعتمد درجة الحرارة على نقطة غليان المادة الممتزة وعادة ماتكون منخفضة .	تعتمد درجة الحرارة على طاقة التنشيط وعادة ماتكون عالية.

## Adsorption In Solution

## (3-1) الامتزاز في المحلول

الحالة الصلبة والحالة السائلة هي حالات المادة التي تمتلك سطوحاً محددة في الفضاء ، لذلك فإن أشكال الأنظمة التي تؤدي إلى حصول الامتزاز هي (صلب- سائل ، صلب- غاز ،سائل- سائل ، سائل- غاز و صلب- صلب ) .

أن عملية الامتزاز في النظام (صلب- سائل) تتضمن تماساً لسطحي الطورين الصلب والسائل مع بعضهما والطور السائل أما أن يكون نقياً أو يحوي مادة واحدة أو أكثر مذابة فيه [22].

## (4-1) العوامل المؤثرة في عملية الامتزاز

## Factors Influencing of Adsorption Process

## Concentration of Adsorbate

## (1-4-1) تركيز المادة الممتزة

بصورة عامة تزداد كمية المادة الممتزة من المحلول بزيادة تركيزها. وفي بعض الحالات تتوقف عملية الامتزاز عندما تتكون طبقة واحدة من المادة الممتزة على السطح إلا أنه قد يستمر في حالات أخرى ليكون عدة طبقات من المادة الممتزة على سطح المادة المازة وعندها تكون كمية المادة الممتزة أكبر من الإمتزاز أحادي الطبقة [23]. إن الشكل الذي يوضح العلاقة بين كمية المادة الممتزة وتركيز الإتران يسمى أيزوثيرم الإمتزاز (Adsorption Isotherm) ومن شكل الأيزوثيرم نستطيع التنبؤ بعلاقة كمية الإمتزاز مع تركيز المادة الممتزة في المحلول [24].

## The Adsorbent

## (2-4-1) السطح ألاماز

كمية المادة الممتزة تعتمد على ثلاث خصائص للسطح الماز التي تشمل الطبيعة الكيميائية للسطح، ومساحة السطح المحددة ، ومسامية السطح [25]. حيث تؤثر السطوح المسامية على الكمية وكذلك الانتقائية ، إن السطوح المسامية توفر مساحة سطحية أكبر للامتزاز مقارنة بالسطوح الغير مسامية وهذا يعتمد على حجم الجزيئة الممتزة ، وأشكال المسام ومقاساتها وتجانسها مما يجعل ايزوثيرمات الامتزاز أكثر إنطباقاً مع النماذج النظرية المقترحة للامتزاز على عكس السطوح الغير متجانسة [26-28].

## (3-4-1) طبيعة الممتز

## Nature of Adsorbate

لخصائص المادة الممتزة دوراً هاماً في عملية الامتزاز مثل القطبية و الشكل و وجود مجاميع فعالة و الوزن الجزيئي و الذوبانية الذي يحكم قدرة الجزيئات للامتزاز على سطح معين (امتزاز انتقائي لأحد مكونات المحلول دون الآخر) [29]. إن قطبية المواد الممتزة وتعدد الحلقات الأروماتية وشكلها و مجاميعها الفعالة تعمل على رفع سعة امتزازها على السطوح المختلفة ومن أمثلة هذه المواد اصبغات الأدوية و المبيدات و يعود السبب في ذلك إلى حالة الرنين لالكترونات ( $\pi$ ) للحلقة الأروماتية إذ لاحظ إن لمبيد الباراكوت (Baraquit) قابلية امتزاز عالية على الأطيان مقارنة بغيرها من المبيدات و قد اتضح أن الباراكوت يعطي أيونات عضوية موجبة (Organic Cation) يكون لها ميلاً عالياً للارتباط مع سطوح الأطيان ذات الشحنة السالبة [30]. إذ تميل السطوح القطبية إلى امتزاز المكونات القطبية أكثر في المحلول. فضلاً عن ذلك، تزداد كمية الامتزاز مع زيادة الوزن الجزيئي للمادة الممتزة ، وتنخفض، مع زيادة الذوبان [32,31].

## (4-4-1) الدالة الحامضية pH Value

قد يزداد مدى الامتزاز أو ينخفض أو يبقى دون تغيير نتيجة لتغيير الرقم الهيدروجيني (pH). ويمكن أن تشارك العديد من المتغيرات في هذه العملية مثل طبيعة الحالة الكيميائية للسطح الماز ، والمادة الممتزة ، والمذيب. ومن المتوقع أن تحدث المنافسة نتيجة تفاعل أيونات  $H^+$  أو  $OH^-$  مع المذاب أو السطح أو المذيب. مثل هذا التفاعل يمكن أن يغير الحالة الكيميائية، والتي قد تؤدي إلى زيادة أو نقصان سعة الامتزاز [34,33].

### (5-4-1) درجة الحرارة

### Temperature

تأثير درجة الحرارة على سعة الامتزاز يعتمد على نوع الامتزاز وطبيعة كل من الممتزات و السطح الماز [35]. عادة ما تكون عملية الامتزاز هي عملية باعثة للحرارة وبالتالي، وفقاً لمبدأ لي شاتلي (Le-Chatelier's)، فإن انخفاض درجة حرارة النظام يؤدي إلى زيادة في سعة الامتزاز [36] مثلاً، في الامتزاز الفيزيائي حيث ان الانخفاض في درجة الحرارة تزيد من سعة الامتزاز. اما في الامتزاز الكيميائي، سعة الامتزاز قد تزداد أو تنخفض مع ارتفاع درجة الحرارة اعتماداً على نوع التفاعل والترابط بين السطح والجزيئات الممتزة. من ناحية أخرى، فإن زيادة الامتزاز مع ارتفاع درجة الحرارة يعني أن العملية هي ماصة للحرارة [37].

### (6-4-1) الشدة الايونية

### Ionic Strength

تؤثر الشدة الأيونية للأملاح الألكتروليتية على عملية الامتزاز، حيث يعتمد تأثير الشدة الأيونية على طبيعة كل من السطح الماز والمادة الممتزة [38]، إذا كانت الزيادة في الشدة الأيونية للمادة المضافة تعمل على زيادة في ذوبانية المادة الممتزة فإن ذلك يؤدي إلى انخفاض في سعة الامتزاز (قاعدة تروبي)، و من المتوقع حدوثه عند وجود أيونات مماثلة لأحد أيونات المادة الممتزة والتي بسبب تأثير الأيون المشترك تقلل من ذوبانية الممتز وتزيد من امتزازه [39]. إذ إن تأثير زيادة الشدة الأيونية للمواد الممتزة غير الأيونية قد يؤدي إلى حدوث عملية التملح (Salting out) سوف يؤدي إلى تقليل من ذوبانية الممتز و زيادة في عملية امتزازه [40].

اما عند تكوين معقدًا تناسقيًا بين المادة الممتزة وبين عدد من الأيونات المضافة في المحلول فإنه يؤثر في عملية الامتزاز ويعتمد على ذوبانية وشحنة المعقد المتكون [41]. وبذلك لن يكون هناك أي تأثير للشدة الأيونية على الأسطح غير القطبية في حين قد يكون هناك احتمال تأثير على السطوح القطبية نتيجة التنافس الحاصل بين الأيونات الممتزة و الأيونات المضافة على المواقع الفعالة الموجودة على الأسطح المازة مما يقلل من الامتزاز، و في حالة السطوح المازة المشحونة بشحنة مشابهة لشحنة المادة الممتزة فإن زيادة الشدة الأيونية سوف يؤدي إلى تغطية السطح الماز بطبقة من الأيونات المخالفة بالشحنة لشحنة المادة الممتزة مما يزيد من سعة عملية الامتزاز و العكس صحيح [42]. و باستخدام المعادلة الآتية يمكن حساب القوة الأيونية [43]

$$\mu = 1/2 \sum C Z^2 \dots\dots\dots (1-2)$$

حيث ان :  $\mu$  :- تمثل الشدة الأيونية ،  $C$  :- التركيز ،  $Z$  :- شحنة الأيون.

### المذيب و قاعدة تروبي (7-4-1) Solvent and Traube's Rule

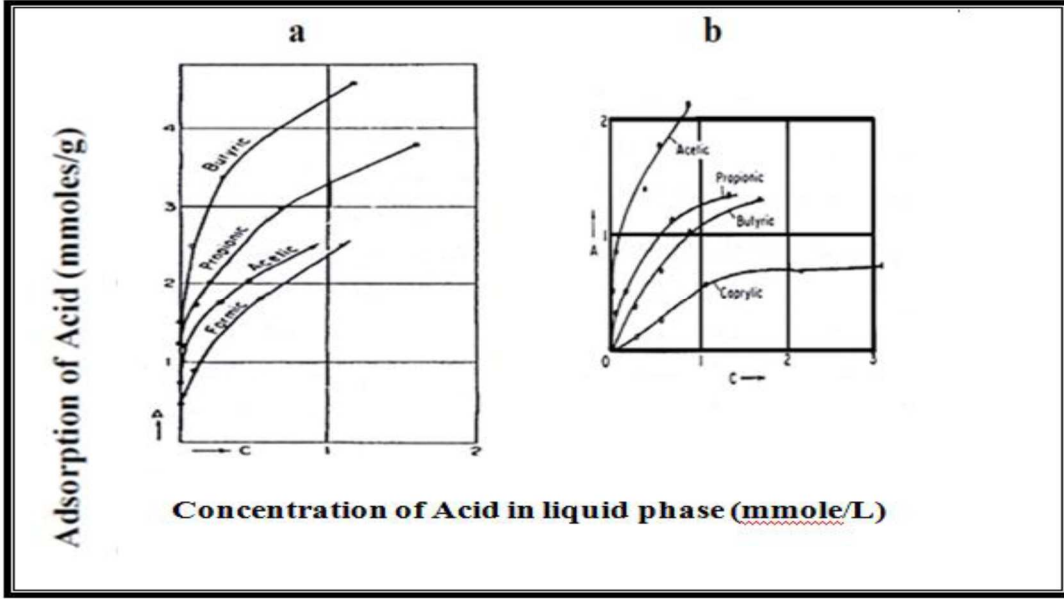
تتنافس جزيئات المذيب مع الجزيئات المذابة في عملية الامتزاز لاحتلال مواقع الامتزاز الموزعة على الممترات. وتعتمد هذه المنافسة على التفاعل بين كل من المذاب والمذيب والسطح الماز ، وكذلك على المذيب مع المذاب في الطبقة الممتزة على السطح [44]. ولذلك، فإن نتيجة هذه التفاعلات تكون أكبر كلما كانت الفصائل المتفاعلة متشابهة بالقطبية، وكلما كان الممتز (المذاب) قليل الذوبان في المذيب ازدادت قوة أمتزازه على السطح الماز. و عموماً فإن الذوبانية الواطئة للممتز (المذاب) في المذيب تؤدي إلى سعة امتزاز أكبر، ومن أهم الدراسات الأولية التي أشارت إلى تأثير نوعية المذيب فضلاً عن تأثير السطح الماز هي دراسة تروبي والقاعدة التي سميت بأسمه ( Traube's Rule ) وتنص على أنه " تزداد كمية الامتزاز للمواد العضوية من محاليلها المائية زيادة منتظمة بزيادة طول السلسلة الهيدروكاربونية " [25]

و يوضح الشكل (a5-1) علاقة كمية الامتزاز لسلسلة من الحوامض الكربوكسيلية والتي تعتبر تطبيقاً عملياً لقاعدة تروبي (Traube's Rule) امتزاز سلسلة من الحوامض الكربوكسيلية من محاليلها المائية على سطح فحم حيواني (كاربون)، و وجد ان سعة امتزازها تزداد على النحو الآتي :

Butyric >Propionic >Acetic >Formic acid

بينما يوضح الشكل (b5-1) امتزاز سلسلة من الحوامض الكربوكسيلية على سطح هلام السليكا من التلوين، فيظهر العكس من ذلك باستخدام مذيب لا قطبي و سطح قطبي فوجد ان سعة الامتزاز للحوامض الكربوكسيلية تترتب على النحو الآتي [25] :

Acetic >Propionic> Butyric>Caprylic

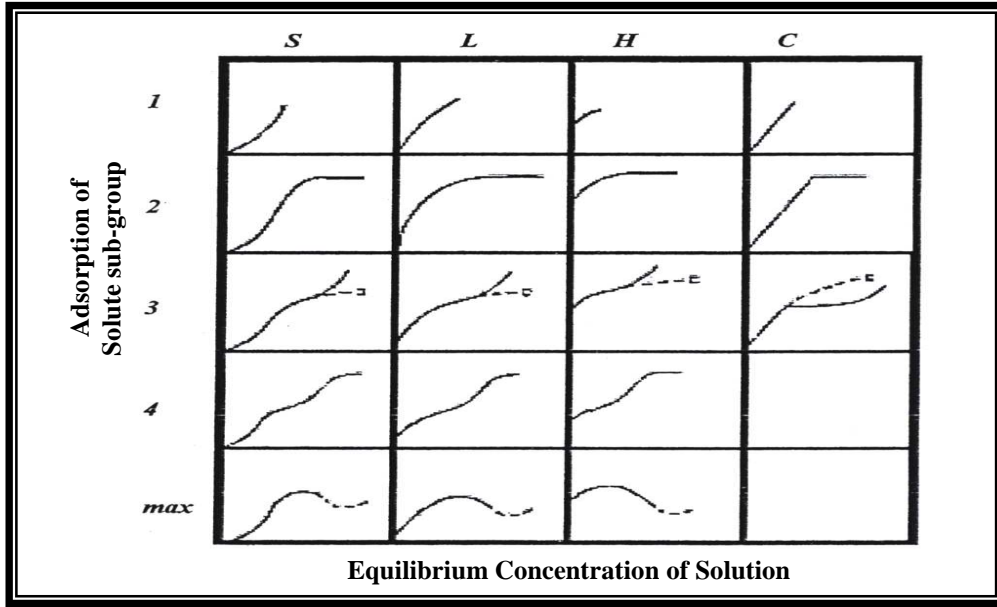


الشكل (5-1) قاعدة تروبي

- (a) امتزاز احماض كابوكسيلية من محاليل مائية على سطح الفحم الحيواني .  
 (b) امتزاز احماض كابوكسيلية من التلوين على سطح هلام السليكا .

### (5-1) ايزوثيرمات الامتزاز Adsorption Isotherms

يمكن تعريف ايزوثيرم (بأنه العلاقة بين كمية المادة الممتزة (Qe) على غرام واحد من المادة المازة و بين تركيز المادة الممتزة عند حالة الاتزان (Ce) ، كما يعرف انه العلاقة بين كمية المادة الممتزة على سطح ما وتركيز الاتزان للمادة الممتزة عند درجة حرارة ثابتة [45] .  
 وقد قام (Giles) [46] وجماعته على وضع تصنيف للايزوثيرمات يعتمد على هيئة المقاطع الابتدائية للايزوثيرمات للمساعدة في فهم عمليات الامتزاز واعطى هذا التصنيفات رموزا هي (S, L, H, C) و توجد ضمن الأصناف الرئيسية أصناف ثانوية يشار إليها بـ (1,2,3,4,and max) و كما موضح في الشكل (6-1).



الشكل (6-1): الاصناف المختلفة من الايزوثيرمات حسب تصنيف Giles .

(1) **الصنف S** :- يكون فيه الايزوثيرم متخذاً شكل S- shape الذي يكون توجه الجزيئات الممتزة على السطح الماز مائلاً او عمودياً بالإضافة الى ان المذيب قد يعاني امتزازاً شديداً على السطح .

(2) **الصنف L** :- هو خاص بنوع ايزوثيرمات لانكماير (Langmuir) ويكون توجه الجزيئات على الطبقة السطحية للمادة المازة افقياً كما ان الامتزاز يكون احادي الطبقة .

(3) **الصنف H** :- يخص الامتزاز ذو الانجذاب العالي (High Adsorption Affinity) ويمكن ملاحظه هذا الايزوثيرم في المحاليل المخففة جداً وكذلك عند امتزاز جزيئات كبيرة جداً مثل البوليمرات .

(4) **الصنف C** :- يشير الى وجود معامل التوزيع (Partition constant) بين المادة الممتزة من جهة والمحلول مع السطح الماز من جهة اخرى . كما يدل على احتمالية عالية لحدوث الامتزاز الكيميائي .

**Theories of Adsorption (6-1) نظريات الامتزاز**

لوصف عملية الامتزاز وشكل الايزوثيرم الناتج اقترحت فرضيات واشكال عدة كما موضحة في الجدول (2-1).

جدول (2-1) انواع الايزوثيرمات

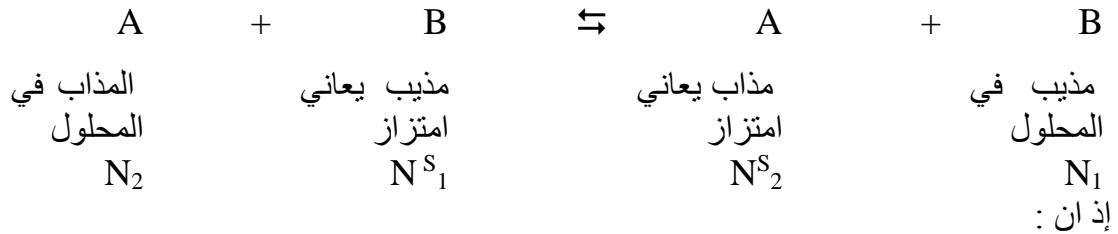
Isotherm	Application	Equation
Langmuir <sup>[47]</sup>	Physical and chemical Adsorption	$Q_e = \frac{a b C_e}{1 + b C_e}$
Freundlich <sup>[48]</sup>	Physical and chemical Adsorption	$\log Q_e = \log K_f + \frac{1}{n} \log C_e$
Temkin <sup>[49]</sup>	Chemical adsorption	$Q_e = B \ln A (A C_e)$
Redlich-Peterson <sup>[50]</sup>	Physical and chemical Adsorption	$Q_e = \frac{Kp}{1 + apg}$
Toth <sup>[51]</sup>	Multimolecular Physical Adsorption	$Q_e = \frac{m_i P}{(b_i + P^{1/n})^{1/n}}$

يعد ايزوثيرم لانكماير وفريندلش أكثر أنواع الايزوثيرمات استعمالاً لذلك سنتحدث بشيء من التفصيل عن هذه الايزوثيرمات.



(1-6-1) معادلة لانكماير للإمتزاز (Langmuir adsorption equations)

شهدت هذه المعادلة انتشارا واسعا بعد أن طورت من قبل (Irving langmuir) عام (1918) لوصف امتزاز جزيئات الغاز على سطح صلب مستوي. و قد افترض لانكماير حدوث الامتزاز لطبقة جزيئية واحدة على سطح المادة المازة حيث يستبعد حدوث تفاعلات بين الدقائق الممتزة في التغطية الواطنة للسطح. و هكذا تزداد كمية المادة الممتزة سريعا بداية الامتزاز ثم تبدأ بالثبات تدريجيا بسبب عملية الابطزاز (Desorption) [52].  
 إذ يمكن التوصل إلى معادلة لانكماير التي تعبر عن عملية الامتزاز من المحاليل بالمعادلة الآتية [47]:



N<sub>2</sub> و N<sub>1</sub> : التراكيز بدلالة الكسر المولي للمذيب و المذاب على التوالي .  
 N<sup>S</sup><sub>2</sub> و N<sup>S</sup><sub>1</sub> : التراكيز (الفعالية) في طبقة الامتزاز بدلالة الكسر المولي للمذيب و المذاب على التوالي .

الحرف S : الامتزاز على السطح .

يمكن التعبير عن ثابت الاتزان ( K ) بالمعادلة الآتية :

$$K = \frac{N_1 N_2^S}{N_2 N_1^S} = \frac{a_1 N_2^S}{a_2 N_1^S} \Rightarrow \frac{K}{a_1} = \frac{N_2^S}{a_2 N_1^S} \dots\dots\dots(1- 3)$$

a<sub>2</sub> و a<sub>1</sub> : فعالية المذيب و المذاب على التوالي.

و بما ان الامتزاز يحدث عادةً في المحاليل المخففة لذلك من الملائم التعبير عن التركيز عند

الاتزان بـ (Ce) بدلاً من (a<sub>2</sub>) و اعتبار فعالية المذيب (a<sub>1</sub>) ثابتة. فإذا عُدَّ b=K / a<sub>1</sub>

و N<sup>S</sup><sub>1</sub> + N<sup>S</sup><sub>2</sub> = 1 و بإدخال هذه العلاقات على المعادلة رقم (1- 3) تصبح :

$$N_2^S = \frac{b Ce}{1 + b Ce} \dots\dots\dots(1- 4)$$

و لما كان

$$N_2^s = \frac{n_2^s}{n_1^s} = \theta \quad \dots\dots\dots(1- 5)$$

إذ ان  $n^s$  يمثل عدد مولات مواقع الامتزاز للغرام الواحد وإن ( $\theta$ ) هي جزء السطح المشغول بواسطة الجزيئات الممتزة فإن المعادلة (1- 5) تصبح :

$$\theta = \frac{b C_e}{1+b C_e} \quad \dots\dots\dots(1- 6)$$

يمثل مصطلح سعة الامتزاز (Adsorption Capacity) الذي يرمز له ( $Q_e$ ) النسبة بين كمية المادة الممتزة بوحدة (mg) الى وزن المادة المازة بوحدة (g) وهو يتناسب مع جزء السطح المشغول أي ان :

$$Q_e = \frac{X}{m} a \theta \quad \longrightarrow \quad \frac{X}{m} = a \theta \quad \text{إذ ان:}$$

X: كمية المادة الممتزة بوحدة (mg)

m: وزن المادة المازة بوحدة (g)

a: ثابت التناسب

و بتعويض هذه العلاقة في المعادلة (1- 6) تصبح

$$Q_e = \frac{X}{m} = \frac{a b C_e}{1+b C_e} \quad \dots\dots\dots( 1- 7)$$

المعادلة (1- 7) تمثل معادلة لانكماير للامتزاز من المحلول [25].  
إذ ان :

$Q_e$  : السعة الوزنية للامتزاز بوحدة (mg/g).

$C_e$  : تركيز المذاب (الممتز ) عند الاتزان بوحدة (mg/L).

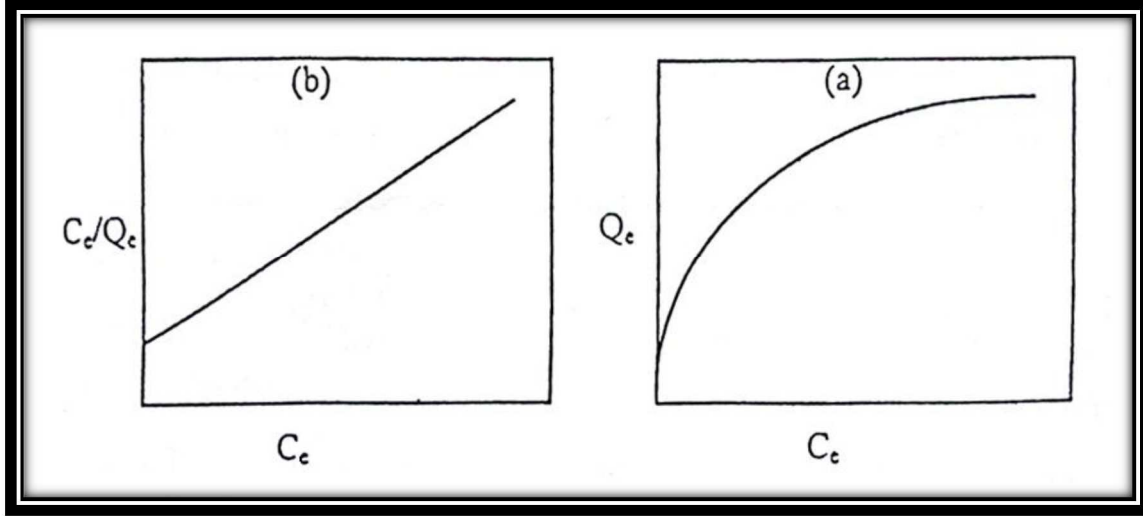
a : سعة الامتزاز العظمى عندما يتشبع سطح الامتزاز كلياً بوحدة (mg/g) .

b : ثابت لانكماير يرتبط بطاقة الامتزاز أو ثابت الاتزان بوحدة (mg/L) كما مشار في المعادلة (1-7).

ويمكن كتابة المعادلة (1- 7) بالصورة الخطية لتصبح على النحو الآتي :

$$\frac{C_e}{x/m} = \frac{C_e}{Q_e} = \frac{1}{ab} + \frac{C_e}{a} \quad \dots\dots\dots(1- 8)$$

وعند رسم  $C_e/Q_e$  مقابل  $C_e$  فإن الميل يساوي  $1/a$  و تقاطعه يساوي القيمة  $1/ab$ ، كما في الشكل (7-1) [47].



شكل (7-1) (a) ايزوثيرم لانكماير (b) العلاقة الخطية لايزوثيرم لانكماير

### (2-6-1): معادلة فرندلش للإمتزاز Freundlich adsorption Equation

وضع العالم الألماني (Freundlich) عام ( 1926 م) معادلة تعد من أهم المعادلات المستعملة بنجاح في حالة الإمتزاز من المحلول فقد تكون السطوح معظمها غير متجانسة (Heterogeneous) أي إن تغيرات الطاقة الكامنة غير منتظمة بسبب وقوع مواقع الإمتزاز عند مستويات متباينة من الطاقة [48] وهذا يؤدي إلى تغير في ايزوثيرم الإمتزاز ، وبذلك وضعت معادلة فرندلش لتمثيل التغير في مقدار المادة الممتزة ( $Q_e$ ) في وحدة المساحة أو كتلة المادة المازة مع تركيز الاتزان ( $C_e$ )، والصيغة الرياضية لمعادلة فرندلش تكون كالآتي:

$$Q_e = K_f C_e^{\frac{1}{n}} \dots\dots\dots (1-9)$$

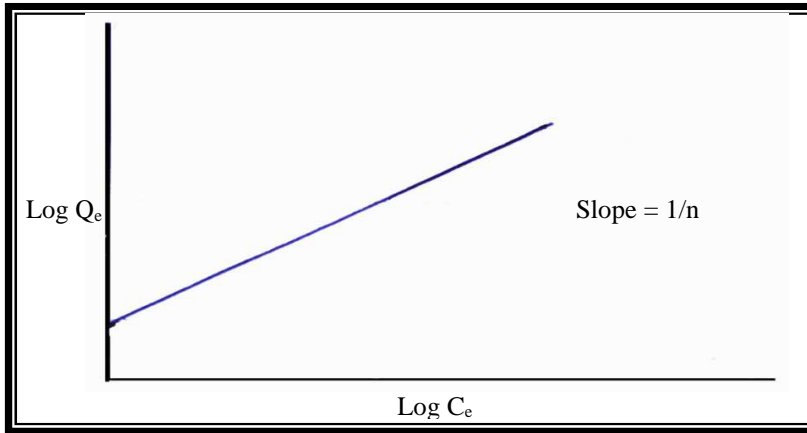
وبأخذ لو غارتم المعادلة (1-9) نحصل على

$$\log Q_e = \log K_f + \frac{1}{n} \log C_e \dots\dots\dots (1-10)$$

حيث ( $n$  ,  $k_f$ ) ثوابت فرندلش التجريبية ( $n$  مقياس لشدة الإمتزاز، بينما  $k_f$  مقياس لكمية الإمتزاز) التي يمكن الحصول عليها من رسم العلاقة بين ( $\log Q_e$ ) مقابل ( $\log C_e$ ) حيث

نحصل على خط مستقيم ميله ( $\frac{1}{n}$ ) وتقاطعه ( $\log k_f$ ) ، وقيم هذه الثوابت تعتمد على

طبيعة كل من المادة الممتزة و السطح الماز ودرجة الحرارة .



الشكل (8-1) أيزوثيرم فرنشلز للإمتزاز

### (7-1) السطح الماز Adsorbent surface

#### (1-7-1) صخور البورسيلينات العراقية Iraqi Porcelanite Rocks

البورسيلينات هي عبارة عن صخور سيليكاتية دقيقة الحبيبات ذات نسيج ومقطع عرضي يشبه الخزف غير المتزجج. حيث تتألف صخور البورسيلينات من معدني الكريستوبولايت والتريدمائيت تعتبر نوع من أنواع السيليكا ( $SiO_2$ ) تستخدم معادن التريدمائيت والكريستوبولايت لصناعة المرشحات بسبب تركيبها البلوري ونفاذيتها العالية حيث تتميز بتركيب بلوري مفتوح يحتوي على قنوات بلورية تسمح باستيعاب ايونات كبيرة الحجم [53]

هذه الصخور موجودة في العراق في أماكن مختلفة . ولقد بينت الدراسات السابقة [54] أن صخور البورسيلينات العراقية تحتوي على نسبة من السليكا تصل الى أكثر من 70 % ، وتوجد في مساحات واسعة في غربي العراق في مناطق عكاشات و الرطبة ، تنافس الصخور العراقية الأنواع الأخرى من الجزائرية والألمانية والتركية و الامريكية و الروسية على الرغم من احتوائها على نسبة عالية من الكربونيت . وتمتاز الصخور العراقية أيضا " باحتوائها على نسب أقل من أكاسيد الحديد مقارنة مع الأمريكية والجزائرية .

جدول (3-1) مقارنة بين مكونات البورسيلينات من مناطق مختلفة من العالم<sup>[55]</sup>

Constituent %	IRAQ	R.S.S.	U.S.A	ALGERIA
SiO <sub>2</sub>	74.03	79.92	89.70	58.4
Al <sub>2</sub> O <sub>3</sub>	3.65	6.58	3.72	1.66
TiO <sub>2</sub>	0.17	0.48	0.10	0.10
P <sub>2</sub> O <sub>5</sub>	1.16	0.01	0.10	0.20
CaO	5.62	1.43	0.30	13.80
Na <sub>2</sub> O	0.06	0.65	0.31	0.96
K <sub>2</sub> O	0.17	0.71	0.41	0.51
Fe <sub>2</sub> O <sub>3</sub>	0.97	3.56	1.09	0.79
Others	10.42	4.91	3.70	17.48



الشكل (9-1) صخور البورسيلينات العراقية<sup>[55]</sup>.

بالنظر لأهمية البورسيلينات بوصفها أكثر المواد أستمعلا" في المرشحات الصناعية بسبب امتلاكها خصائص فيزيائية ، وكيميائية منها تركيبها المعدني الذي يغلب عليه معدن الكريستوبلايت ، والمسامية البلورية والصخرية العالية ، وخفة الوزن ، إذ تعطيها قابلية عالية على الامتصاص ، وعزل الشوائب الدقيقة عن السوائل. أجريت دراسة [56] لمعرفة مدى صلاحية هذه الصخور لأستخدامها كمرشحات صناعية منها تنقية الكبريت وتصفية السوائل الغذائية (الخل، والعصائر) وقد شملت الدراسة فحص التركيب الكيميائي ، والمعدني ، والكثافة ، والقابلية على الامتصاص والترشيح ، وجرت مقارنتها مع المواد المستوردة المسماة تجاريا" سيليت ( Celite ) ثم أستخدمت للاغراض المذكورة أعلاه . إذ اعطت نتائج ناجحة و مطابقة للمواصفات المعتمدة واثبتت كفاءة عالية . وتمت دراسة [57] عن تأثير نوعية السيليكا في الصفات الفيزيائية ، والميكانيكية للجسام السيراميكية ، وذلك لاهميتها الكبيرة في الصناعات والاستخدامات السيراميكية . وتم اختيار هذه الصخور كإحدى أنواع السيليكا المستخدمة في صناعة السيراميك ، وقد أعطت العينات المستخدمة نتائج معدنية ، ونتائج فيزيائية وميكانيكية جيدة جدا" في درجات الحرق الواطئة نسبيا" (1100C°) من دون الحاجة الى حرقها في درجات أقل مثل سائر عينات الأنواع الأخرى ، إذ يؤدي ذلك الى فائدة اقتصادية عالية في تقليل كلفة عملية الحرق باستخدام درجات حرارة عالية . كذلك استخدمت هذه الصخور في صنع القواشط و الصواقل والملمعات الخاصة بالتنظيف ؛ لامتلاكها المواصفات الفيزيائية والكيميائية التي تجعلها صالحة لهذه الاغراض [58] فضلاً عن وجودها بكميات كبيرة في منطقة الصحراء الغربية لذا تم دراسة البورسيلينات تقنياً ؛ لمعرفة مدى صلاحيتها كمواد صاقلة وملمعة ، وبكلفة أقل بكثير من مثيلاتها المستوردة التي تكلف مبالغ طائلة .

### (8-1) التلوث بالصبغات The Pollution by Dyes

ان وجود الصبغات في البيئة المائية يدعو الى القلق الشديد لان معظم هذه الصبغات ضارة في حياة الانسان والحياة المائية [59] . هنالك انواع متعددة من الصبغات واسعة الاستعمال في صناعات متعددة مثلا الاقمشة والجلود والادوية... الخ [ 60,59] . أن استهلاك كميات كبيرة من الصبغات في الصناعات النسيجية انتجت كمية كبيرة من النفايات في البيئة [61]. وقد تم تطوير عدد من التكنولوجيات على مر السنين لإزالة الملوثات المختلفة الموجودة في المياه [59] . وعموما ، فإن التخلص من الصبغات في موارد المياه توفرت بطرق معالجة مختلفة .

الصبغات هي عبارة عن مواد ملونة تستطيع أن ترتبط بطريقة ما بالمواد المراد صبغها وتكسبها ألواناً زاهية بحيث لا تتأثر بالغسل والضوء والأكسجين والحوامض والقواعد . وتمتاز هذه الصبغات باعطائها امتصاصات شديدة في المنطقة المرئية بسبب توفر الانظمة الاقترانية وعدم تمركز الكترونات  $\pi$  في تركيبها [62,52]. وعموما تستعمل الصبغات لتلوين الأقمشة ولصبغ أنواع من الخلايا والأنسجة لكي تصبح أكثر وضوحا ، وكذلك تعد ملوثات مائية ويمكن التخلص منها بطرائق متعددة ومنها طريقة الإمتزاز . وتصنف الصبغات الى عدة انواع من الصبغات بالاعتماد على التركيب الكيميائي للصبغة كما موضح في الجدول (4-1) :-

الجدول (4-1) تصنيف الصبغات [63]

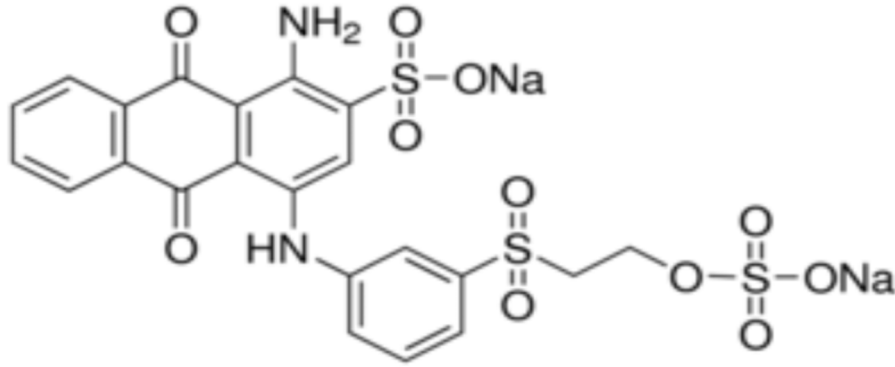
نوع الصبغة	مثال	التطبيقات
الصبغات الحامضية	Methyl orange, Methyl red, and Congo red	الصفوف، الحرير، الياف البولي يورثين، النايلون .
الصبغات القاعدية	Aniline yellow, Butter yellow, and Malachite green	البولي استرات الصيدلانية، القطن، الورق .
الصبغات المباشرة	Martius yellow and Congo red	القطن، الصفوف، الحرير، النايلون
الصبغات الفعالة	Procion dye (2,4,6-tri chloro 1,3,5-triazine)	القطن، الصفوف، الحرير .
الصبغات الدهنية	Indigo ,Benzanthro and Tyrian purple	الصفوف، عامل تلوين في الغذاء

ان وجود مجموعات وظيفية معينة في المركب تؤدي إلى جعله ملونا وقد أطلق عليها بالمجموعات الكروموفورية (Chromophores) وتعني المجموعات الحاملة للون ( Colour bearing groups ) وتشمل على مجموعات -C=C-, -C=S-, -C=O-, -N=O-, NO<sub>2</sub>-, -N=N-، وهناك مجموعات تعمل على زيادة شدة اللون الذي تحمله المجموعة الكروموفورية وسميت هذه بالمجموعات المساعدة أو الأوكسوكرومات (Auxochromes) وتعني معظمات اللون وهي مجموعات دافعة للإلكترونات فضلا عن أهميتها في زيادة شدة اللون

فأنها تمنح الجزئية صفة الحامضية أو القاعدية وبذلك تزيد قدرتها على الارتباط بالسطوح المازة [38].

### (1-8-1) صبغة Remazol brilliant blue

هي صبغة أنثراكينون تستخدم في الصناعات النسيجية ، الصيغة التركيبية للصبغة الموضحة في الشكل (10-1) [64]. وتعتبر صبغة ضارة ويمكن أن تضر الحياة المائية وأيضا الحياة النباتية إذا تم استخدام المياه الملوثة للري [65]. وقد شهدت السنوات الأخيرة نهجا بيولوجيا لحل هذه المشكلة.



الشكل (10-1) الصيغة التركيبية لصبغة Remazol Brilliant blue

تعتبر صبغة Remazol brilliant blue من الصبغات الحامضية التي تتميز باحتوائها على مجموعة حامضية أو أكثر ومعظمها مجموعة السلفونيل الحامضية (-SO<sub>3</sub>H) أو مجموعة الكربوكسيل الحامضية (-COOH) هذه الصبغات تذوب بالماء أو الكحولات أو في كليهما وجزئية الصبغة قد تكون من نوع الأزو، والانثراكوينون ، وثلاثي أريل ميثان ، والازين ، والزانتين ، والنترو، و النتروزو ،وتتضمن صبغات لها الوان مشرقة ولها مدى واسع من خصائص الثبات وتستعمل لصبغة الأنسجة المحتوية على مجموعات قاعدية كالصوف، والحرير، والبولي أميدات، والصبغة تتم في وسط حامضي بسبب منح البروتون للمجموعة القاعدية في النسيج ويمكن توضيح عملية الصباغة كالاتي [62]:

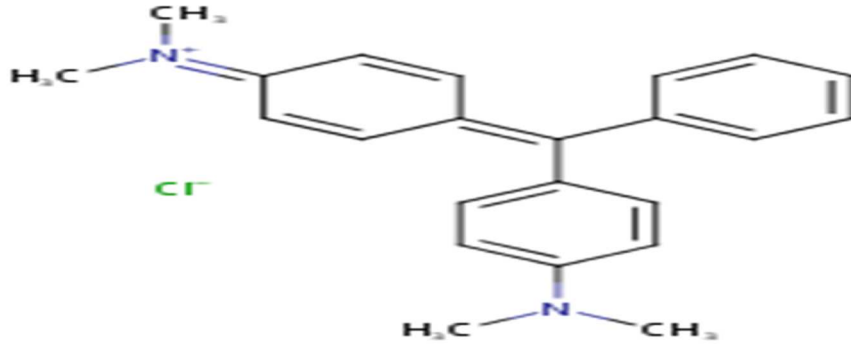


يلاحظ هنا أنّ هذه العملية عكسية ، وعموماً يمكن إزالة الصبغات الحامضية من الأنسجة بواسطة الغسيل .



## Malachit green صبغة (2-8-1)

هي عبارة عن ثلاثي فينيل ميثان الأساسية قابلة للذوبان في الماء، الصيغة التركيبية للصبغة الموضحة في الشكل (11-1) التي تستخدم لتلوين المواد مثل الحرير والصوف والجلود والقطن والورق وغيرها من الصناعات. في الاستزراع المائي، تعمل كعامل مضاد للفطريات، و مضاد للبكتيريا و مضاد للطفيليات. وقد صنفت على أنه لها مخاطر صحية من الفئة الثانية، ولكنها لا تزال تستخدم في بعض البلدان بسبب انخفاض كلفتها. من الصعب حلها وإزالتها من الماء. وأفادت بعض الدراسات أنها تسبب التسرطن، الطفرات، والكسور الكروموسومية، وسمية الجهاز التنفسي<sup>[66]</sup>.



الشكل ( 11-1 ) الصيغة التركيبية لصبغة Malachit green

تعتبر صبغة Malachit green من الصبغات القاعدية التي تتميز باحتوائها على كروموفورات (حاملات الألوان) تكون جزء من الأيون الموجب (عادة ملح أميني أو مجموعة أمين متأينة) و هي تستعمل لصبغة ألياف الأكريليك و الصوف و الحرير، على الرغم من أن لديها ثبات معتدل مع تلك المواد<sup>[67]</sup>. هذه الصبغات تذوب بالماء أو الكحولات أو في كليهما<sup>[62]</sup>.

## (9-1): المسح في الأدبيات

## The Literature Survey

أصبح الإمتزاز اليوم علماً واسع التطبيق ، إذ فتح أفقاً جديدة في مختلف العلوم ومجالات الحياة وهو في تقدم مستمر، إذ استعملت طريقة الإمتزاز كإحدى الحلول الناجحة في معالجة مشكلات تلوث المياه الناتجة من مخلفات المياه الصناعية ولاسيما مخلفات مصانع الصباغة، والنسيج.

قام كل من G. B. Marg و G.B. Bhavnagar بدراسة كفاءة استخدام بولي المنيوم كلورايد مادة غير عضوية لامتزاز صبغة Remazol Brilliant blue من المياه الملوثة بالصبغة ، وتم تشخيص السطح الماز بواسطة X-RD. وتم تحديد تركيز الصبغة بواسطة الأشعة فوق البنفسجية / المرئية. و أظهرت النتائج كفاءة ممتازة باستخدام بولي المنيوم كلوريد لامتزاز صبغة Remazol Brilliant blue.[68]

كما قام Ü.Gecgel و H .Kolancilar بدراسة امتزاز صبغة Remazol Brilliant blue على سطح الكربون المنشط المحضر من الصنوبر ،امكانية استخدامه كمادة مازة لإزالة صبغة Remazol Brilliant blue من المحلول المائي. تمت دراسة العوامل المؤثرة على الامتزاز تضمنت تركيز الصبغة الاولي ، زمن الاتزان ،درجة الحرارة ،كمية السطح الماز ، الدالة الحامضية ،حيث أظهرت النتائج زيادة نسبة امتزاز صبغة Remazol Brilliant blue من المحلول المائي مع زيادة كل من ( تركيز الصبغة الاولية ، زمن الاتزان ، درجة الحرارة ،كمية السطح الماز)[69].

تمكن M.R. Mafra و L. I. Mafra من دراسة امتزاز صبغة Remazol Brilliant blue بواسطة استخدام قشور البرتقال كسطح ماز، وقد تميزت قشور البرتقال المازة الجديدة التي تم تطويرها واستخدامها لإزالة Remazol Brilliant blue من المحلول المائي . تمت دراسة الدوال الترموديناميكية الحرارية و قد بينت النتائج ان امتزاز صبغة Remazol Brilliant blue على سطح قشور البرتقال الى تلقائية التفاعل ،كان زمن الاتزان لهذه الدراسة 15 ساعة، أظهرت النتائج أن زيادة درجة الحرارة يؤدي إلى الانخفاض في سعة الامتزاز. كما اظهرت بيانات الامتزاز انطباقها على كلاً من معادلة لانكماير وفريندلش [70].

قام الباحث Bayrak وجماعته باستخدام الكربون المنشط المحضر من قشور البرتقال لإزالة صبغة Remazol Brilliant blue من المحلول المائي تم تحديد الظروف

الفضلى لعملية الامتزاز تأثير الدالة الحامضية، كمية السطح الماز، تركيز الصبغة الاولي، درجة الحرارة، وتم حساب الدوال الثرموديناميكية الحرارية للامتزاز [71].

استطاع A. F. Alkaim وجماعته من دراسة ازالة صبغة Remazol Brilliant blue من المحاليل المائية باستخدام الكربون المنشط، تم امتزاز صبغة Remazol Brilliant blue على سطح الكربون المنشط المحضر من قشور جوز الهند. تم دراسة قابلية الامتزاز من خلال دراسة تاثير وزن المادة المازة، تركيز المادة الممتزة، درجة الحرارة، وكذلك الدالة الحامضية. ان نتائج الامتزاز تم تطبيقها على كل من معادلة لانكماير Langmuir و معادلة Freundlich و معادلة تمكن Tempkin، ووجد ان نتائج الامتزاز تنطبق بصورة جيدة مع معادلة فرنديش Freundlich. بالإضافة الى ذلك تمت دراسة التغيرات الثرموديناميكية في الطاقة الحرة ( $\Delta G$ ) و الانثالي ( $\Delta H$ ) والانتروبي ( $\Delta S$ ) ومن خلال قيم الانثالي وجد بان التفاعل هو ماص للحرارة [72].

استطاع كل من M.A. Ahmad و O. S. Bello دراسة ازالة صبغة Remazol Brilliant blue على سطح الكربون المنشط المحضرة من الذرة. اجريت تجارب عدة لمعرفة التركيز الابتدائي للصبغة، زمن الاتزان، الحد الاقصى لسعة الامتزاز هي 333.3 mg/g. و أظهرت نتائج ايزوثرمات الاتزان انطباقها على نموذج فريندلس [73].

استخدم M. A. Ahmad وجماعته الكربون المنشط لازالة صبغة Remazol Brilliant blue كسطح ماز الذي يمتاز باحتوائه على مسامات كبيرة، أعلى نسبة ازالة للصبغة Remazol Brilliant blue تصل الى 87.6% باستخدام تركيز 50mg/L و 40% عند تركيز ابتدائي للصبغة 500mg/L. وأشارت النتائج الى كفاءة استخدام هذا السطح لازالة صبغة Remazol Brilliant blue من المحاليل المائية [74].

قام الباحث A. S. Mahmoud، وجماعته بدراسة ازالة صبغة Remazol Brilliant blue من محاليلها المائية باستخدام عمليات الأوكسدة المتقدمة  $H_2O_2$  نظام الأشعة فوق البنفسجية لإزالة الصبغة. تمت دراسة الظروف الفضلى لإزالة الصبغة في مفاعلين (لفائف وتقليدية) (coil and conventional). وأظهرت النتائج أن مفاعل الملف كان أعلى درجة حرارة من المفاعل التقليدي. عندما تم اضافة الصبغة في المفاعلات عند 25 درجة مئوية، فإن الإشعاع

(الأشعة فوق البنفسجية) وحده لم يكن كافياً لازالة الصبغة نظرا لتفاوت كفاءة إزالة الصبغة في المفاعل التقليدي من 0.0 إلى 12.3% ، في حين أن المفاعل الفائف متنوعة من 0.0 إلى 7.3%، اعتمادا على زمن البقاء. زيادة تركيز  $H_2O_2$  يؤدي الى زيادة كفاءة إزالة الصبغة من كلا المفاعلين الأشعة فوق البنفسجية. اظهرت النتائج ان قيمة النسبة مئوية للازالة تصل الى 93% عند زمن البقاء 56min. و ازالة الصبغة 100% التي تحققت في 65 min. باستخدام  $H_2O_2$  تركيز  $12.50 \text{ ml. L}^{-1}$  [75].

تمكن الباحث A. Markadeh و جماعته من تحسين عملية امتزاز صبغة Remazol Brilliant blue من المحاليل المائية باستخدام انابيب الكربون متعددة الجدران (MWCNTS). يهدف هذا العمل الى تحديد الظروف الفضلى من اجل الوصول إلى أقصى ازالة لصبغة Remazol Brilliant blue و أقصى سعة امتزاز في عملية الامتزاز من محلول مائي باستخدام انابيب الكربون متعددة الجدران. تم تحسين ثلاثة عوامل بما في ذلك التركيز الابتدائي للصبغة ، الدالة الحامضية ، كمية الانابيب المستخدمة . وكانت اعلى نسبة ازالة لصبغة Remazol Brilliant blue هي 96% ، وتم استخدام المعادلات الثلاثة لانكماير وفريندلش و تمكين لوصف ايزوثيرمات الامتزاز . أظهرت بيانات الاتزان انها تتفق بشكل جيد مع نموذج ايزوثيرم لانكماير بالاعتماد على قيم معامل الارتباطية [76].

استطاع الباحث R. Alrozi و جماعته دراسة امتزاز صبغة Remazol Brilliant blue من محلول مائي باستخدام السطح الماز المحور (كلينوبتيلوليتس الخام) (Clinoptilolite) (R - Cl) مع  $Zn(NO_3)_2$  بوجود الايثانول لتحضير كلينوبتيلوليت الزنك Zn - Cl . اجريت تجارب الامتزاز في ظروف مختلفة التراكيز المستخدمة ضمن المدى (25-250)mg/L ، زمن الامتزاز (2-0h) ، درجة الحرارة (300 K - 353) لتحديد الظروف الفضلى لاعلى نسبة ازالة لصبغة Remazol Brilliant blue . أشارت النتائج الى ان الدالة الحامضية عامل رئيسي في عملية امتزاز صبغة Remazol Brilliant blue ، كان اقصى امتزاز للصبغة على سطح (Zn - Cl) عند الدالة الحامضية ~ 6 وكانت سعة الامتزاز المقابلة 42.2 mg/g . بينما انخفضت سعة الامتزاز لصبغة Remazol Brilliant blue على سطح Zn - Cl عند الدالة الحامضية 8, 12 مقارنة مع السطح Cl-R التي أظهرت زيادة في سعة الامتزاز ضمن نفس

درجة الحموضة. أثبتت النتائج ان سطح كلينوبتيلوليت (Zn - Cl) هو سطح جيد لازالة صبغة Remazol Brilliant blue من المحلول المائي [77].

قام الباحث P.S.Syed بتنشيط النفايات الصلبة الزراعية بواسطة حامض الكبريتيك (نسبة 1:1) من أجل ازالة صبغة Malachit green من المحاليل المائية. وقد أجريت التجارب الحركية و ايزوثيرمات الامتزاز لتحديد امتزاز صبغة Malachit green من المحاليل المائي باستخدام الكربون المنشط. العوامل التي تؤثر على معدل الامتزاز تشارك في ازالة الصبغة (تركيز الصبغة الابتدائي، وقت الاتزان، كمية السطح الماز (الكربون المنشط)، حجم الجسيمات و الدالة الحامضية تمت دراستها في درجات حرارية مختلفة تتراوح ما بين (300 – 330) K. تم تحليل البيانات التجريبية ووجد انها تتفق مع ايزوثيرمات امتزاز لانكماير و فرويندلش. تم تشخيص هيكلية ومورفولوجية السطح (الكربون المنشط) باستخدام XRD و SEM على التوالي [78].

استطاع كل من M. N. Idrisa و جماعته في هذه الدراسة استخدام الكاربون المنشط المحضر من الياف البذور المطاطية كسطح ماز لامتزاز صبغة Malachit green من محاليلها المائية. اجريت سلسلة من التجارب تم تقييم متغيرات تجريبية عدة تضمنت الصبغة التركيز الابتدائي للصبغة، زمن الاتزان، درجة حرارة و الدالة الحامضية. أظهرت النتائج أن امتزاز صبغة Malachit green كان عند الرقم الهيدروجيني 6، اما دراسة تأثير كل من التركيز الابتدائي للصبغة، زمن الاتزان، درجة الحرارة لوحظ زيادة في سعة الامتزاز مع زيادة كل منها. تم تحليل البيانات التجريبية حسب انموذج المعادلات مثل ايزوثيرمات لانكماير، فريندلش و تمكين، اظهرت بيانات الاتزان انها تتفق بشكل جيد مع ايزوثيرم لانكماير [79].

قام كل من Y.C.Uma و Y.C. Sharma باستخدام نشارة الخشب كسطح ماز لإزالة صبغة Malachit green من المحاليل المائية. تمت دراسة العوامل المؤثرة على عملية الإزالة مثل التركيز الابتدائي للصبغة، زمن الاتزان، الدالة الحامضية، كمية السطح الماز، ودرجة الحرارة. النتائج التجريبية تشير إلى أن 5 g من نشارة الخشب كان قادرا على إزالة 93% من الصبغة من تركيز الأبتدائي 20mg/L عند زمن اتزان 100 min. اظهرت النتائج انخفاض نسبة الإزالة مع زيادة درجة الحرارة. تم استخدام انموذجي لانكماير و فريندلش لوصف

الايزوثيرمات التجريبية اظهرت بيانات الاتزان انها تتفق بشكل جيد مع انموذج ايزوثيرم فريندلش [80] .

استطاع L. Zhang تنشيط وتحميض الطين الأحمر المحور باعتباره سطح ماز لإزالة صبغة Malachit green من المحاليل المائية . تمت دراسة سلوكيات امتزاز الصبغة في التجارب من حيث زمن التماس ، و pH ، وتركيز الصبغة الابتدائي ودرجة الحرارة. وكان pH للمحلول المثالي هو 3.2 لامتزاز (Malachit green) . بيانات الامتزاز تستخدم ايزوثيرم لانكماير، وتم حساب ساعات الامتزاز القصى 336.4 mg/g عند 298 k . تم تحليل الدوال الترموديناميكية ، والتي تشير إلى أن عملية امتزاز Malachit green كانت ماصة للحرارة ، وتتبع المعادلة الثانية الكاذبة [81].

قام الباحث D. Wang و جماعته بتحضير وتشخيص المركب النانوي  $\beta$ -سايلودوكسترين الجرافين ( $Fe_3O_4/\beta$ -CD/GO) والذي استخدم كسطح ماز لامتزاز صبغة Malachit green من محاليلها المائية وقد تم دراسة زمن الامتزاز ودرجة حرارة الامتزاز و pH . وأشارت النتائج التي حصلوا عليها الى أن للمركب المحضر سعة امتزاز عالية جدا تبلغ 990 mg/g في درجة حرارة 308K و pH 7. ومعدل الازالة وصل الى 98% بعد ثلاث مرات من الامتزاز وان الإمتزاز يتبع معادلة لانكماير . وكانت العملية تلقائية وماصة للحرارة [82].

قام كل من F. Hemmati وجماعته بدراسة امكانية استخدام عوالم الطحالب (SPM) التي تعتبر مادة بيولوجية منخفضة التكلفة عوملت باستخدام حامض الهيدروكلوريك لإزالة (Malachit green) من المحلول المائي لأول مرة. في تجارب الامتزاز بطريقة الوجبة الواحدة، وتمت دراسة آثار زمن التماس، جرعة المواد الممتزة، و pH، تركيز الصبغة الابتدائي ودرجة الحرارة على سعة امتزاز SPM . وأشارت النتائج إلى أن الامتزاز يحصل في pH 6.5. وقد تم تشخيص المادة الممتزة على السطح بواسطة SEM، BET، و FT-IR. تم تحليل بيانات التوازن بدقة على معادلة لانكماير، فروندليتش و تمكن. وأظهرت نتائج بيانات ايزوثيرم الامتزاز تتبع معادلة لانكماير. وقد حسبت سعة الامتزاز الأقصى وبلغت 121.90 mg/g عند 293 K. وكان أفضل وصف لحركية الامتزاز من الدرجة الثانية الكاذبة. الى جانب ذلك،

حسبت ايضا الدوال الترموديناميكية ، مثل  $\Delta G$  ،  $\Delta H$  ، وأشارت القيمة السالبة لكل من  $\Delta H$  و  $\Delta G$  الى أن عملية الامتزاز هي تلقائية وباعثة للحرارة، على التوالي [83].

اجرى E.Bulut وجماعته دراسة لامتزاز صبغة Malachit green على سطح البنتونيت واجريت الدراسة تحت تاثير ظروف متباينة من تركيز والذالة الحامضية .و دراسة ايضا تاثير كل من زمن التماس،والذالة الحامضية الابتدائي وتركيز الصبغة الابتدائية .ولاحظ الباحثون أن ازالة صبغة Malachit green تزداد مع زيادة زمن التماس حتى الوصول الى حالة التوازن عند التركيز الابتدائي للصبغة . كما تم في هذه الدراسة حساب الدوال الترموديناميكية ، مثل  $\Delta S$ ، و  $\Delta G$ ، و  $\Delta H$  [84].

وقد درس B. Ali Fil امتزاز صبغة malachite green على طين المونتموريلونيت. ودرس في هذه العملية الذالة الحامضية pH وكمية الامتزاز، وسرعة التفاعل ،والشدة الأيونية ، وتركيز Malachit green الابتدائي ، ودرجة الحرارة . ووجد أن Montmorelite clay لدية سعة امتزاز عالية ويتبع معادلة لانكماير . ووجدت أن سعة الامتزاز أحادي الطبقة (الحد الأقصى) ليكون Montmorelite clay 262،494 mg/g . وتم تحليل البيانات الحركية التجريبية باستخدام الدرجة الأولى ،الدرجة الثانية ، Elovich ، والنماذج الحركية intraparticle [85].

قام الباحث S. A. Zulkepli وجماعته بدراسة ازالة صبغة Malachit green بواسطة استخدام انابيب الكربون النانوية متعددة الجدران . تم تحديد الظروف الفضلى لامتزاز صبغة Malachit green بواسطة أنابيب الكربون النانوية ، وهي ( تركيز الصبغة الابتدائي ، وزن السطح الماز ، الذالة الحامضية ودراسة الاتزان . تم تحقيق أقصى امتزاز لصبغة Malachit green عند الظروف الفضلى : تركيز الصبغة الأولي ( $20 \mu\text{g} \cdot \text{ml}^{-1}$ ) ، ووزن السطح الماز ( 0.03g )، الذالة الحامضية (7) و زمن الاتزان (17 min.) . وكانت القيمة التجريبية للامتزاز بواسطة الأنابيب النانوية الكربونية متعددة الجدران ( $r^2 = 0.922$ ) . وكانت أفضل نتائج التوازن التجريبي هي إيزوثيرم نموذج (لانكماير) . الحد الأقصى لامتزاز صبغة Malachit green بواسطة أنابيب الكربون النانوية كانت سعة امتزاز الصبغة 112.36 mg/g [86].

وقد قام C. Pradeep Sekhar وجماعته بوضع طرائق منهجية بسيطة واقتصادية وخضراء لامتزاز Malachit green باستخدام مسحوق السليلوز كسطح ماز . وقد أجريت العملية بطريقة الوجبة الواحدة للتحقيق من قدرة امتزاز البوليمر لإزالة Malachit green من الوسط المائي. امتزاز الصبغة على السليلوز يحدث بشكل فوري ومراقبة الامتزاز بواسطة طيف الأشعة تحت الحمراء ( FT-IR ) تم ضبط المعاملات التحليلية المختلفة مثل تأثير زمن التماس ، والدالة الحامضية ، ودرجة الحرارة ، الخ. وكان الامتزاز المثالي في الدالة الحامضية (7.2) وكلا من نماذج الايزوثيرم لانكماير وفرونديش أظهر تناسبا في البيانات التجريبية. حركية الامتزاز بينت بان الامتزاز يحدث وفقا لنموذج المرتبة الثانية الكاذبة للنظام. وقد وجد أن الامتزاز exothermic ومصحوبا بنقصان في الانتروبي<sup>[87]</sup> .

### (10-1) الهدف من الدراسة Aim of Study

يهدف العمل في هذه الرسالة إلى إمكانية استخدام صخور البورسيلينات العراقية و شكلها المحور (بوليمر بورسيلينات- ميلامين - فورمالديهايد ) في إزالة صبغتي Remazol Brilliant blue و Malachate green في محاليلها المائية و دراسة الظروف الفضلى لعملية الإزالة و المتمثلة بـ ( زمن الاتزان Contact time ، كمية السطح ألاماز Weight of adsorbant ، الدالة الحامضية PH ، درجة الحرارة Temperature و الشدة الأيونية Ionic strength). و ثم حساب الدوال الثرموديناميكية لعملية الإزالة ( انثالبي عملية الإزالة  $\Delta H$  ، انتروبي عملية الإزالة  $\Delta S$  و الطاقة الحرة لعملية الإزالة  $\Delta G$  ) ، وكذلك دراسة ايزوثيرمات الامتزاز و مدى انطباقها مع معادلتى لانكماير و فريندلش .



Experimental Part

2. الجزء العملي

Instruments Used (1-2) الأجهزة المستخدمة

تضمنت هذه الدراسة استخدام الأجهزة الموضحة في الجدول (1-2)

جدول (1-2) الأجهزة المستخدمة في هذه الدراسة .

مكان الجهاز	الشركة	اسم الجهاز	ت
جامعة كربلاء/كلية التربية للعلوم الصرفة	Shimadzu, Japan	مطياف الاشعة فوق البنفسجية – المرئية ثنائي الحزمة UV – Visible Spectrophotometer Double Beam -1650	1
جامعة بغداد/ كلية العلوم	Shimadzu, Japan	مجهر القوى الذرية AFM Atomic force microscopy –spam AA3000,USA2008	2
جامعة بغداد/ كلية التربية ابن الهيثم	Shimadzu, Japan	مطياف الاشعة تحت الحمراء FT-IR Fourier Transform Infrared Spectrophotometer– 8900s	3
جامعة بغداد/ كلية التربية ابن الهيثم	Shimadzu, Japan	جهاز حيود الاشعة السينية X-Ray X-Ray Diffraction Spectroscopy – Lab XRD -6000	4
جامعة بغداد/ كلية العلوم	Shimadzu, Japan	مجهر المسح الالكتروني SEM Scanning electron microscopy	5
جامعة كربلاء/كلية التربية للعلوم الصرفة	Germany	ميزان الكتروني حساس ذو اربع مراتب عشرية Electronic Balance BL 210S	6
جامعة كربلاء/كلية التربية للعلوم الصرفة	Labtech, Korea	فرن تجفيف كهربائي Oven Memort LOD – 080+N	7
جامعة كربلاء/كلية التربية للعلوم الصرفة	Universal Germany	جهاز الطرد المركزي Centerifuge – Hettich	8
جامعة كربلاء/كلية التربية للعلوم الصرفة	Korea	حمام مائي Water Bat	9
جامعة كربلاء/كلية التربية للعلوم الصرفة	Germany	حمام مائي هزاز Thermo stated shaker GFL(D-3006	11
جامعة كربلاء/كلية التربية للعلوم الصرفة	Chine	طاحونة كهربائية Blender	12
جامعة كربلاء/كلية التربية للعلوم الصرفة	Chine	منخل ذو قطر 75 µm Sieves	13

Chemicals (2-2) المواد الكيميائية

استعملت في هذه الدراسة المواد الكيميائية الموضحة في الجدول (2-2) الذي يبين نقاوتها و الشركة المصنعة لها و الصيغة الجزيئية لكل مادة .  
الجدول (2-2) بعض صفات المواد الكيميائية .

ت	المادة	الصيغة الجزيئية	الشركة	النقاوه
1	صخور البورسيلينات العراقية Porcelanite rock Iraqi		دائرة المسح الجيولوجي	90%
2	صبغة Remazol Brilinat blue	$C_{22}H_{16}N_2Na_2O_{11}S_3$	B.D.H	90%
3	صبغة Malachit green	$C_{23}H_{25}ClN_2$	B.D.H	90%
4	هيدروكسيد الصوديوم	NaOH	B.D.H	98%
5	حامض الهيدروكلوريك	HCl	B.D.H	37%
6	فورمالديهايد	CH <sub>2</sub> O	B.D.H	37%
7	ميلامين	C <sub>3</sub> H <sub>6</sub> N <sub>6</sub>	B.D.H	98%
8	كلوريد البوتاسيوم	KCl	B.D.H	99%
9	كلوريد الصوديوم	NaCl	B.D.H	99%
10	كلوريد المغنيسيوم	MgCl <sub>2</sub>	B.D.H	98%
11	كلوريد الكالسيوم	CaCl <sub>2</sub>	B.D.H	99%

**(3-2) الصبغات المستعملة في هذه الدراسة: Dyes Used in this Study:**

استعملت في هذه الدراسة صبغتي ال (Remazol Brilliant blue و Malchat green) ،  
الجدول (3-2) يوضح بعض الخصائص الفيزيائية لصبغتي ال (Remazol Brilliant blue و  
(Malchat green

**جدول (3-2) الخصائص الفيزيائية لصبغتي****( Malachit green and Remazol Brilliant blue)**

الخصائص	Remazol Brilliant blue	Malachit green
الصيغة الجزيئية	$C_{22}H_{16}N_2Na_2O_{11}S_3$	$C_{23}H_{25}ClN_2$
الصف	صبغة حامضية	صبغة قاعدية
الذوبان في الماء	قابلة للذوبان	قابلة للذوبان
الوزن الجزيئي (g/mol)	626.54	364.92
محتوى الصبغة	90%	90%
$\lambda_{max}$ (nm)	605	617.5
C.I.No.	61200	42000

**(4-2) تحضير المحاليل القياسية لصبغتي (Remazol Brilliant blue و****( Malachit green**

Preparation of Standard Solutions For(Remazol Brilliant blue and Malachit green).

حضر محلول صبغة Remazol Brilliant blue بتركيز  $(100.0000 \mu\text{g} \cdot \text{ml}^{-1})$  بإذابة  
(0.0200 g) من الصبغة في (200 ml) من الماء المقطر ومن هذا المحلول تم تحضير المحاليل  
المخففة للصبغة بتركيزات تتراوح ما بين  $(1.0000 - 80.0000) \mu\text{g} \cdot \text{ml}^{-1}$  وذلك بعملية التخفيف  
بلماء المقطر وباستخدام قناني حجمية قياسية.

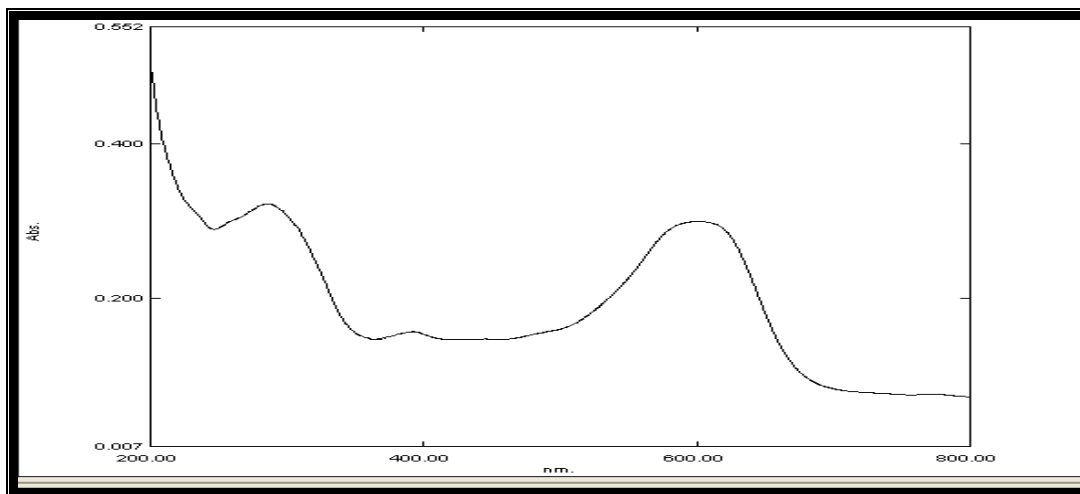
و بنفس الطريقة تم تحضير محلول صبغة Malachit green بتركيز  $(100.0000 \mu\text{g} \cdot \text{ml}^{-1})$   
بإذابة (0.0100 g) من الصبغة في (100 ml) من الماء المقطر ومن هذا المحلول تم تحضير  
المحاليل المخففة للصبغة بتركيزات تتراوح ما بين  $(0.5000 - 10.0000) \mu\text{g} \cdot \text{ml}^{-1}$  وذلك بعملية  
التخفيف بالماء المقطر باستعمال قناني حجمية قياسية .

**(5-2) تحضير محاليل الاملاح Preparation of Salt Solution**

حضرت محاليل الاملاح لقياس و دراسة تأثير الشدة الأيونية وبتركيز ( 0.5000 M ) لكل ملح من خلال إذابة ( 1.3873, 1.1901, 0.9319, 0.7305 g ) من املاح كلوريد الصوديوم NaCl و كلوريد البوتاسيوم KCl و كلوريد المغنسيوم  $MgCl_2$  و كلوريد الكالسيوم  $CaCl_2$  على التوالي في ( 25 ml ) من الماء المقطر ومن هذه المحاليل تم تحضير التراكيز ( 0.0700 – 0.0200 M ) وذلك بأخذ حجم معين من المحلول الأصلي وتخفيفه بالماء المقطر للحجم المحدد.

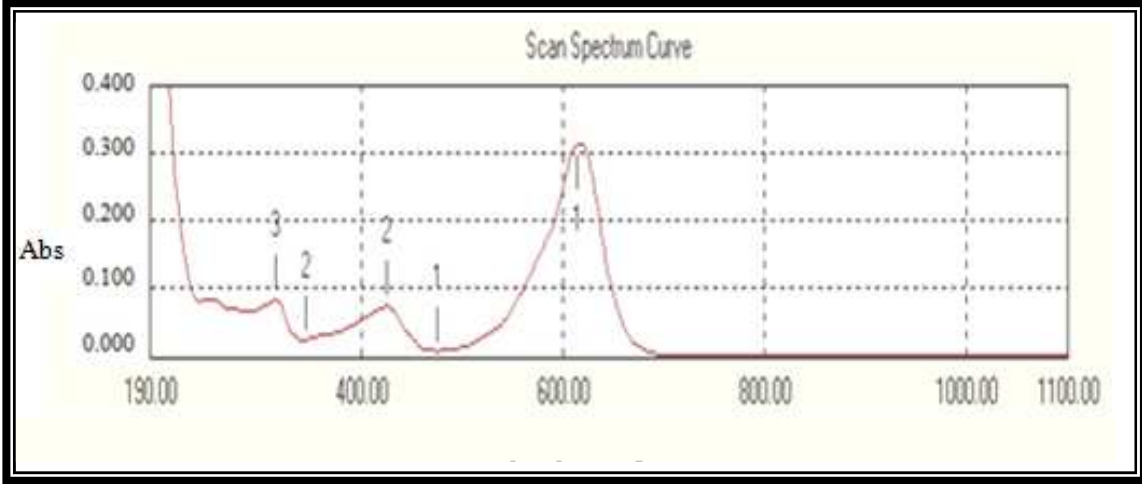
**(6-2) تعيين الطول الموجي الأعظم ومنحني المعايرة لكل صبغة :-****Determination of  $\lambda_{max}$  and Calibration curves for each dye**

لتعيين الطول الموجي الاعظم الذي يحصل عنده اعلى امتصاص ( $\lambda_{max}$ ) للمحاليل المائية لصبغتي Remazol Brilliant blue و Malachit green عن طريق تسجيل طيف الامتصاص بأستعمال مطياف الأشعة (فوق البنفسجية – المرئية) وضمن المدى (200-800)nm وبأستعمال خلايا من الزجاج سمك (1cm) لوحظ ان قيمة ( $\lambda_{max}$ ) لصبغة Remazol Brilliant blue هي 605nm كما موضحة في الشكل (1-2). أما قيمة ( $\lambda_{max}$ ) لصبغة Malachit green هي 617.5nm كما موضحة في الشكل (2-2).



شكل (1-2): طيف الامتصاص للأشعة فوق البنفسجية – المرئية

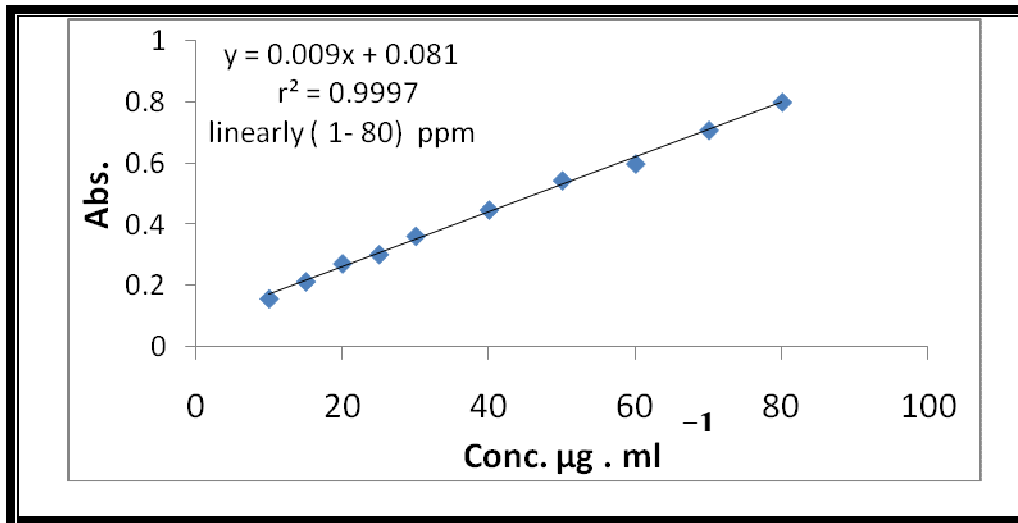
لمحلول صبغة Remazol Brilliant blue ذو تركيز  $20.0000 \mu\text{g} \cdot \text{ml}^{-1}$



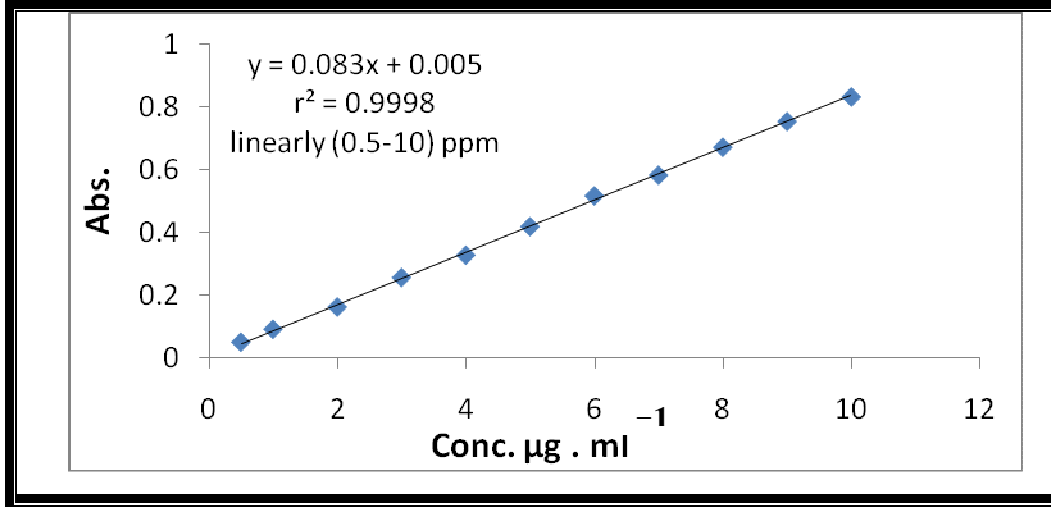
شكل (2-2): طيف الامتصاص للاشعة فوق البنفسجية – المرئية

لمحلول صبغة Malachit green ذو تركيز  $4.0000 \mu\text{g} \cdot \text{ml}^{-1}$ 

تم تعيين منحنى المعايرة الذي يمثل العلاقة بين الأمتصاصية والتركيز إذ تم تحضير تراكيز مختلفة لصبغة Remazol Brilliant blue و لصبغة Malachit green وتم قياس الأمتصاصية لهذه التراكيز عند الطولين الموجيين 605 nm و 617.5 nm لصبغتي Remazol Brilliant blue و Malachit green على التوالي، و عند تطبيق قانون لامبرت – بير لرسم منحنى المعايرة القياسي بين قيم الأمتصاصية (Absorbance) مقابل قيم التركيز (Concentration)، حيث يمثل الشكل (3-2) منحنى المعايرة لتقدير صبغة Remazol Brilliant blue، أما الشكل (4-2) فهو يمثل منحنى المعايرة لتقدير صبغة Malachit green وبدرجة حرارة 298 K .



الشكل (3-2) منحنى المعايرة لتقدير صبغة Remazol Brilliant blue في المحلول المائي



الشكل (4-2) منحنى المعايرة لتقدير صبغة Malachit green في المحلول المائي .

#### Adsorbent Surface

#### (7-2) السطح ألاماز

#### (1-7-2) صخور البورسيلينات العراقية

#### Iraqi Porcelanite rocks

تم الحصول على نماذج البورسيلينات العراقية الطبيعية من وزارة الصناعة والمعادن/الشركة العامة للمسح الجيولوجي والتعدين ، غسلت هذه النماذج بالماء المقطر لإزالة الشوائب والتخلص من المواد القابلة للذوبان في الماء من الأملاح وغيرها ، جففت العينات لمدة ثلاث ساعات في فرن حرارته (110 C°) ، طحن المسحوق المجفف لغرض الحصول على دقائق ناعمة بواسطة طاحونة كهربائية إلى دقائق ناعمة ونخل المسحوق المطحون باستخدام منخل مختبري ذو حجم (75.0000 µm) وحفظت بأوعية محكمة الغطاء لغرض الاستفادة منها في البحث. كما يظهر في الجدول(4-2) التحليل الكيميائي لصخور البورسيلينات العراقية .

جدول (2-4) التحليل الكيميائي لصخور البورسيلينات العراقية [88].

No.	Chemical Composition	X-Ray Analyzer%
1	SiO <sub>2</sub>	74.03
2	CaO	5.62
3	MgO	3.65
4	Al <sub>2</sub> O <sub>3</sub>	3.65
5	P <sub>2</sub> O <sub>5</sub>	1.16
6	Fe <sub>2</sub> O <sub>3</sub>	0.97
7	TiO <sub>2</sub>	0.17
8	K <sub>2</sub> O	0.17
9	Na <sub>2</sub> O	0.06
10	Cr <sub>2</sub> O <sub>3</sub>	0.02
11	SO <sub>3</sub>	0.009
12	MnO	0.004
13	L.O.I	11.20
	Sum	100.76

### Modification of the Rock

### (2-7-2) الصخور المحورة

#### (1-2-7-2) تحضير معقد بورسيلينات - ميلامين

#### Preparation of Porcelanite- Melamine Complex(PMC)

تم تحضير معقد بورسيلينات ميلامين من خلال مزج (g 3.4500) من الميلامين مع (g 1.3800) من صخور البورسيلينات في هاون خزفي و إضافة ثلاث قطرات من الماء المقطر إلى المزيج (لمدة نصف ساعة) ، ثم وضع المزيج في قنينة مغلقة وتركه لمدة 15 يوم من أجل إتمام عملية توزيع جزيئات الميلامين في البورسيلينات المسامية [89].

## (2-2-7-2) تحضير بوليمر (بورسيلينات ميلامين – فورمالديهايد)

**Preparation of Porcelanite-Melamine-Formaldehyde Polymer (PMFP)**

حضر البوليمر PMFP وذلك بأخذ وزن (4.7448 g) من (PMC) و وضع في دورق مخروطي و أضيف إليه (1.5 ml) فورمالديهايد ترك المزيج لمدة نصف ساعة. ثم وضع المزيج في حمام مائي ° 90C لمدة ساعتين ، لإتمام عملية الترابط بين PMC والفورمالديهايد<sup>[89]</sup>.

## (8-2) تعيين زمن الاتزان لأنظمة الامتزاز

**Equilibrium Time of Adsorption System**

لتحديد الزمن اللازم لحصول الاتزان بين السطح الماز والمادة الممتازة تم استخدام ثمان قناني حجمية سعة 25 ml و وضع فيها تركيز  $40.0000 \mu\text{g} \cdot \text{ml}^{-1}$  و  $6.0000 \mu\text{g} \cdot \text{ml}^{-1}$  و وزن من السطح (صخور البورسيلينات العراقية) مقداره 0.0500 g لكلا الصبغتين Remazol Brilliant blue و Malachate green و تم استخدام أزمان رج مختلفة تراوحت بين (10 min. – 120 min.) و في درجة حرارة المختبر (298 K). بعدها تم فصل المحاليل باستخدام جهاز الطرد المركزي و من ثم رشحت المحاليل و تم قياس الأمتصاصية عند الطول الموجي الأعظم 605 nm و 617.5 nm لكل من صبغتي Remazol Brilliant blue و Malachate green على التوالي. إما باستخدام صخور البورسيلينات المحورة فقد تم استخدام نفس الطريقة أعلاه مع الأخذ بنظر الاعتبار تغيير وزن السطح الماز (بوليمر بورسيلينات – ميلامين – فورمالديهايد) حيث تم استخدام وزن مقداره 0.0200 g لكلا الصبغتين.

(9-2) ايزوثيرمات الامتزاز **Adsorption Isotherm**

للحصول على ايزوثيرم الامتزاز لكل صبغة مع السطح الماز فقد تم استخدام تراكيز مختلفة تراوحت بين  $10.0000 - 60.0000 \mu\text{g} \cdot \text{ml}^{-1}$  و  $10.0000 - 70.0000 \mu\text{g} \cdot \text{ml}^{-1}$  من صبغة Remazol Brilliant blue مع وزن مقداره 0.0600 g و 0.0100 g من صخور البورسيلينات العراقية وشكلها المحور على التوالي مع ضبط الدالة الحامضية بحدود (pH=6.7) و باستخدام زمن رج مقداره (10 min. و 20 min.) باستخدام صخور البورسيلينات العراقية وشكلها المحور على التوالي و درجات حرارية ضمن المدى (298K - 328)



أما بالنسبة لصبغة Malachate green فقد تم استخدام تراكيز تراوحت بين  $0.0500 \text{ g}$  و  $(12.0000-2.0000) \mu\text{g} \cdot \text{ml}^{-1}$  و  $(14.0000 - 2.0000) \mu\text{g} \cdot \text{ml}^{-1}$  مع وزن مقداره  $0.0300 \text{ g}$  من صخور البورسيلينات العراقية وشكلها المحور على التوالي مع ضبط الدالة الحامضية بحدود  $\text{pH} = 8.5$  وعند درجات حرارية ضمن المدى  $(328 - 298 \text{ K})$  مع استخدام زمن رج مقداره  $10 \text{ min.}$  و  $30 \text{ min.}$  باستخدام صخور البورسيلينات العراقية و شكلها المحور على التوالي . بعد ذلك تم فصل هذه المحاليل باستخدام جهاز الطرد المركزي ثم رشحت هذه المحاليل وقيس الامتصاص عند الطول الموجي الأعظم لكل صبغة باستخدام جهاز الأشعة فوق البنفسجية – المرئية بعدها تم إيجاد تركيز كل صبغة عند الاتزان  $(\text{Ce mg} / \text{L})$  بالاعتماد على منحنيات المعايرة المعدة مسبقاً و كما موضح في المعادلة الآتية:

$$A = m C_e + b \quad \dots\dots\dots(2-11)$$

$A =$  الامتصاص

$m =$  الميل (Slope)

$C_e =$  التركيز عند الاتزان  $(\text{mg/L})$

$b =$  التقاطع (Intercept)

وبعد تعيين قيم  $C_e$  تم استخراج قيم السعة الوزنية للامتزاز  $(Q_e)$  من المعادلة الآتية<sup>[25]</sup>:-

$$Q_e = V(C_0 - C_e) / m \quad \dots\dots\dots(2-12)$$

إذ إن :-

$Q_e =$  السعة الوزنية للامتزاز بوحدة  $(\text{mg/g})$

$C_e =$  التركيز عند الاتزان لمحلول المادة الممتزة بوحدة  $(\text{mg/L})$

$C_0 =$  التركيز الابتدائي لمحلول المادة الممتزة بوحدة  $(\text{mg/L})$

$V =$  الحجم الكلي لمحلول المادة الممتزة بوحدة  $(\text{L})$

$m =$  وزن المادة الممتزة بوحدة  $(\text{g})$

تم أيضاً حساب النسبة المئوية لإزالة الصبغتين  $(\text{Re}\%)$  وذلك باستخدام المعادلة الآتية:-

$$\text{Re}\% = C_0 - C_e / C_0 * 100 \quad \dots\dots\dots(2-13)$$

حيث أن :

$\text{Re} \% =$  النسبة المئوية للإزالة .

## (10-2) العوامل المؤثرة في عملية الامتزاز

*Factors Influencing on Adsorption Process*

## (1-10-2) تأثير وزن السطح الماز

*Effect of The Weight of Surface Adsorbent*

تم دراسة تأثير تغير وزن السطح الماز على الامتزاز باستخدام تراكيز مقدارها  $40.0000 \mu\text{g.ml}^{-1}$  و  $6.0000 \mu\text{g.ml}^{-1}$  وباستخدام زمن رج مقداره (20 min) و (10 و 30 min.) و (10 و 30 min.) لصبغتي Brilliant blue و Remazol Malachate و green على التوالي . وباستخدام اوزان مختلفة من السطوح المازة تراوحت بين (0.0100g - 0.0800) و (0.0050g - 0.0600) لصخور البورسيلينات العراقية و شكلها المحور PMFP على التوالي . مع ضبط درجة حرارة المختبر بحدود (298 K) . بعد ذلك تم فصل هذه المحاليل باستخدام جهاز الطرد المركزي ثم رشحت وقيس الامتصاص عند الطول الموجي الأعظم لكل صبغة باستخدام جهاز الأشعة فوق البنفسجية - المرئية بعدها تم إيجاد تركيز كل صبغة عند الاتزان ( $C_e \text{ mg / L}$ ) بالاعتماد على منحنيات المعايرة المعدة مسبقاً ومن ثم تم حساب النسبة المئوية للإزالة .

(2-10-2) تأثير الدالة الحامضية *Effect of pH*

أجريت تجارب عديدة لبيان تأثير تغير الدالة الحامضية على نسبة الإزالة و عملية الامتزاز من خلال استخدام تراكيز مقدارها  $40.0000 \mu\text{g .ml}^{-1}$  و  $6.0000 \mu\text{g .ml}^{-1}$  من صبغتي Brilliant blue و Remazol Malachate green على التوالي وباستخدام الظروف الفضلى لعملية الامتزاز مع تغير الدالة الحامضية ضمن المدى (PH= 10-2) بعد ذلك تم فصل هذه المحاليل باستخدام جهاز الطرد المركزي ثم رشحت وقيس الامتصاص عند الطول الموجي الأعظم لكل صبغة باستخدام جهاز الأشعة فوق البنفسجية - المرئية بعدها تم إيجاد تركيز كل صبغة عند الاتزان ( $C_e \text{ mg / L}$ ) بالاعتماد على منحنيات المعايرة المعدة مسبقاً ومن ثم تم حساب النسبة المئوية للإزالة .

**(3-10-2) تأثير الشدة الأيونية Effect of Ionic Strength**

أجريت تجارب عديدة لمعرفة مدى تأثير الشدة الأيونية على سعة الامتزاز ونسبة الإزالة من خلال استخدام تراكيز مختلفة تراوحت بين (0.0200 - 0.0700 M) من الاملاح (NaCl, CaCl<sub>2</sub>, MgCl<sub>2</sub>, KCl), حيث تم استخدام تراكيز مقدارها 40.0000 و 6.0000  $\mu\text{g} \cdot \text{ml}^{-1}$  من صبغتي Remazol Brilliant blue و Malachate green على التوالي مع تثبيت الظروف الفضلى لعملية الامتزاز. بعدها تم فصل هذه المحاليل باستخدام جهاز الطرد المركزي ثم رشحت و تم قياس الامتصاصية لكلا الصبغتين عند الطول الموجي الأعظم باستخدام جهاز الأشعة فوق البنفسجية-المرئية بعدها تم حساب التركيز عند الاتزان ( $C_e \text{mg/L}$ ) بالاعتماد على منحنيات المعايرة المعدة مسبقاً ومن ثم تم حساب النسبة المئوية للإزالة.

**(4-10-2) تأثير درجة الحرارة Effect of Temperature**

جرت دراسة تأثير درجة الحرارة على عملية الإزالة وسعة الامتزاز باستخدام تراكيز مقدارها 40.0000 و 6.0000  $\mu\text{g} \cdot \text{ml}^{-1}$  لصبغتي Remazol Brilliant blue و Malachate green على التوالي مع تثبيت الظروف الفضلى لعملية الإزالة مع تغيير درجات الحرارة ضمن مدى الدرجات الحرارية (298K - 328). باستخدام سخور البورسيلينات العراقية و شكلها المحور كسطح ماز. بعدها تم فصل هذه المحاليل باستخدام جهاز الطرد المركزي ثم رشحت و تم قياس الامتصاصية عند الطول الموجي الأعظم لكلا الصبغتين باستخدام جهاز الأشعة فوق البنفسجية-المرئية بعدها تم حساب التركيز عند الاتزان ( $C_e \text{mg/L}$ ) بالاعتماد على منحنيات المعايرة المعدة مسبقاً، إذ تم حساب الدوال الترموديناميكية لعملية الإزالة.

## Results and Discussion

## 3. النتائج والمناقشة

3A - إزالة صبغتي Remazol Brilliant blue و Malachite green من محاليلها المائية على سطح صخور البورسيلينات العراقية .

**Removal of Remazol Brilliant blue and Malachite green  
Dyes from aqueous solutions On Iraqi Porcelanite Rocks .**

(3A-1) تشخيص صخور البورسيلينات العراقية

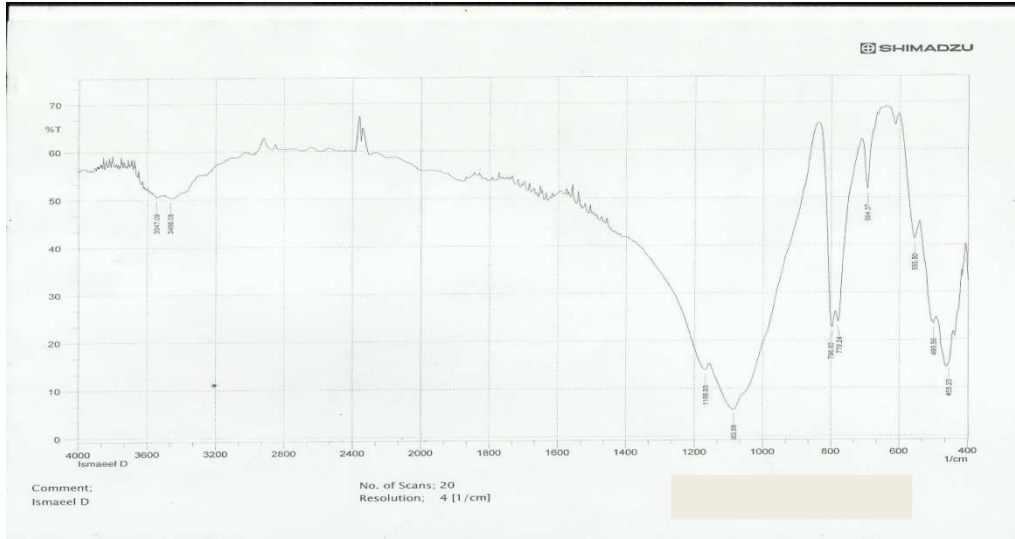
### Characterization of Iraqi Porcelanite Rocks

تم تشخيص سطح صخور البورسيلينات العراقية بواسطة جهاز مطيافية الأشعة تحت الحمراء FT-IR ومجهر المسح الإلكتروني SEM وجهاز حيود الأشعة السينية X-RD .

(3A-1-1) تشخيص طيف الأشعة تحت الحمراء

### Characterization of FT-IR

أظهرت نتائج طيف الأشعة تحت الحمراء FT-IR ، الشكل (3-1) وجود حزم الامتصاص الرئيسية ، إذ نلاحظ حزماً محصورة ما بين ( $3547-3466 \text{ cm}^{-1}$ ) ناتجة من الاهتزاز المطاطي لمجاميع الهيدروكسيل. و حزمة الامتصاص عند ( $1183 \text{ cm}^{-1}$ ) تعود إلى الأصرة في المجموعة (Si-O). كذلك اظهر الطيف حزمة امتصاص عند ( $455 \text{ cm}^{-1}$ ) وتمثل امتصاص المجموعة (Fe-O). و أظهر الطيف حزمة امتصاص عند ( $796 \text{ cm}^{-1}$ ) وتمثل امتصاص المجموعة (Al-O) ، أن هذه المجاميع الكيميائية تمثل مواقع فعالة تحدث عليها عملية الامتزاز بسبب شحنتها السالبة التي تعطي قابلية لهذه المجاميع على تكوين أو اصرر كيميائية أو ارتباطات فيزيائية لاحتوائها على زوج الكتروني أو شحنة الكترولوستاتيكية ممكن إن تشترك لتكوين رابط فيزيائي أو أصرة كيميائية [90].

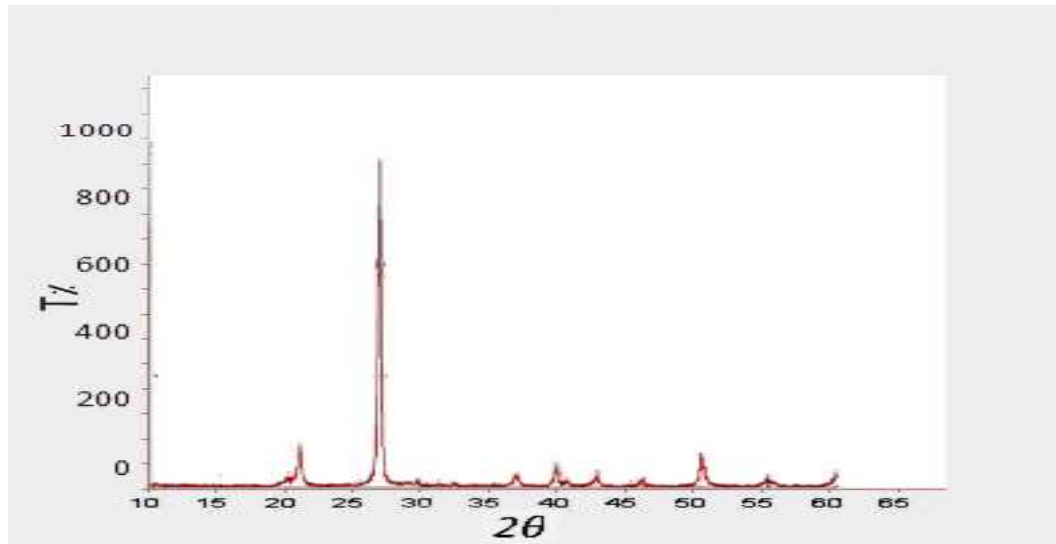


الشكل (1-3A) طيف الأشعة تحت الحمراء FT-IR لصخور البورسيلينات العراقية .

### (2-1-3A) تشخيص حيود الأشعة السينية

#### Characterization of X - RD

لقد اظهرت التحاليل الكيميائية للصخور بأنها تتكون من خليط من الكوارتز، والابوال سي تي (Opal – CT) الذي يعرف بانه تداخل غير منتظم بين طوري الكرستوبلايت و الترايداميت – الفا ، وكذلك وجود بعض الاطوار الطينية (الكاولين ، الاليات والسماكتايت ) التي توجد متداخلة مع السيليكا الدقيقة الحجم<sup>[91]</sup>. كذلك توجد في هذه الصخور السيليكا وبنسبة عالية قد تصل الى % 74.0300 ويمثل اوكسيد الكالسيوم الجزء الرئيسي من المركبات الثانوية المرافقة في تركيب هذه الصخور إذ يبلغ المعدل العام لها % 5.6200 كما توجد مركبات أخرى ، ولكن بنسب اقل هي ثاني اوكسيد التيتانيوم  $TiO_2$  و اوكسيد المغنسيوم  $MgO$  و اوكسيد الالمنيوم  $Al_2O_3$  و بعض الأوكاسيد الأخرى<sup>[88]</sup>. يوضح الشكل (2-3A) نتائج تحليل الأشعة السينية X-RD .

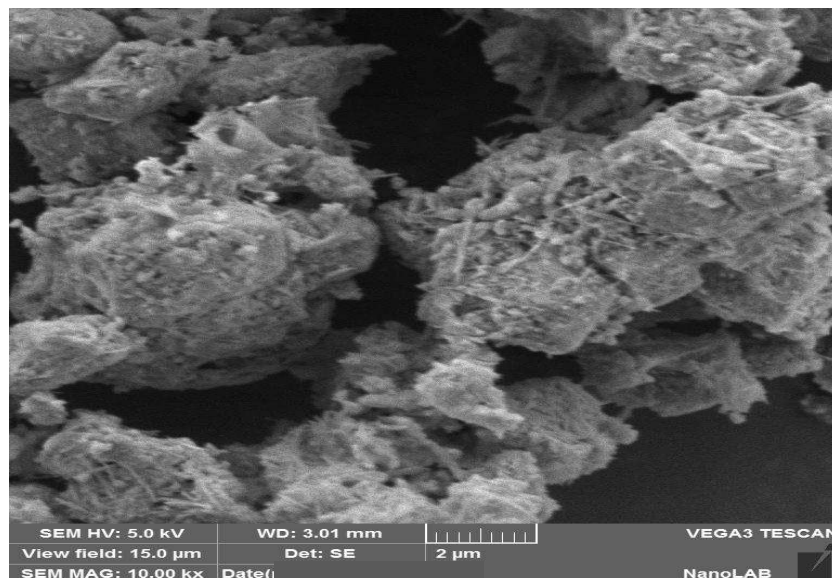


شكل (2-3 A) طيف X-RD لصخور البورسيلينات العراقية .

### (3-1-3A) تشخيص مجهر المسح الالكتروني

#### Characterization of SEM

تم تصوير المورفولوجي لسطح صخور البورسيلينات العراقية باستخدام مجهر المسح الإلكتروني (SEM). حيث اظهر الشكل (3-3A) الطبيعة المسامية للسطح و المساحة السطحية الواسعة .



شكل (3-3A) صورة SEM لصخور البورسيلينات العراقية

**(2-3A) دراسة العوامل المؤثرة على إزالة صبغتي Remazol Brilliant blue و Malachite gree من المحاليل المائية باستخدام صخور البورسيلينات العراقية .**

**Study Factors influencing on Removal of Remazol Brilliant blue and Malachite green Dyes from aqueous solution using the Iraqi Porcelanite Rocks .**

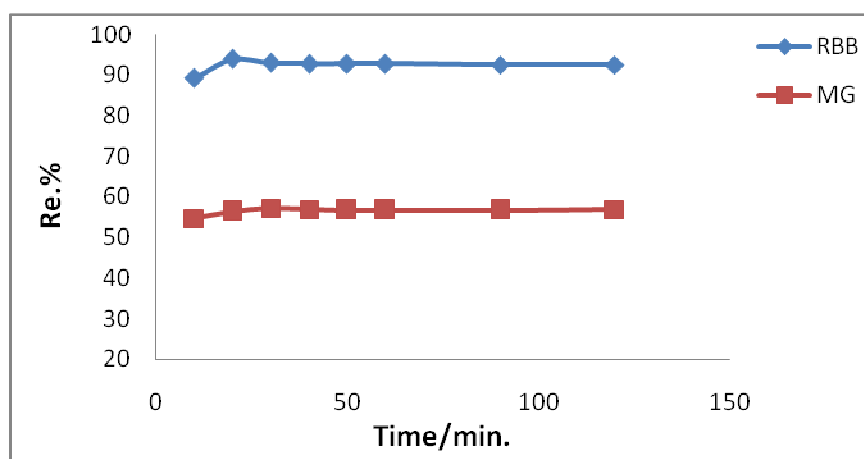
ويشمل هذا الجزء مختلف التحقيقات التي يمكن أن توضح جميع العوامل التي تؤثر على استخدام صخور البورسيلينات العراقية في إزالة صبغتي Remazol Brilliant blue و Malachite green الملوثة للماء . وعلاوة على ذلك يتضمن العمل إيزوثيرمات الامتزاز، والنماذج النظرية التي تصف إلايزوثيرمات والدوال الترموديناميكية لعملية الامتزاز.

### **( 1-2-3A ) زمن الاتزان Equilibrium time**

ان زمن الاتزان من العوامل المؤثرة على كمية الامتزاز وسعة الامتزاز لذلك تمت دراسة زمن الاتزان بين السطح ألاماز ( صخور البورسيلينات العراقية ) و صبغتي Remazol Brilliant blue و Malachite green باستخدام وزن مقداره 0.0600 g و 0.0500 g من السطح ألاماز وتركيز مقداره  $40.0000 \mu\text{g} \cdot \text{ml}^{-1}$  و  $6.0000 \mu\text{g} \cdot \text{ml}^{-1}$  من الصبغتين على التوالي وعند درجة حرارة مقدارها 298 K وباستخدام ازمان مختلفة ضمن المدى ( 10-120 ) min. تبين النتائج الموضحة في الجدول ( 1- 3 A ) و الشكل ( 4-3 A ) ان الزمن 20 min. و 30 min. هو أفضل زمن اتزان لصبغتي Remazol Brilliant blue و Malachite green على التوالي حيث أعطى أفضل نسبة إزالة لذلك تم تثبيتها في التجارب اللاحقة .

جدول (1-3 A): قيم النسب المئوية لإزالة صبغتي Remazol Brilliant blue و Malachite green من المحاليل المائية باستخدام سطح صخور البورسيلينات العراقية وعند أزمان مختلفة في درجة حرارة 298 K .

Adsorbate	Time/min.	Removal% = $\left(\frac{C_0 - C_e}{C_0} \times 100\right)$
RBB	10	89.16
	20	93.83
	30	93.00
	40	92.72
	50	92.72
	60	92.72
	90	92.44
	120	92.44
MG	10	54.74
	20	56.34
	30	57.15
	40	56.94
	50	56.74
	60	56.74
	90	56.74
	120	56.94



شكل (4-3A) تأثير زمن الاتزان على إزالة صبغتي Remazol Brilliant blue و Malachite green على سطح صخور البورسيلينات العراقية .



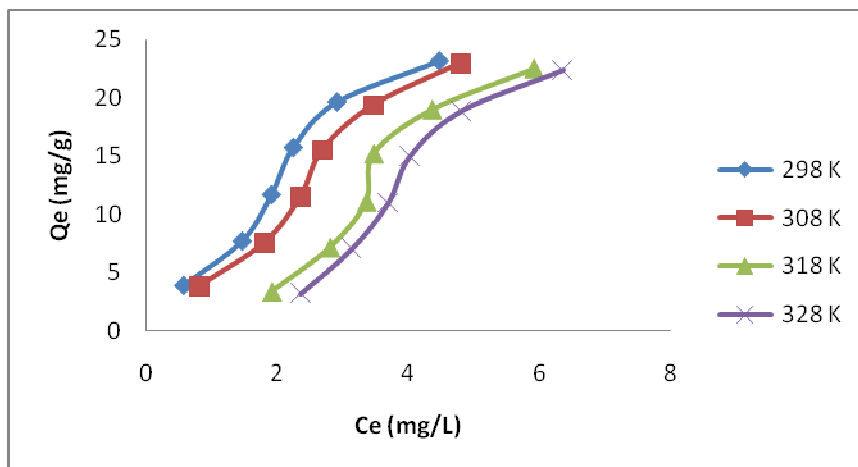
### The Adsorption Isotherms (2-2-3A) أيزوثيرمات الامتزاز

تم دراسة امتزاز صبغتي Remazol Brilliant blue و Malachite green على سطح صخور البورسيلينات العراقية ضمن مدى التراكيز ( $10.0000 - 60.0000 \mu\text{g} \cdot \text{ml}^{-1}$ ) و ( $2.0000 - 12.0000 \mu\text{g} \cdot \text{ml}^{-1}$ ) لكل من صبغتي Remazol Brilliant blue و Malachite green على التوالي . و تم الحصول على ايزوثيرمات الامتزاز كما موضحة في الجدول (2-3A) عند درجات حرارية مختلفة ضمن المدى ( $298 - 328 \text{ K}$ ) وعند الظروف الفضلى لكل من الصبغتين .

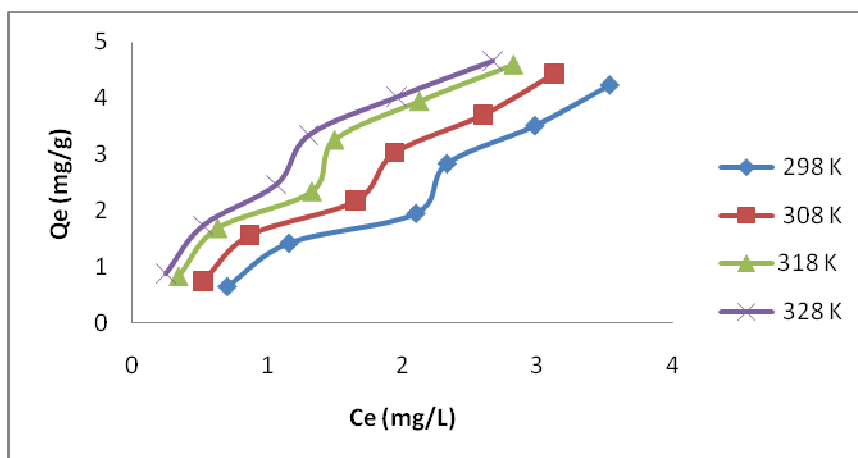
تم حساب السعة الوزنية للامتزاز ( $Q_e$ ) من المعادلة التي سبق ذكرها في الفقرة (2-9) . ان رسم العلاقة بين السعة الوزنية ( $Q_e$ ) و التركيز عند الاتزان ( $C_e$ ) للمادة المازة يعطي الاشكال العامة لايزوثيرمات الامتزاز عند الاتزان كما مبين في الشكلين (3A-5) و (3A-6) و التي تبين ايزوثيرمات امتزاز صبغتي Remazol Brilliant blue و Malachite green على التوالي على سطح صخور البورسيلينات العراقية .

جدول (2-3A) قيم الامتزاز لصبغتي Malachite green و Remazol Brilliant blue على سطح صخور البورسيلينات العراقية في درجات حرارة ضمن المدى (298 K - 328 K).

Tem.	298 K			308 K		318 K		328 K	
Adsorbate	C <sub>o</sub> (mg/L)	C <sub>e</sub> (mg/L)	Q <sub>e</sub> (mg/g)	C <sub>e</sub> (mg/L)	Q <sub>e</sub> (mg/g)	C <sub>e</sub> (mg/L)	Q <sub>e</sub> (mg/g)	C <sub>e</sub> (mg/L)	Q <sub>e</sub> (mg/g)
RBB	10	0.57	3.92	0.80	3.83	1.91	3.37	2.35	3.18
	20	1.46	7.72	1.80	7.58	2.80	7.16	3.13	7.02
	30	1.91	11.70	2.35	11.51	3.35	11.10	3.68	10.96
	40	2.24	15.73	2.68	15.54	3.46	15.22	4.02	14.99
	50	2.91	19.62	3.46	19.38	4.35	19.01	4.80	18.83
	60	4.46	23.13	4.80	23.00	5.91	22.53	6.35	22.35
MG	2	0.70	0.64	0.52	0.73	0.34	0.82	0.24	0.87
	4	1.16	1.41	0.87	1.56	0.63	1.68	0.52	1.73
	6	2.10	1.94	1.65	2.17	1.33	2.33	1.06	2.46
	8	2.33	2.83	1.87	3.06	1.46	3.26	1.30	3.34
	10	2.98	3.50	2.59	3.70	2.12	3.93	1.95	4.02
	12	3.53	4.23	3.12	4.43	2.82	4.58	2.66	4.66



شكل (5-3A) أيزوثيرمات الامتزاز لصبغة Remazol Brilliant blue عند  $\text{PH}=6.7$  باستخدام (0.0600 g) من سطح صخور البوروسيلينات العراقية وزمن اتزان 20 min. عند درجات حرارية مختلفة .



شكل (6-3A) أيزوثيرمات الامتزاز لصبغة Malachite green عند  $\text{PH}=8.5$  باستخدام (0.0500 g) من سطح صخور البوروسيلينات العراقية وزمن اتزان مقداره (30min.) وعند درجات حرارية مختلفة .

إن دراسة أيزوثيرمات الامتزاز تعطي معلومات مهمة في وصف عملية الامتزاز وظروفها ومعرفة سعة الامتزاز للمادة الممتزة مع تركيزها عند حصول عملية الامتزاز. إن الشكل العام لايزوثيرم الصبغتين Remazol Brilliant blue و Malachite green على سطح صخور البوروسيلينات العراقية في الشكلين (5-3A) و (6-3 A) ، يتوافق بصورة عامة مع الصنف ( $S_4$ -Type) حسب تصنيف (Giles) والذي يشير الى أن توجه المواقع الفعالة

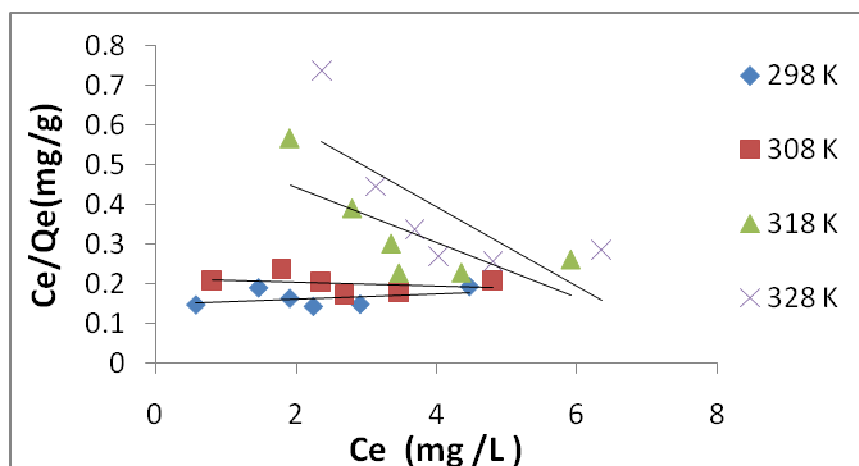
على سطح صخور البورسيلينات العراقية يكون مائلاً أو عمودياً والى انجذاب عالي للصبغتين على السطح .

طبقت البيانات التجريبية لازالة صبغة Remazol Brilliant blue و صبغة Malachite green على معادلة لانكماير ومعادلة فريندلش لمعرفة مدى انطباقها على افتراضات هاتين المعادلتين .

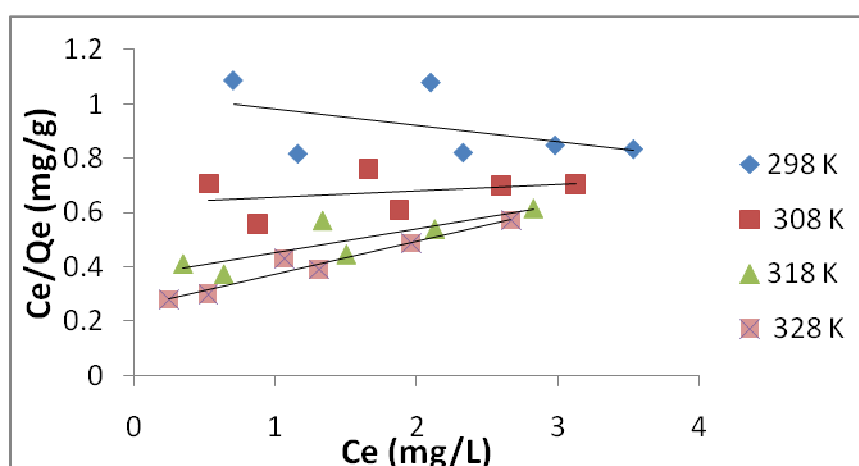
يظهر من بيانات الجدول (3-3 A) و الشكلين (7-3 A) و(8-3 A) أن استبعاد معادلة لانكماير في ميكانيكية الامتزاز لعدم وجود علاقة خطية بين (Ce/Qe) وقيم (Ce) في حين ان بيانات الاتزان اظهرت انطباق معادلة فريندلش بشكل واضح عند رسم  $\log Q_e$  مقابل قيم  $\log Ce$  الجدول (4-3 A) مقارنة مع معادلة لانكماير وكما موضح في الشكلين (9-3 A) و (10-3 A).

**جدول (3-3A) البيانات الخاصة بامتزاز صبغتي Remazol Brilliant blue و Malachite green على سطح صخور البورسيلينات العراقية بدرجات حرارية مختلفة على وفق تطبيق معادلة لانكماير.**

Temp.	298 K		308 K		318 K		328 K	
	Ce (mg/L)	Ce/Qe (g/L)	Ce (mg/L)	Ce/Qe (mg/g)	Ce (mg/L)	Ce/Qe (mg/g)	Ce (mg/L)	Ce/Qe (mg/g)
RBB	0.57	0.14	0.80	0.20	1.91	0.56	2.35	0.73
	1.46	0.18	1.80	0.23	2.80	0.39	3.13	0.44
	1.91	0.163	2.35	0.20	3.35	0.30	3.68	0.33
	2.24	0.14	2.68	0.17	3.46	0.22	4.02	0.26
	2.91	0.14	3.46	0.17	4.35	0.22	4.80	0.25
	4.46	0.19	4.80	0.20	5.91	0.26	6.35	0.28
MG	0.70	1.08	0.52	0.70	0.34	0.41	0.24	0.28
	1.16	0.81	0.87	0.55	0.63	0.37	0.52	0.30
	2.10	1.07	1.65	0.76	1.33	0.57	1.06	0.43
	2.33	0.82	1.87	0.61	1.46	0.44	1.30	0.39
	2.98	0.84	2.59	0.70	2.12	0.53	1.95	0.48
	3.53	0.83	3.12	0.70	2.82	0.61	2.66	0.57



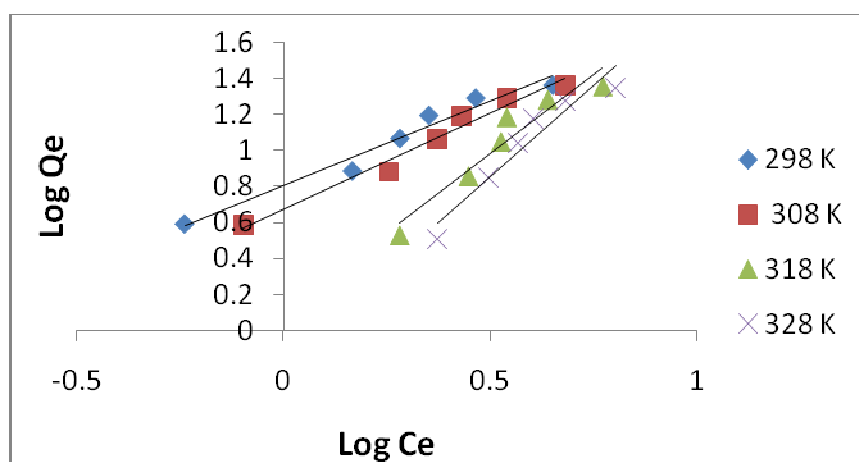
شكل (7-3 A) ايزوثيرم لانكماير لامتزاز صبغة Remazol Brilliant blue على سطح  
صخور البورسيلينات العراقية عند درجات حرارية مختلفة .



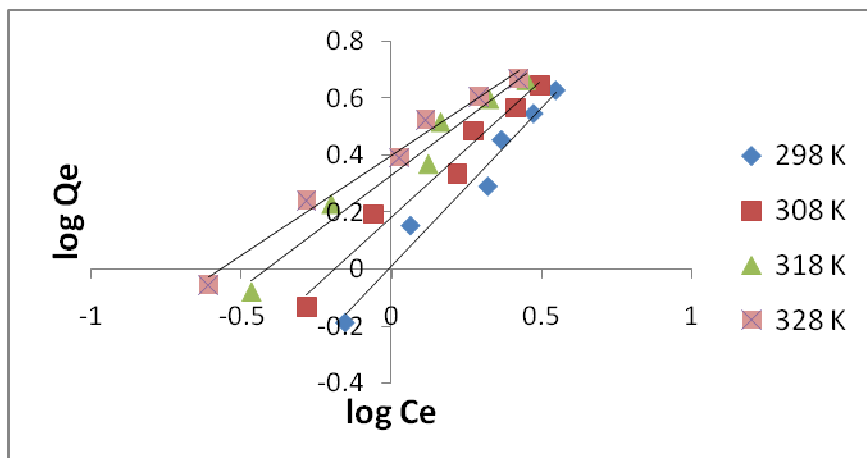
شكل (8-3 A) ايزوثيرم لانكماير لامتزاز صبغة Malachite green على سطح صخور  
البورسيلينات العراقية عند درجات حرارية مختلفة .

جدول (4-3A) البيانات الخاصة بامتزاز صبغتي Remazol Brilliant blue و Malachite green على سطح صخور البورسيلينات العراقية بدرجات حرارية مختلفة على وفق تطبيق معادلة فريندلش.

Temp.	298 K		308 K		318 K		328 K	
Adsorbate	LogCe	LogQe	LogCe	LogQe	LogCe	LogQe	LogCe	LogQe
RBB	-0.23	0.59	-0.09	0.58	0.28	0.52	0.37	0.50
	0.16	0.88	0.25	0.87	0.44	0.85	0.49	0.84
	0.28	1.06	0.37	1.06	0.52	1.04	0.56	1.03
	0.35	1.19	0.42	1.19	0.53	1.18	0.60	1.17
	0.46	1.29	0.53	1.28	0.63	1.27	0.68	1.27
	0.64	1.36	0.68	1.36	0.77	1.35	0.80	1.34
MG	-0.15	-0.18	-0.28	-0.13	-0.46	-0.08	-0.05	-0.60
	0.06	0.15	-0.05	0.19	-0.19	0.22	0.24	-0.28
	0.32	0.28	0.21	0.33	0.12	0.36	0.39	0.02
	0.36	0.45	0.27	0.48	0.16	0.51	0.52	0.11
	0.47	0.54	0.41	0.56	0.32	0.59	0.60	0.29
	0.54	0.62	0.49	0.64	0.45	0.66	0.66	0.42



شكل (9-3 A) ايزوثيرم فريندلش لامتزاز صبغة Remazol Brilliant blue على سطح صخور البورسيلينات العراقية عند درجات حرارية مختلفة .



شكل (10-3A) ايزوثيرم فريندلش لامتزاز صبغة Malachite green على سطح صخور البورسيلينات العراقية عند درجات حرارية مختلفة .

ويمكن التعبير عن المعاملات الأساسية لإيزوثيرم لانكماير من حيث عامل الفصل المستمر الخالي من الوحدات يرمز له بالرمز ( $R_L$ ) الذي تم تعريفه من قبل العالمين (ويبر وتشاكرافورتى) [92] Webber and Chakkravorti يمكن تمثيلها على النحو التالي:

$$R_L = 1 / (1 + bC_0) \dots\dots\dots(3.14)$$

يلاحظ ان انخفاض قيمة  $R_L$  يبين أن الامتزاز هو أكثر ملاءمة. في تفسير أعمق ، تشير قيمة  $R_L$  إلى أن طبيعة الامتزاز تكون إما ملائم ( $0 < R_L < 1$ ) ، غير ملائم ( $R_L > 1$ ) ، خطية ( $R_L = 1$ ) أو غير عكسي ( $R_L = 0$ ) [93].

تم حساب ثوابت الايزوثيرمات ( $a, b, R_L$ ) لأنموذج لانكماير و ( $n, kf$ ) لأنموذج فريندلش مع معاملات الارتباط الخطية ( $R^2$ ) وثبتت في الجدول (5-3A).

جدول (5-3A) قيم ثوابت لانكماير و فريندلش ومعاملات الارتباط لامتزاز صبغتي Malachite green و Remazol Brilliant blue على سطح صخور البورسيلينات العراقية عند درجات حرارية مختلفة .

Adsorbate RBB and MG dyes								
	Temp. K	Langmuir isotherm				Freundlich isotherm		
		a (mg/g)	b (mg/L)	(r <sup>2</sup> )	RL	(Kf)	Slope (n)	(r <sup>2</sup> )
RBB	298	140.8450	0.0560	0.1767	0.3084	0.8074	0.9317	0.9644
	308	-196.078	-0.0273	0.0925	-10.8695	0.6738	1.065	0.9734
	318	-14.3266	-0.1681	0.537	-0.1746	0.0963	1.7679	0.9205
	328	-10.0704	-0.1487	0.5566	0.2973	-0.1572	2.0246	0.9189
MG	298	-0.0597	-16.750	-0.0490	0.2414	0.0116	1.1131	0.9708
	308	44.8430	0.0307	0.0867	0.8444	0.1810	0.9586	0.9714
	318	11.3895	0.1933	0.7183	0.4630	0.3274	0.7948	0.9685
	328	8.3472	0.3939	0.9485	0.2973	0.3991	0.6998	0.9841

ان قيم الثابت kf في معادلة فريندلش هي مؤشر تقريبي لسعة الامتزاز/ التشرب و ان ميل معادلة فريندلش الخطية 1/n يشير الى شدة الامتزاز و هي ثوابت تتضمن جميع العوامل المؤثرة في عملية الامتزاز .

اما قيم الثابت (a mg/g) لمعادلة لانكماير فتمثل ثابت يرتبط بسعة الامتزاز / التشرب العظمى و كلما ازدادت قيمته فيعني سعة افضل في الامتزاز / التشرب . وقيم الثابت (b mg/L) فترتبط بطاقة الامتزاز / التشرب .

نلاحظ من قيم الميل (Slope) و معامل الارتباط (r<sup>2</sup>) من النتائج العملية السابقة أن معادلة فريندلش هي الأكثر انطباقا من معادلة لانكماير على عملية امتزاز الصبغتان ( Remazol



Brilliant blue و Malachite green ) بسبب الإنطباق الخطي الظاهري الافضل لايزوثيرم فريندلش في الاشكال السابقة .

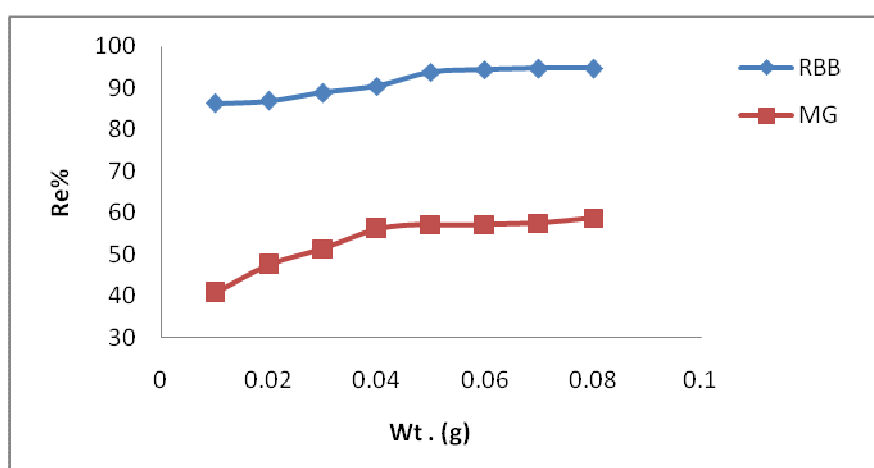
اذ ان قيمة n في معادلة فرندلش كلما كانت اعظم كانت المفضلة في الامتزاز وذلك لانها تتعلق بطريقة ارتباط جزيئات الصبغة على السطح ألاماز.

### (3-2-3A) تأثير وزن السطح ألاماز Effect of surface Weight

تم دراسة تأثير تغير وزن السطح الماز (صخور البورسيلينات العراقية ) على عملية امتزاز صبغتي Remazol Brilliant blue و Malachite green باستخدام تركيز معين مقداره  $40.0000 \mu\text{g} \cdot \text{ml}^{-1}$  و  $6.0000 \mu\text{g} \cdot \text{ml}^{-1}$  و زمن اتزان مقداره 20 min. و 30 min. لصبغتي ال Remazol Brilliant blue و Malachite green على التوالي و عند درجة حرارة 298 K مع استخدام اوزان مختلفة من السطح الماز تراوحت بين (0.0800-0.010 g) يتضح من النتائج المبينة في الجدول(6-3A) والشكل (11-3A) ، ان نسبة الإزالة للصبغتين تزداد مع زيادة وزن السطح الماز ويرجع ذلك الى توفر مساحة سطحية اكبر مع زيادة في عدد المواقع الفعالة (Active Sites) المهيأة للامتزاز ومن ثم تزداد كمية الامتزاز للصبغتين من المحلول و بالتالي تزداد نسبة الإزالة [94] ، حتى تصل إلى قيمة محددة و ثابتة تمثل كمية المادة ألامازة في مرحلة الاشباع اي ان السطح تشبع بالمادة الممتزة وبالتالي لا تتأثر بزيادة وزن السطح الماز ( صخور البورسيلينات العراقية ) ، لذا فأن الوزن 0.0600g و 0.0500g أعطى أفضل نسبة امتزاز لصبغتي Remazol Brilliant blue و Malachite green على التوالي لذا تم استخدام هذه الاوزان في التجارب اللاحقة.

جدول (6-3A) النسب المئوية لإزالة محاليل صبغتي Remazol Brilliant blue و Malachite green من المحاليل المائية باستخدام أوزان مختلفة من سطح صخور البورسيلينات العراقية و عند درجة حرارة 298K .

Adsorbate	Wt. (g)	Removal% = $\left(\frac{C_0 - C_e}{C_0}\right) \times 100$
<b>RBB</b>	0.0100	86.33
	0.0200	86.89
	0.0300	88.83
	0.0400	90.5
	0.0500	93.80
	0.0600	94.39
	0.0700	94.66
	0.0800	94.66
<b>MG</b>	0.0100	40.68
	0.0200	47.51
	0.0300	51.32
	0.0400	56.14
	0.0500	57.14
	0.0600	57.55
	0.0700	57.55
	0.0800	58.75



شكل (11-3 A) تأثير وزن سطح صخور البورسيلينات العراقية في النسبة المئوية لإزالة صبغتي Remazol Brilliant blue و Malachite green عند درجة حرارة 298 K .

### Effect of pH تأثير الدالة الحامضية (4-2-3A)

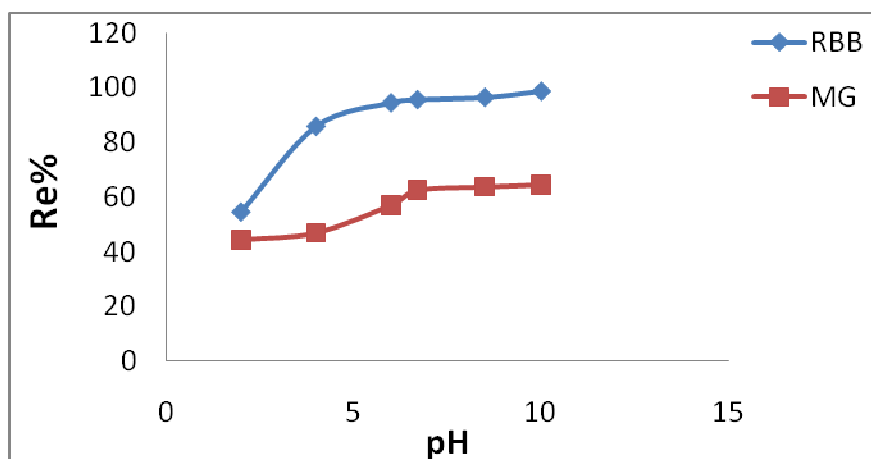
أجريت دراسة ازالة صبغتي Malachite green و Remazol Brilliant blue باستخدام صخور البورسيلينات العراقية من خلال استخدام تركيز معين مقداره  $40.0000 \mu\text{g}$  و  $6.0000 \mu\text{g} \cdot \text{ml}^{-1}$  و زمن اتزان مقداره 20 min. و 30 min. و وزن السطح الماز ( صخور البورسيلينات العراقية ) 0.0600 g و 0.0500 g لصبغتي Remazol Brilliant blue و Malachite green على التوالي وعند درجة حرارة 298K و استخدام محاليل ذات دوال حامضية تراوحت بين (2-10). تبين النتائج الموضحة في الجدول (3A-7) و الشكل (3A-12) ان الدالة الحامضية 6.7 و 8.5 هي افضل دالة حامضية حيث اعطت افضل نسبة ازالة لصبغتي Remazol Brilliant blue و Malachite green على التوالي . لذلك تم استخدامها في التجارب اللاحقة و إن اثر الدالة الحامضية ينبغي أن ينظر إليه من ناحية تأثيرها في كل من السطح الماز والمادة الممتزة والتداخلات التي تحدث بينهما . وهذه الدراسة توصلت إلى أن الدالة الحامضية لها تأثير كبير على السطح وعلى الصبغات ويختلف تأثيرها من صبغة لأخرى إذ أظهرت النتائج أن كمية إمتزاز صبغة Remazol Brilliant blue و Malachite green على سطح صخور البورسيلينات العراقية تقل في الوسط الحامضي وتزداد في الوسط القاعدي حيث نلاحظ زيادة قليلة في كمية الامتزاز لصبغة Remazol Brilliant blue في الوسط القاعدي لذلك تم اختيار الدالة الحامضية للصبغة بدون اضافة (pH=6.7) وقد اعتمدت هذه القيمة كدالة حامضية لأنظمة الامتزاز في عموم تجارب الرسالة ، بينما نلاحظ زيادة ملحوظة في كمية الامتزاز بزيادة الدالة الحامضية للصبغة Malachite green تصل النسبة المئوية للإزالة الى 63.77% عند pH=8.5 وقد اعتمدت هذه القيمة كدالة حامضية لأنظمة الامتزاز في عموم تجارب الدراسة .

والسبب في ذلك أن الـ pH للوسط الذي تجري فيه عملية الامتزاز له تأثير على كل من السطح الماز والمادة الممتزة ، وان الحامضية تؤثر على مواقع الامتزاز الفعالة في المادة المازة وان لنوعية الشحنة السائدة على السطح الماز دوراً في كيفية تأثير الأس الهيدروجيني على عملية الامتزاز [95].

جدول (6-3A) تأثير الدالة الحامضية في النسبة المئوية لإزالة صبغتي ال Remazol

Brilliant blue و Malachite green عند درجة حرارة 298K

Adsorbate	pH	Removal% = $\left(\frac{C_0 - C_e}{C_0} \times 100\right)$
RBB	2	54.66
	4	85.78
	6	94.39
	6.7	95.50
	8	96.33
	10	98.83
MG	2	44.29
	4	46.90
	6	57.14
	7	62.57
	8.5	63.77
	10	64.59

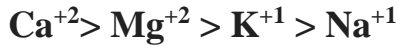


شكل (12-3A) تأثير الدالة الحامضية في النسبة المئوية لإزالة صبغتي ال Remazol

Brilliant blue و Malachite green عند درجة حرارة 298K .

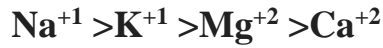
**Effect of Ionic Strength تأثير الشدة الأيونية (5-2-3 A)**

تشير نتائج دراسة تأثير الشدة الأيونية في محاليل صبغة Remazol Brilliant blue وصبغة Malachite green على سطح صخور البورسيلينات العراقية إلى نقصان سعة الامتزاز مع زيادة الشدة الأيونية التي ربما تعزى إلى أن ذوبانية الصبغة أعلى من ذوبانية الملح المستخدم في زيادة الشدة الأيونية [96] وهذا العامل بدوره يجعل من منافسة ايونات الأملاح المستخدمة على الارتباط مع السطح أكثر مما هو للصبغة وبذا تقل سعة امتزاز الصبغة. وكذلك تشير نتائج الدراسة إلى اختلاف تأثير الأملاح المستخدمة المختلفة في الشحنة و الحجم على الصبغتين حيث نلاحظ كلما يكون الايون أكبر شحنة وأكبر حجم يتداخل أكثر في الامتزاز مع صبغة Remazol Brilliant blue حسب الترتيب التالي :



حيث تكون النسبة المئوية للإزالة الصبغة Remazol Brilliant blue مع ملح كلوريد الصوديوم أعلى من النسبة المئوية مع ملح كلوريد الكالسيوم ، بينما يكون تأثير هذه الأملاح مع

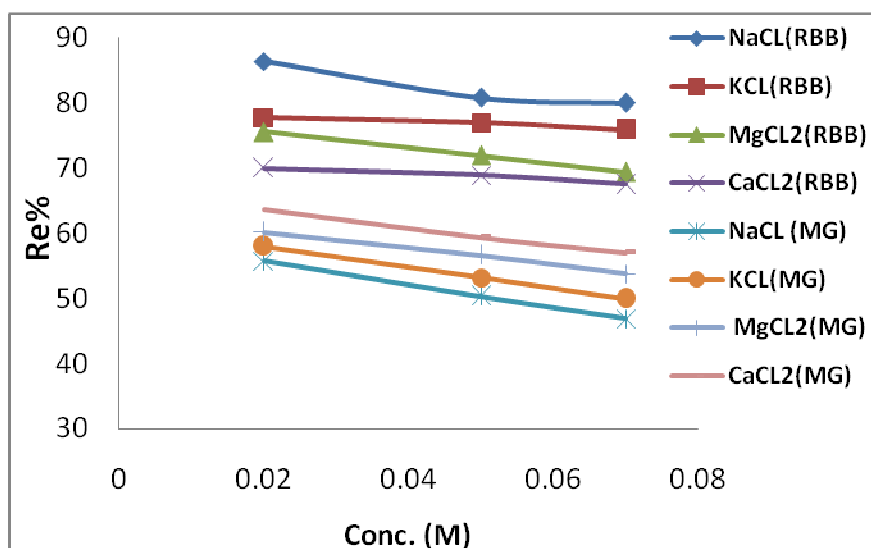
صبغة Malachite green على العكس تماما من صبغة Remazol Brilliant blue ويكون ترتيب تأثير الايونات على النحو التالي :



ويكون تأثير تركيز هذه الأملاح على الصبغتين حيث كلما كانت زيادة في تركيز الملح يقابلها نقصان في النسبة المئوية للإزالة كما موضح في الجدول (8-3A) و الشكل (13-3A).

جدول (8-3A) تأثير الشدة الأيونية في النسبة المئوية لإزالة صبغة Remazol Brilliant  
blue عند pH=6.7 و صبغة Malachite green عند pH=8.5 عند درجة حرارة  
.298K

RBB	التركيز المولاري للملح	النسب المئوية للإزالة			
		NaCl	KCl	MgCl <sub>2</sub>	CaCl <sub>2</sub>
	0.02	86.33	77.72	75.50	69.94
	0.05	80.78	76.89	71.89	68.83
	0.07	79.94	75.78	69.39	67.44
MG	0.02	55.74	57.95	60.16	63.57
	0.05	50.32	53.13	56.54	59.35
	0.07	46.90	49.92	53.73	56.94



شكل (13-3A) تأثير الشدة الأيونية في النسبة المئوية لإزالة صبغة Remazol Brilliant  
blue عند pH=6.7 و صبغة Malachite green عند pH=8.5 عند درجة حرارة  
.298K

### Effect of Temperature      تأثير درجة الحرارة (6-2-3A)

ان دراسة تأثير درجة الحرارة في عملية الامتزاز يمكن من خلالها تعيين قيم الدوال الترموديناميكية (الطاقة الحرة  $\Delta G$ , الانثالبي  $\Delta H$ , الانتروبي  $\Delta S$ ) لأهمية هذه الدوال في فهم عملية الامتزاز. يمكن حساب قيم الطاقة الحرة  $\Delta G$  باستخدام المعادلة الآتية :-

$$\Delta G = -RT \ln K_{eq} \quad \dots\dots\dots(3-15)$$

حيث أن :

$\Delta G$  : هو تغيير الطاقة الحرة بوحدات ( $\text{kJ.mol}^{-1}$ )

R : هو ثابت العام للغاز ( $8.314 \text{ J.mol}^{-1} \cdot \text{K}^{-1}$ )

$K_{eq}$ : ثابت التوازن .

تم حساب ثابت التوازن ( $K_{eq}$ ) لعملية الامتزاز عند كل درجة حرارة من المعادلة [97]

$$K_{eq} = \frac{Q_e m}{C_e V} \quad \dots\dots\dots(3-16)$$

حيث إن :

m : وزن السطح ألاماز (صخور البورسيلينات) ( $0.0600 \text{ g}$ ) مع محاليل صبغة Remazol

Brilliant blue و ( $0.0500 \text{ g}$ ) مع محاليل صبغة Malachite green

الجدول (9-3 A) يعطي قيم  $\ln K_{eq}$  في درجات حرارة مختلفة

نستطيع حساب  $\Delta H$  عن طريق رسم قيم  $\ln K_{eq}$  مع  $1/T$  نحصل على خط مستقيم من تقاطع

وميل هذا الرسم نستخرج قيم حرارة الامتزاز طبقا لمعادلة فان ت هوف Vent Hoff

:Arrhenius Equation

$$\ln K_{eq} = (-\Delta H/RT) + \text{con.} \quad \dots\dots\dots(3-17)$$

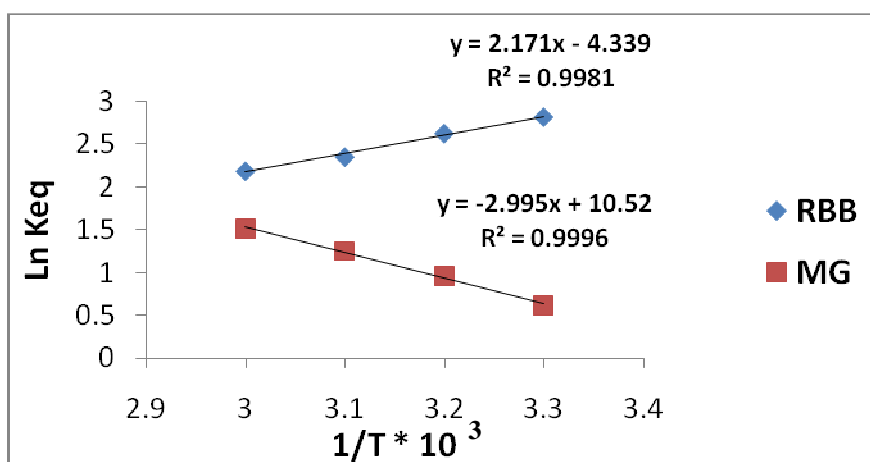
ويمكن حساب قيم التغير في الانتروبي  $\Delta S$  من خلال المعادلة رقم (1-1).

العلاقة ( $\ln K_{eq}$ ) مقابل ( $1/T$ ) يجب أن تنتج خط مستقيم مع الميل  $(-\Delta H / R)$

كما هو مبين في الشكل (14-3 A)

جدول (9-3A) قيم ثابت التوازن لإزالة صبغتي Remazol Brilliant blue و Malachite green باستخدام صخور البورسيلينات العراقية في درجات حرارة مختلفة.

Adsorbate	Ln K <sub>eq</sub>	T (K)	1/T (K <sup>-1</sup> )
RBB	2.82	298	0.0033
	2.63	308	0.0032
	2.35	318	0.0031
	2.19	328	0.0030
MG	0.61	298	0.0033
	0.96	308	0.0032
	1.25	318	0.0031
	1.53	328	0.0030



شكل (14-3A) قيم Ln Keq مقابل  $1/T * 10^3$  لامتماز صبغتي Remazol Brilliant blue و Malachite green على سطح صخور البورسيلينات العراقية.

ويبين الجدول (10-3 A) الدوال الترموديناميكية الحرارية  $\Delta G$  و  $\Delta H$  و  $\Delta S$  وإزالة الصبغتين Remazol Brilliant blue و Malachite green من محاليلها المائية باستخدام صخور البورسيلينات العراقية عند درجات حرارة مختلفة.



جدول (10-3A) الدوال الترموديناميكية  $\Delta G$ ،  $\Delta H$  و  $\Delta S$  لإزالة الصبغتين Remazol Brilliant blue و Malachite green على سطح صخور البورسيلينات العراقية في درجات حرارة مختلفة

298 K			
Adsorbate	$\Delta G$ (kJ/mol)	$\Delta H$ (kJ/mol)	$\Delta S$ ( J/mol. k)
RBB	-6.9917	-18.0496	-37.10
MG	-1.5313	0.0249	5.22
308 K			
Adsorbate	$\Delta G$ (kJ/mol)	$\Delta H$ (kJ/mol)	$\Delta S$ ( J/mol.k)
RBB	-6.7346	-18.0496	-36.70
MG	-2.4705	0.0249	8.10
318 K			
Adsorbate	$\Delta G$ (kJ/mol)	$\Delta H$ (kJ/mol)	$\Delta S$ (J/mol.k)
RBB	-6.2262	-18.0496	-37.10
MG	-3.3201	0.0249	10.50
328 K			
Adsorbate	$\Delta G$ (kJ/mol)	$\Delta H$ (kJ/mol)	$\Delta S$ (J/mol.k)
RBB	-5.9721	-18.0496	-36.80
MG	-4.1812	0.0249	12.80

نلاحظ من الجدول (A 3-10) ان قيم  $\Delta G$  السالبة عند مدى درجات الحرارة (298 - 328 K)، يدل على أن امتزاز صبغة Remazol Brilliant blue و صبغة Malachite green على السطح الماز هي عملية تلقائية و ان قيمة انثالبي الامتزاز  $\Delta H$  السالبة عند امتزاز صبغة Remazol Brilliant blue والتي تشير الى ان نوع الامتزاز باعث للحرارة Exothermic اما القيمة الموجبة لانثالبي الامتزاز  $\Delta H$  لامتزاز صبغة (Malachite green) على السطح الماز والتي تشير الى ان نوع الامتزاز ماص للحرارة Endothermic في بداية الامتزاز ثم تتغلغل المادة الممتزة داخل مسام السطح بزيادة درجة الحرارة .

ان قيمة الانتروبي السالبة تشير إلى نقصان في العشوائية عند التماس بين السطح الماز والمحلول، اما قيمة الانتروبي الموجب تشير إلى زيادة اضطراب النظام بسبب فقدان الماء الذي يحيط بجزيئات الصبغة عند امتزاز صبغة Malachite green على سطح صخور البورسيلينات العراقية . ويمكن أن يقترح أن القوة الدافعة لعملية الامتزاز هذه تأثر الانتروبي والتفاعل بين الجزيئات تسبب عشوائية من النظام الكلي [98].

**3B- إزالة صبغتي Remazol Brilliant blue و Malachite green من محاليلها المائية على سطح صخور البورسيلينات المحور (بوليمر بورسيلينات – ميلامين – فورمالديهايد)**

**Removal of Remazol Brilliant blue And Malachite green Dyes from aqueous solutions by on Porcelanite-Melamine-Formaldehyde Polymer (PMFP)**

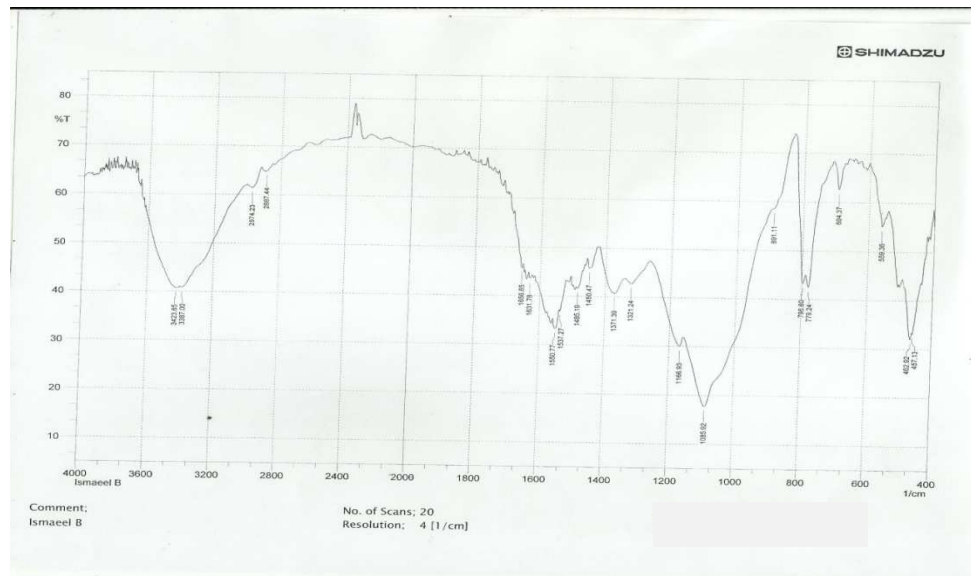
### **(1-3B) تشخيص السطح Characterization Adsorbent**

تم تشخيص سطح صخور البورسيلينات المحور PMFP بواسطة جهاز مطيافية الأشعة تحت الحمراء FT-IR وجهاز حيود الأشعة السينية X-RD ومجهر الماسح الإلكتروني SEM ومجهر القوى الذرية AFM .

### **(1-1-3B) تشخيص طيف الأشعة تحت الحمراء**

#### **Characterization of FT-IR**

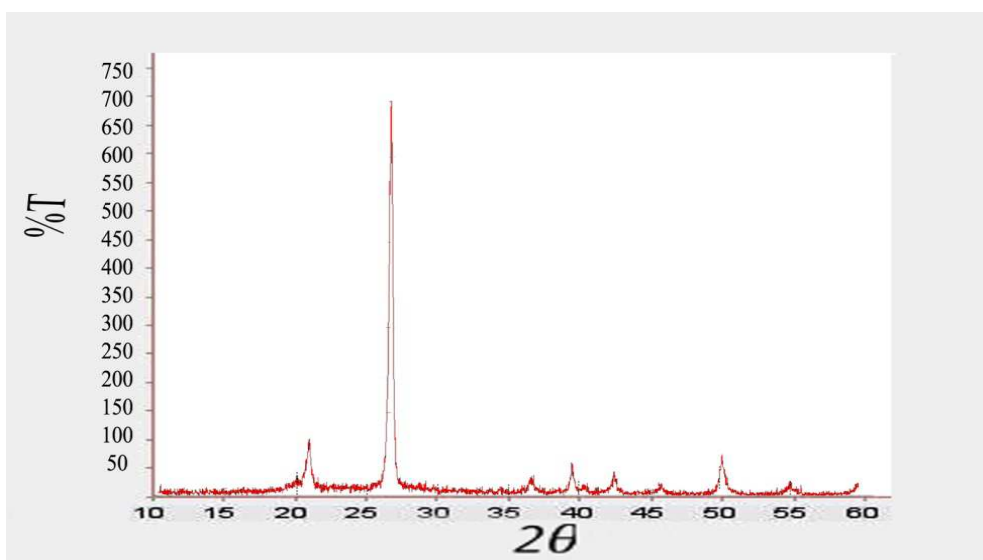
ويبين الشكل (1-3B) أطيف الأشعة تحت الحمراء للسطح ألاماز PMFP ظهور حزمتين ضعيفتين للاصرة ضمن المدى (  $3132-3407 \text{ cm}^{-1}$  ) يعزى إلى التمدد الاهتزازي الغير متماثل والمتماثل من مجموعة (-NH<sub>2</sub>) و ظهور الحزمة الواسعة في  $3423 \text{ cm}^{-1}$  بسبب تمدد الاهتزاز لمجموعة الهيدروكسيل والحزمة الأخرى في  $3387 \text{ cm}^{-1}$  تنتمي إلى تمدد الاهتزاز لمجموعة (-NH) ، من هذه الحقيقة يمكن القول أن هناك رد فعل حدث بين المركبين الميلامين والفورمالديهايد [102]، نتيجة ظهور حزمتين الأولى في  $2979 \text{ cm}^{-1}$  المخصصة للاهتزاز غير المتماثل لمجموعة الميثيلين (CH<sub>2</sub>) والحزمة الثانية في  $2887 \text{ cm}^{-1}$  المخصصة لتمدد الاهتزازي المتماثل لهذه المجموعة. الحزمة في  $1631 \text{ cm}^{-1}$  تعزى إلى الانحناء اهتزازي لمجموعة (NH) ، في حين أن الاصرتين عند  $1550 \text{ cm}^{-1}$  و  $1537 \text{ cm}^{-1}$  المخصصة لتمدد اهتزاز (C = N) داخل حلقة الميلامين. الحزمة الضعيفة في  $1450 \text{ cm}^{-1}$  (CH<sub>2</sub>) والحزمة الضعيفة الأخرى عند  $1371 \text{ cm}^{-1}$  تنتمي إلى الانحناء المتماثل لهذه المجموعة [103] .



الشكل (1-3B) طيف الأشعة تحت الحمراء FT-IR للسطح ألاماز PMFP .

### Characterization of X-RD تشخيص حيود الأشعة السينية (2-2-3B)

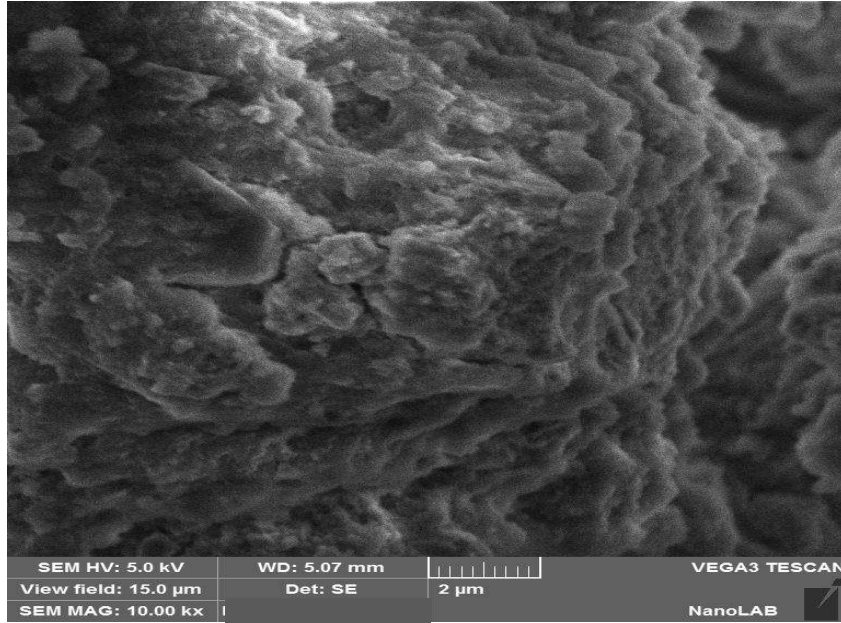
طيف X-RD الموضح في الشكل (2-3B) يظهر الحفاظ على الهيكل بعد التحوير لأن جميع القمم في عينة السطح المحور أوسع وكثافتها أقل عند مقارنتها مع سطح صخور البورسيلينات العراقية ، التي قد تشير إلى تغيير في حجم البلورة لعينة السطح المحور.



شكل (2-3 B) طيف X-RD للسطح ألاماز PMFP

**Characterization of SEM تشخيص مجهر المسح الالكتروني (3-1-3B)**

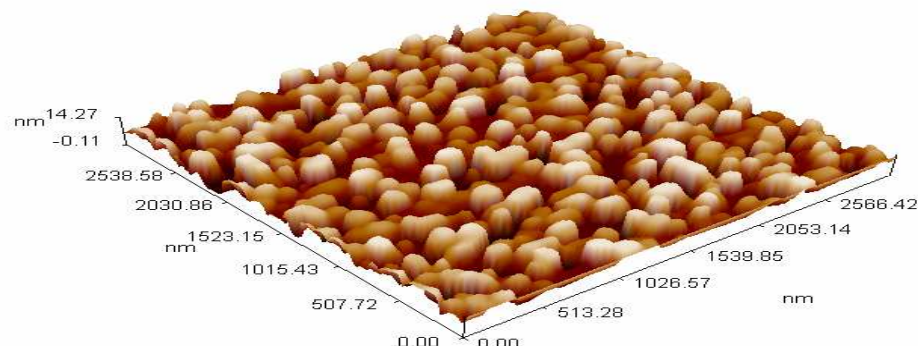
تم تصوير مورفولوجيا السطح (PMFP) باستخدام مجهر المسح الالكتروني (SEM). يظهر الشكل (3-3B) وجود بلورات صغيرة جدا نانو التي ترتبط معاً لتشكل جزيئات كبيرة ذات مساحة سطحية كبيرة ومسامية كبيرة تسهم بشكل فعال في زيادة نسبة الإزالة للامتزاز.



شكل (3-3B) صورة SEM للسطح ألاماز PMFP

**Characterization of AFM تشخيص مجهر القوة الذرية (4-1-3 B)**

هو ميكروسكوب ذو قدرة تحليلية عالية تصل إلى اجزاء من النانومتر حيث انه يفوق حد تكبير الميكروسكوبات الضوئية بأكثر من 1000 مرة ويظهر صورة ثنائية وثلاثية الابعاد. [99] وكما موضح في الشكل (4-3 B) صورة ثلاثية الابعاد لسطح صخور البورسيلينات المحورة (بوليمر بورسيلينات – ميلامين – فورمالديهايد) يتضح ان عملية البلمرة للسطح المحور تزيد من تجانس السطح مما يؤدي الى تقليل التشتت و زيادة المساحة السطحية للامتزاز مما يزيد من نسبة الازالة للصبغات الملوثة.



شكل (4-3 B) صورة AFM للسطح ألاماز PMFP.

**(2-3B) : دراسة العوامل المؤثرة على إزالة صبغتي Remazol Brilliant blue و Malachite gree من المحاليل المائية باستخدام صخور البورسيلينات المحورة .**

**Study the Factors Influencing on Removal of Remazol Brilliant blue and Malachite green Dyes from aqueous Solutions using the PMFP .**

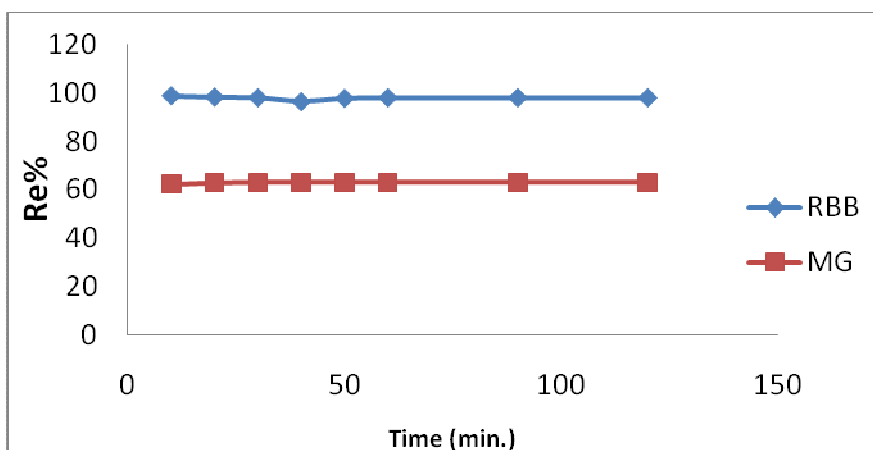
ويشمل هذا الجزء مختلف التحقيقات التي يمكن أن توضح جميع العوامل التي تؤثر على استخدام السطح الماز PMFP في إزالة صبغتي Remazol Brilliant blue و Malachite green من المحاليل المائية . و كذلك دراسة إيزوثيرمات الامتزاز، والنماذج النظرية التي تصف إيزوثيرمات والدوال الترموديناميكية لعملية الامتزاز.

**Equilibrium time زمن الاتزان (1-2-3B)**

ان زمن الاتزان من العوامل المؤثرة على كمية الامتزاز وسعة الامتزاز لذلك تمت دراسة زمن الاتزان بين السطح الماز ( صخور البورسيلينات المحورة) و صبغتي Remazol Brilliant blue و Malachite green باستخدام وزن مقداره 0.0100 g و 0.0200 g من السطح الماز وتركيز مقداره  $40.0000 \mu\text{g} \cdot \text{ml}^{-1}$  و  $6.0000 \mu\text{g} \cdot \text{ml}^{-1}$  من الصبغتين على التوالي وعند درجة حرارة مقدارها 298 K وباستخدام ازمان مختلفة ضمن المدى (10-120) min. تبين النتائج الموضحة في الجدول (1- 3B) و الشكل (5-3 B) ان الزمن 10 min. هو أفضل زمن اتزان لصبغتي Remazol Brilliant blue و Malachite green حيث أعطى أفضل نسبة إزالة لذلك تم تثبيتها في التجارب اللاحقة .

**جدول (1-3B) النسب المئوية لإزالة صبغتي Remazol Brilliant blue و Malachite green من المحاليل المائية باستخدام سطح صخور البورسيلينات العراقية المحورة وعند درجة حرارة 298 K .**

Adsorbate	Time/min.	Removal% = $\left(\frac{C_0 - C_t}{C_0}\right) \times 100$
<b>RBB</b>	10	98.88
	20	98.33
	30	98.05
	40	96.38
	50	97.77
	60	98.05
	90	98.05
	120	98.05
<b>MG</b>	10	62.37
	20	62.77
	30	62.97
	40	62.97
	50	62.97
	60	62.97
	90	62.97
	120	62.97



شكل (5-3B) يوضح زمن الاتزان لصبغتي Remazol Brilliant blue و Malachite green على سطح البورسيلينات المحور PMFP

### (2-2-3B) أيزوثيرمات الامتزاز The Adsorption Isotherms

تم دراسة امتزاز صبغتي Remazol Brilliant blue و Malachite green على سطح صخور البورسيلينات المحور . و تم الحصول على ايزوثيرمات الامتزاز كما موضحة في الجدول (2-3B) عند درجات حرارية مختلفة ضمن المدى (298 - 328 K) وعند الظروف الفضلى لكلا الصبغتين .

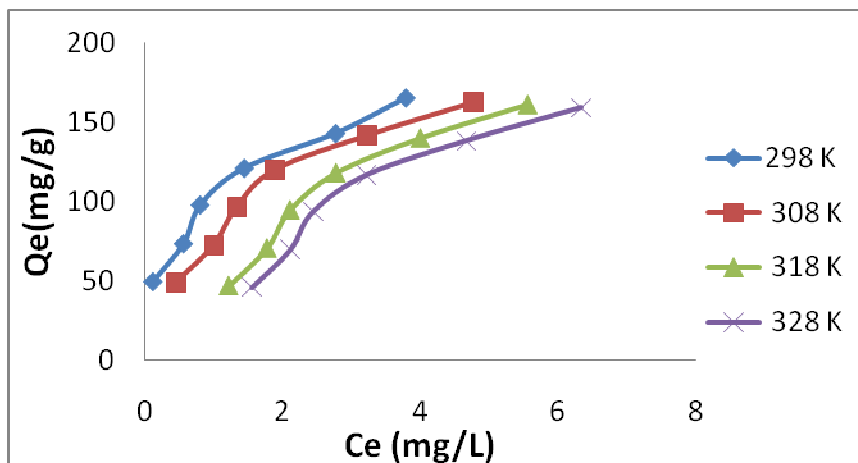
تم حساب السعة الوزنية للامتزاز ( $Q_e$ ) من المعادلة التي سبق ذكرها في الفقرة (2-9) . ان رسم العلاقة بين السعة الوزنية ( $Q_e$ ) و التركيز عند الاتزان ( $C_e$ ) للمادة المازة يعطي الاشكال العامة لايزوثيرمات الامتزاز عند الاتزان كما مبين في الشكلين (6-3B) و (7-3B).



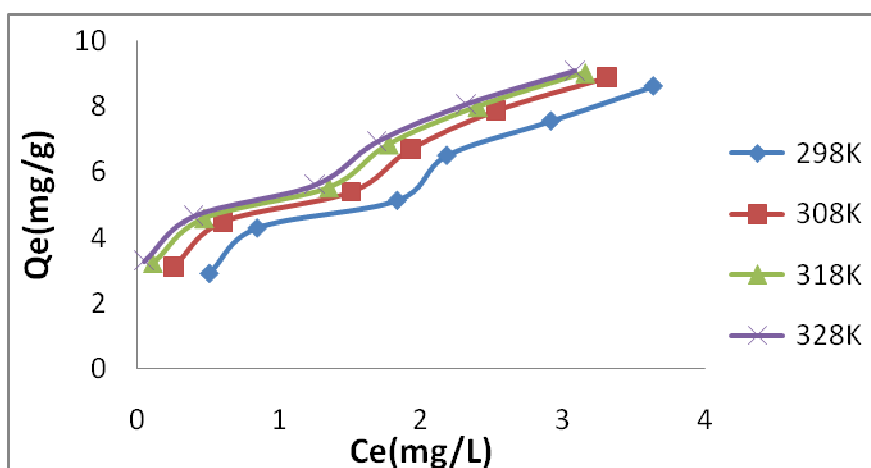
جدول (2-3B) قيم سعة الامتزاز للصبغتين Malachite و Remazol Brilliant blue

green على سطح صخور البورسلينات المحور PMFP في درجات حرارة مختلفة.

Tem.	298 K			308 K		318 K		328 K	
Adsorbate	C <sub>o</sub>	C <sub>e</sub>	Q <sub>e</sub>	C <sub>e</sub>	Q <sub>e</sub>	C <sub>e</sub>	Q <sub>e</sub>	C <sub>e</sub>	Q <sub>e</sub>
	(mg/L)	(mg/L)	(mg/g)	(mg/L)	(mg/g)	(mg/L)	(mg/g)	(mg/L)	(mg/g)
RBB	20	0.11	49.72	0.44	48.89	1.22	46.94	1.55	46.11
	30	0.55	73.61	1.00	72.50	1.66	70.83	2.11	69.72
	40	1.00	97.50	1.33	96.66	1.77	95.55	2.44	93.89
	50	1.44	121.39	1.88	120.27	2.55	118.61	3.22	116.94
	60	2.77	143.05	3.22	142.50	4.00	140.00	4.66	138.33
	70	3.80	165.50	4.77	164.44	5.55	161.11	6.33	159.16
MG	4	0.51	2.90	0.25	3.11	0.11	3.23	0.05	3.28
	6	0.84	4.29	0.65	4.45	0.47	4.60	0.40	4.66
	8	1.83	5.13	1.51	5.40	1.35	5.53	1.25	5.61
	10	2.18	6.51	1.93	6.72	1.77	6.85	1.69	6.92
	12	2.92	7.56	2.53	7.88	2.40	7.99	2.31	8.06
	14	3.64	8.63	3.31	8.90	3.16	9.03	3.08	9.09



شكل (6-3 B) أيزوثيرمات الامتزاز لصبغة Remazol Brilliant blue عند PH=6.7 باستخدام (0.0100 g) من سطح صخور البورسيلينات المحور وزمن اتزان مقداره (10 min.) عند درجات حرارية مختلفة .



شكل (7-3B) أيزوثيرمات الامتزاز لصبغة Malachite green عند PH=8.5 باستخدام (0.0300 g) من سطح البورسيلينات المحور وزمن اتزان مقداره (10 min.) وعند درجات حرارية مختلفة .

إن دراسة أيزوثيرمات الامتزاز تعطي معلومات مهمة في وصف عملية الامتزاز وظروفها ومعرفة سعة الامتزاز للمادة الممتزة مع تركيزها عند حصول عملية الامتزاز.

إن الشكل العام لايوثيرم الصبغتين Remazol Brilliant blue و Malachite green على السطح ألاماز PMFP في الشكلين (6-3B) و (7-3 B) ، يتوافق بصورة عامة مع الصنف

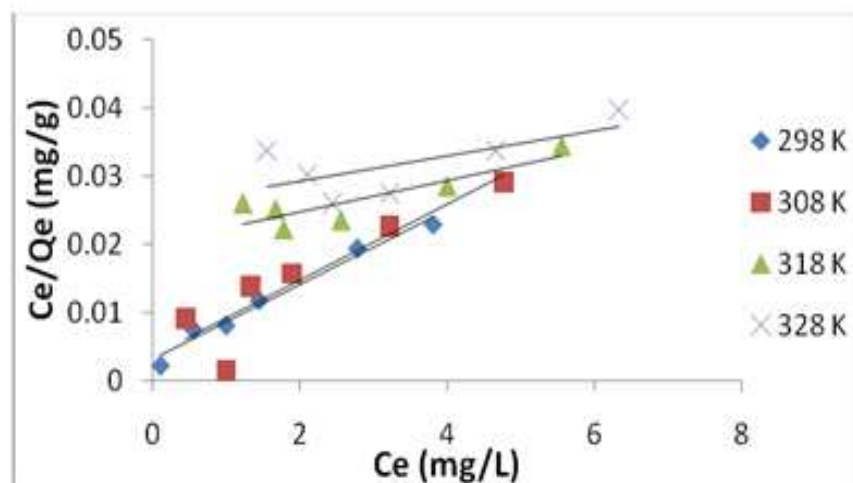
(S<sub>4</sub>-Type) حسب تصنيف (Giles) والذي يشير الى إن توجه المواقع الفعالة على سطح صخور البورسيلينات العراقية يكون مائلاً أو عمودياً والى انجذاب عالي للصبغتين على السطح .

طبقت البيانات التجريبية لازالة صبغة Remazol Brilliant blue و صبغة Malachite green على معادلة لانكماير ومعادلة فريندلش لمعرفة مدى انطباقها على افتراضات هاتين المعادلتين .

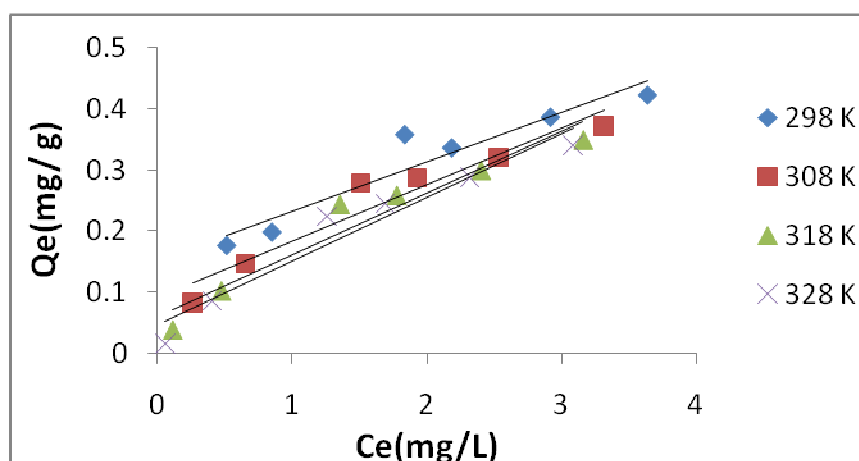
يظهر من بيانات الجدول (3-3 B) و الشكل (8-3B) استبعاد معادلة لانكماير في ميكانيكية الامتزاز لعدم وجود علاقة خطية (Ce/Qe) وقيم (Ce) في حين ان بيانات الاتزان اظهرت انطباق معادلة فريندلش بشكل واضح عند رسم log Qe مقابل قيم log Ce الجدول (4-3 B) مقارنة مع معادلة لانكماير وكما يظهره الشكل (9-3 B).

**جدول (3-3B) البيانات الخاصة بامتزاز صبغة Remazol Brilliant blue و صبغة Malachite green على سطح صخور البورسيلينات المحورة PMFP بدرجات حرارية مختلفة على وفق تطبيق معادلة لانكماير.**

Temp.	298 K		308 K		318 K		328 K	
	Ce (mg/L)	Ce/Qe (g/L)	Ce (mg/L)	Ce/Qe (g/L)	Ce (mg/L)	Ce/Qe (g/L)	Ce (mg/L)	Ce/Qe (g/L)
<b>RBB</b>	0.111	0.002	0.444	0.009	1.222	0.026	1.555	0.033
	0.555	0.007	1.000	0.001	1.666	0.025	2.111	0.030
	1.000	0.008	1.333	0.013	1.777	0.022	2.444	0.026
	1.444	0.011	1.888	0.015	2.555	0.023	3.222	0.027
	2.777	0.019	3.222	0.022	4.000	0.028	4.666	0.033
	3.800	0.022	4.777	0.029	5.555	0.034	6.333	0.039
<b>MG</b>	0.510	0.175	0.257	0.082	0.113	0.039	0.053	0.016
	0.848	0.197	0.655	0.147	0.474	0.103	0.402	0.086
	1.836	0.357	1.510	0.279	1.354	0.244	1.257	0.223
	2.185	0.335	1.932	0.287	1.775	0.259	1.691	0.244
	2.920	0.385	2.534	0.321	2.402	0.300	2.318	0.287
	3.643	0.422	3.318	0.372	3.161	0.350	3.089	0.339



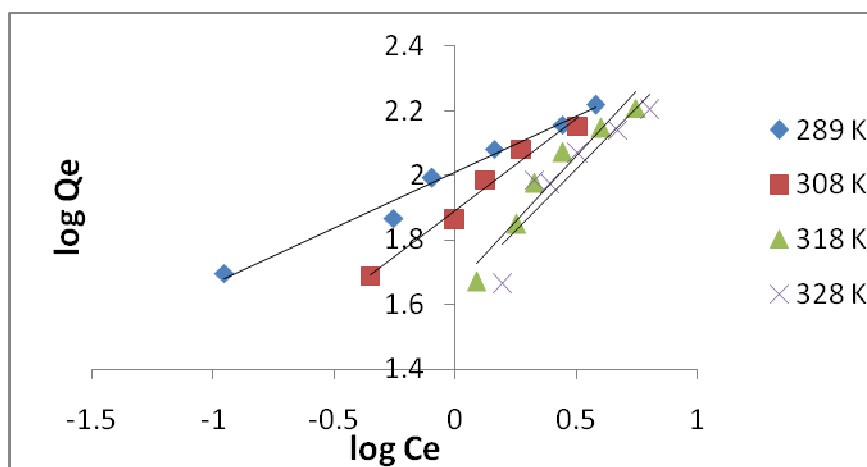
شكل (8-3B) ايزوثيرم لانكماير لامتزاز صبغة Remazol Brilliant blue على سطح صخور البورسيلينات المحور PMFP عند درجات حرارية مختلفة .



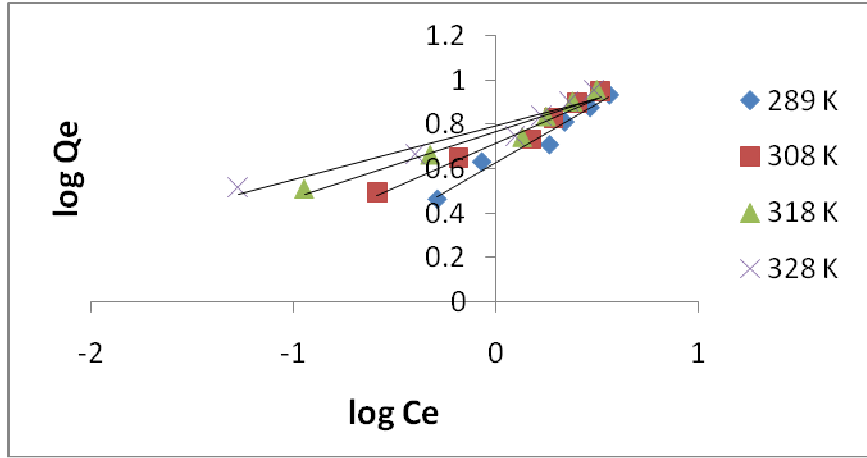
شكل (9-3B) ايزوثيرم لانكماير لامتزاز صبغة Malachite green على سطح صخور البورسيلينات المحور PMFP عند درجات حرارية مختلفة .

جدول (4-3B) البيانات الخاصة بامتزاز صبغة Remazol Brilliant blue و صبغة Malachite green على سطح صخور البورسيلينات المحور PMFP بدرجات حرارية مختلفة على وفق تطبيق معادلة فريندلش.

Temp.	298 K		308 K		318 K		328 K	
Adsorbate	LogCe	LogQe	LogCe	LogQe	LogCe	LogQe	LogCe	LogQe
RBB	-0.954	1.696	-0.352	1.689	0.087	1.671	0.191	1.663
	-0.255	1.866	0.000	1.860	0.249	1.848	0.324	1.985
	-0.096	1.991	0.124	1.985	0.324	1.976	0.388	1.972
	0.159	2.081	0.276	2.080	0.443	2.07	0.508	2.067
	0.443	2.155	0.508	2.152	0.602	2.146	0.668	2.140
	0.579	2.218	0.679	2.212	0.744	2.207	0.801	2.201
MG	-0.291	0.463	-0.588	0.493	-0.946	0.510	-1.275	0.517
	-0.071	0.632	-0.183	0.648	-0.323	0.663	-0.395	0.668
	0.263	0.710	0.179	0.733	0.131	0.743	0.099	0.749
	0.339	0.813	0.286	0.827	0.249	0.835	0.228	0.840
	0.465	0.878	0.403	0.896	0.380	0.902	0.365	0.906
	0.561	0.936	0.520	0.949	0.499	0.955	0.489	0.958



شكل (10-3 B) ايزوثيرم فريندلش لامتزاز صبغة Remazol Brilliant blue على سطح صخور البورسيلينات المحورة PMFP عند درجات حرارية مختلفة .



شكل (11-3 B) ايزوثيرم فريندليش لامتزاز صبغة Malachite green على سطح صخور البورسيلينات المحورة PMFP عند درجات حرارية مختلفة .

حسبت ثوابت الايزوثيرمات (a,b,RL) لأنموذج لانكماير و (n,kf) لأنموذج فريندليش مع معاملات الارتباط الخطية ( $r^2$ ) كما يظهره الجدول (5-3B).

جدول (5-3B) قيم ثوابت لانكماير و فريندلش ومعامل الارتباط لامتزاز صبغة Remazol Brilliant blue و صبغة Malachite green عند درجات حرارية مختلفة .

Adsorbate RBB , MG dyes								
	Temp. K	Langmuir isotherm				Freundlich isotherm		
		a (mg/g)	b (mg/L)	(r <sup>2</sup> )	RL	(Kf)	Slope (n)	(r <sup>2</sup> )
RBB	298	200	1.21	0.97	0.02	2.00	0.34	0.97
	308	200	0.69	0.82	0.03	1.89	0.56	0.97
	318	500	0.11	0.75	0.17	1.65	0.80	0.93
	328	1000	0.04	0.45	0.37	1.63	0.76	0.83
MG	298	12.34	0.62	0.90	0.20	0.62	0.52	0.96
	308	10.86	1.05	0.92	0.13	0.71	0.40	0.97
	318	10.00	1.80	0.93	0.08	0.76	0.29	0.95
	328	9.61	2.34	0.93	0.06	0.79	0.23	0.93

نلاحظ من قيم الميل (Slope) و معامل الارتباط ( $r^2$ ) من النتائج العملية السابقة يفترض أن معادلة فريندلش هي الأكثر انطباقا من معادلة لانكماير على عملية امتزاز الصبغتان (Malachite green, Remazol Brilliant blue) بسبب الإنطباق الخطي الظاهري الافضل لايزثيرم فريندلش في الاشكال السابقة .

اذ ان قيمة (n) في معادلة فرندلش كلما كانت اعظم كانت المفضلة في الامتزاز وذلك لانها تتعلق بطريقة ارتباط جزيئات الصبغة على السطح ألاماز

### (3-2-3) تأثير وزن السطح ألاماز Effect of surface Weight

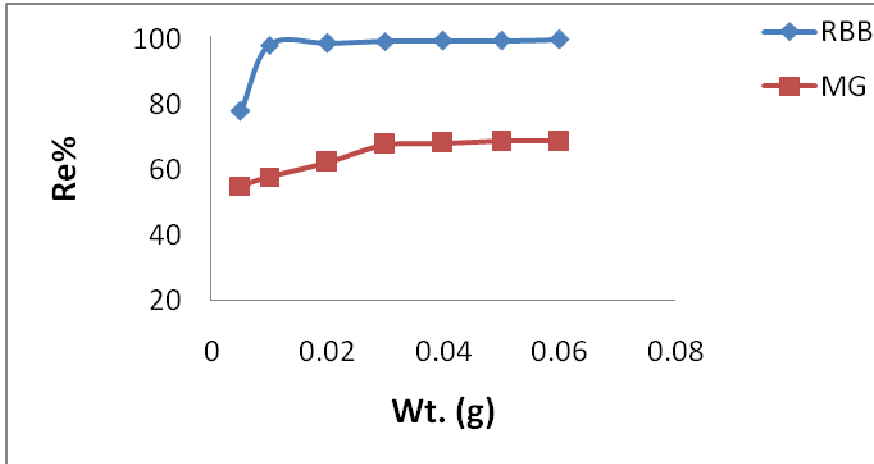
تم دراسة تأثير تغيير الكمية الممتزة على عملية امتزاز صبغتي Remazol Brilliant blue و Malachite green على السطح ألاماز PMFP باستخدام تركيز ثابت  $40.0000 \mu\text{g} \cdot \text{ml}^{-1}$  من صبغة Remazol Brilliant blue و  $6.0000 \mu\text{g} \cdot \text{ml}^{-1}$  من صبغة Malachite green كمادة ممتزة وأوزان مختلفة تراوحت ما بين (0.0300 - 0.0100 g) من سطح البورسيلينات

المحور PMFP عند 298 K . الجدول (6-3B) و الشكل (12-3B) يبين تأثير تغير وزن السطح ألاماز على كمية الامتزاز للصبغتين Remazol Brilliant blue و Malachite green. زادت نسبة الامتزاز مع زيادة كميات السطح ألاماز . الزيادة في نسبة إزالة الصبغات مع زيادة في كمية الممتزات ويرجع ذلك إلى توافر مساحة أكبر مع زيادة عدد المواقع الفعالة (Active Sites) المهياة لامتزاز الصبغة على السطح ومن ثم تزداد كمية الصبغة الممتزة من المحلول فتزداد النسبة المئوية للإزالة ، حتى تصل إلى قيمة محددة تمثل كمية المادة ألامازة في مرحلة الاشباع ولا تتأثر بزيادة وزن السطح ألاماز PMFP ، ان الوزن (0.0300، 0.0100 g) يعطي أفضل نسبة إزالة لصبغتي Remazol Brilliant blue و Malachite green على التوالي لذلك تم استخدامها في التجارب اللاحقة .

**جدول(6-3):قيم النسب المئوية لإزالة محاليل صبغتي Remazol Brilliant blue و Malachite green بأستخدام أوزان مختلفة من سطح البورسيلينات المحور PMFP عند درجة حرارة 298 K .**

Adsorbate	Wt. (g)	Removal% = $\left(\frac{C_0 - C_e}{C_0}\right) \times 100$
<b>RBB</b>	0.0050	78.05
	0.0100	98.33
	0.0200	98.88
	0.0300	99.44
	0.0400	99.72
	0.0500	99.72
	0.0600	99.72
<b>MG</b>	0.0050	55.14
	0.0100	57.95
	0.0200	62.37
	0.0300	67.79
	0.0400	68.19
	0.0500	68.79
	0.0600	68.79





شكل (12-3 B): تأثير وزن سطح البورسيلينات المحور في النسبة المئوية لإزالة صبغتي

Remazol Brilliant blue و Malachite green عند درجة حرارة 298K .

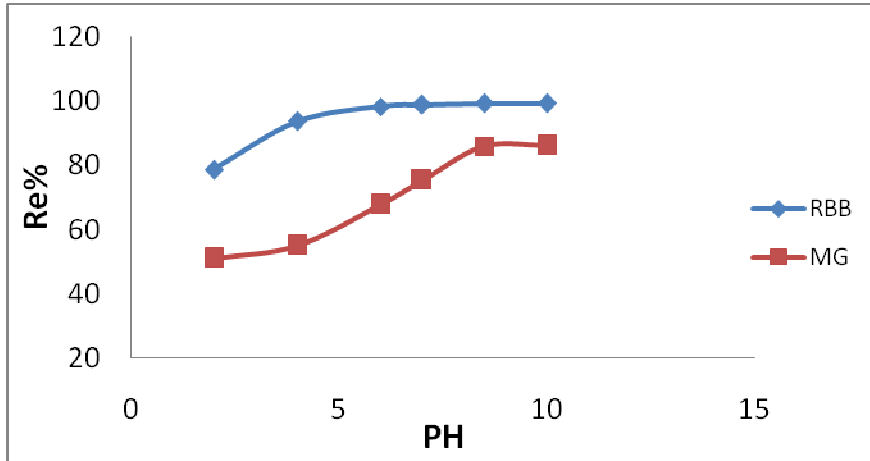
#### (4-2-3B) تأثير الدالة الحامضية Effect of pH

جرت دراسة إزالة الصبغتان Remazol Brilliant blue و Malachite green على سطح صخور البورسيلينات العراقية المحورة في دوال حامضية ضمن المدى (2-10) مختلفة باستعمال تراكيز ثابتة  $40.0000, 6.0000$   $\mu\text{g} \cdot \text{ml}^{-1}$  على التوالي عند درجة حرارة 298K , نتائج الدراسة مبينة في الجدول (7-3B) وممثلة بالشكل (13-3B).

جدول (7-3B) تأثير الدالة الحامضية في النسبة المئوية لإزالة صبغتي Remazol

Brilliant blue و Malachite green عند درجة حرارة 298 K .

Adsorbate	pH	Removal% = $\left(\frac{C_0 - C_e}{C_0}\right) \times 100$
RBB	2	78.61
	4	93.61
	5	98.33
	6.7	98.89
	9	99.16
	10	99.16
MG	2	50.93
	4	54.95
	6	67.80
	7	75.23
	8.5	85.86
	10	86.08



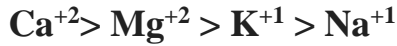
شكل (3B-13): تأثير تغير الدوال الحامضية على نسبة إزالة صبغتي Remazol Brilliant blue و Malachite green على سطح صخور البورسيلينات المحور PMFP وعند درجة حرارة 298 K .

إذ أظهرت النتائج أن كمية أمتزاز صبغتي Remazol Brilliant blue و Malachite green على سطح صخور البورسيلينات المحور PMFP تقل في الوسط الحامضي وتزداد في الوسط القاعدي كما هو الحال على سطح صخور البورسيلينات العراقية لكن بنسب مئوية أعلى حيث نلاحظ زيادة قليلة في كمية الامتزاز لصبغة Remazol Brilliant blue في الوسط القاعدي لذلك تم اختيار الدالة الحامضية للصبغة بدون اضافة (pH=6.7) وقد اعتمدت هذه القيمة كدالة حامضية لأنظمة الامتزاز في عموم تجارب الرسالة ، بينما نلاحظ زيادة ملحوظة في كمية الامتزاز بزيادة الدالة الحامضية للصبغة Malachite green تصل النسبة المئوية للإزالة الى 85.86% عند pH=8.5 وقد اعتمدت هذه القيمة كدالة حامضية لأنظمة الامتزاز في عموم تجارب الرسالة.

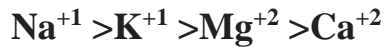
### (5-2-3B) تأثير الشدة الأيونية Effect of Ionic Strength

تشير نتائج دراسة تأثير الشدة الأيونية على امتزاز صبغتي Remazol Brilliant blue و Malachite green على سطح صخور البورسيلينات العراقية المحورة إلى نقصان سعة الامتزاز مع زيادة الشدة الأيونية والتي ربما تعزى إلى أن ذوبانية الصبغة أعلى من ذوبانية الملح المستخدم في زيادة الشدة الأيونية وهذا العامل بدوره يجعل من منافسة ايونات الأملاح المستخدمة على الارتباط مع السطح أكثر مما هو للصبغة وبذا تقل سعة امتزاز الصبغة. وكذلك تشير نتائج الدراسة إلى اختلاف تأثير الأملاح المستخدمة المختلفة في الشحنة و الحجم على الصبغتين إذ نلاحظ أنه كلما يكون الايون أكبر شحنة وأكبر حجم يتداخل أكثر في الامتزاز

مع صبغة Remazol Brilliant blue حسب الترتيب التالي :



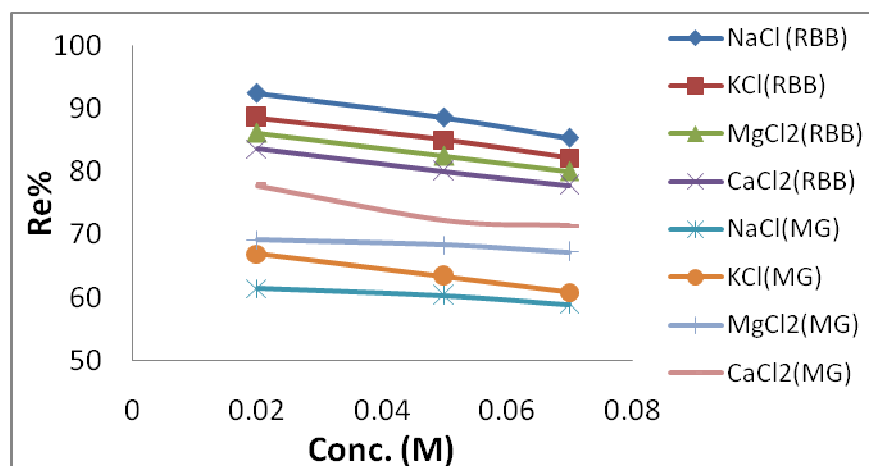
حيث تكون النسبة المئوية للإزالة لصبغة Remazol Brilliant blue مع ملح كلوريد الصوديوم أعلى من النسبة المئوية مع ملح كلوريد الكالسيوم ، بينما يكون تأثير هذه الأملاح مع صبغة Malachite green على العكس تماما من صبغة Remazol Brilliant blue ويكون ترتيب تأثير الايونات على النحو التالي :



ويكون تأثير تركيز هذه الأملاح على الصبغتين حيث كلما كانت زيادة في تركيز الملح يقابلها نقصان في النسبة المئوية للإزالة كما موضح في بيانات الدراسة في الجدول (8-3B) و الشكل (14-3B).

جدول (8-3B): تأثير الشدة الأيونية في النسبة المئوية لإزالة صبغتي Remazol Brilliant blue عند pH=6.7 و Malachite green عند pH=8.5 و عند درجة حرارة 298 K .

RBB	التركيز المولاري للملح	النسب المئوية للإزالة			
		NaCl	KCl	MgCl <sub>2</sub>	CaCl <sub>2</sub>
RBB	0.02	92.50	88.61	86.11	83.61
	0.05	88.61	85.00	82.50	80.00
	0.07	85.27	82.22	80.00	77.77
MG	0.02	61.39	66.94	69.16	77.78
	0.05	60.28	63.33	68.33	72.22
	0.07	58.89	60.83	67.22	71.39



شكل (14-3B): تأثير الشدة الأيونية في النسبة المئوية لإزالة صبغتي Remazol Brilliant blue عند pH=6.7 و Malachite green عند pH=8.5 وعند درجة حرارة 298 K.

### (6-2-3) تأثير درجة الحرارة Effect of Temperature

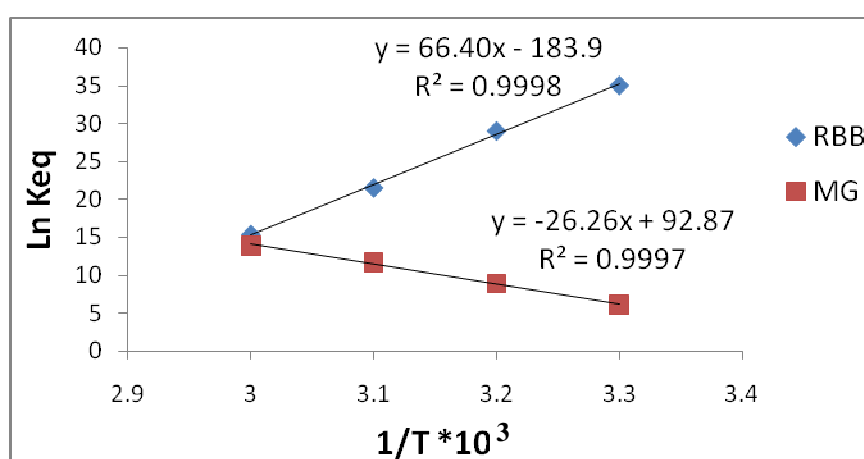
ان دراسة تأثير درجة الحرارة في عملية الامتزاز يمكننا من تعيين قيم الدوال الترموديناميكية (الطاقة الحرة  $\Delta G$ , الانثالبي  $\Delta H$ , الانتروبي  $\Delta S$ ) لاهمية هذه الدوال في فهم عملية الامتزاز.

العلاقة  $(\ln K_{eq})$  مقابل  $(1/T)$  يجب أن تنتج خط مستقيم مع الميل  $(-\Delta H / R)$

كما هو مبين في الشكل (15-3B)

جدول (9-3B): قيم ثابت التوازن لازالة صبغتي Remazol Brilliant blue و Malachite green باستخدام صخور البورسيلينات المحورة PMFP في درجات حرارة مختلفة.

Adsorbate	Ln Keq	T (K)	1/T (K <sup>-1</sup> )
RBB	3.55	298	0.0033
	3.36	308	0.0032
	3.06	318	0.0031
	2.73	328	0.0030
MG	1.80	298	0.0033
	2.18	308	0.0032
	2.45	318	0.0031
	2.63	328	0.0030



شكل (15-3B): قيم LnKeq مقابل  $1/T * 10^3$  لامتماز صبغة Remazol Brilliant blue و صبغة Malachite green على سطح البورسيلينات المحور PMFP.

ويبين الجدول (10-3B) الدوال الترموديناميكية الحرارية  $\Delta G$  و  $\Delta H$  و  $\Delta S$  لإزالة صبغتي Remazol Brilliant blue و Malachite green من سطح البورسيلينات المحورة PMFP عند درجات حرارة مختلفة التي تم حسابها من خلال المعادلات المذكورة في الفقرة (6-2-3A).

جدول (10-3B): الدوال الترموديناميكية  $\Delta G$ ،  $\Delta H$  و  $\Delta S$  لإزالة صبغتي Remazol Brilliant blue و Malachite green من محاليلها المائية باستخدام سطح البورسيلينات المحور PMFP في درجات حرارة مختلفة.

298 K			
Adsorbate	$\Delta G$ (kJ/mol)	$\Delta H$ (kJ/mol)	$\Delta S$ (J/mol.K)
RBB	-9.6422	-0.5520	3.05
MG	-4.4695	0.2183	1.57
308 K			
Adsorbate	$\Delta G$ (kJ/mol)	$\Delta H$ (kJ/mol)	$\Delta S$ ( J/mol.K)
RBB	-8.6233	-0.5520	2.62
MG	-5.3736	0.2183	1.81
318 K			
Adsorbate	$\Delta G$ (kJ/mol)	$\Delta H$ (kJ/mol)	$\Delta S$ (J/mol.K)
RBB	-7.6338	-0.5520	2.22
MG	-6.4895	0.2183	2.10
328 K			
Adsorbate	$\Delta G$ (kJ/mol)	$\Delta H$ (kJ/mol)	$\Delta S$ ( J/mol.K)
RBB	-7.4506	-0.5520	2.10
MG	-7.1790	0.2183	2.25

نلاحظ من الجدول اعلاه ان قيم  $\Delta G$  السالبة عند مدى درجات الحرارة (298-328 K)، يدل على أن امتزاز صبغتي Remazol Brilliant blue و Malachite green على السطح الماز PMFP هي عملية تلقائية وأن قيمة انثالبي الامتزاز  $\Delta H$  لسطح البورسيلينات المحور قيمة سالبة عند امتزاز صبغة Remazol Brilliant blue التي تشير الى ان نوع الامتزاز باعث للحرارة Exothermic، أما القيمة الموجبة لانثالبية الامتزاز  $\Delta H$  لامتزاز صبغة (Malachite green) على السطح الماز والتي تشير الى ان نوع الامتزاز ماص للحرارة Endothermic في بداية الامتزاز ثم تتغلغل المادة الممتزة داخل مسام السطح بزيادة درجة الحرارة .

أما قيمة الإنتروبي الموجب تشير الى زيادة اضطراب النظام بسبب فقدان الماء الذي يحيط بجزيئات الصبغة عند امتزاز صبغتي Remazol Brilliant blue و Malachite green على سطح PMFP. ويمكن أن يقترح أن القوة الدافعة لعملية الامتزاز هذه تأثر الإنتروبي والتفاعل بين الجزيئات تسبب عشوائية من النظام الكلي .

**(2-3) مقارنة بين سطح صخور البورسيلينات العراقية وشكلها المحور ( بوليمر بورسيلينات – ميلامين – فورمالديهايد ) في ازالة صبغتي Remazol Brilliant blue و Malachite green من محاليلها المائية .**

**Comparison between Iraqi Porcelanite rocks and modified form o f this rocks( porcelanite – melamine – formaldehyde polymer) for removing Remazol Brilliant blue and Malachite green dyes from aqueous solution**

تمت دراسة إزالة صبغتي Remazol Brilliant blue و Malachite green على سطح صخور البورسيلينات العراقية وشكلها المحور ، تمت المقارنة بين العوامل المؤثرة لعملية الامتزاز على أفضلية استخدام كلا السطحين لامتزاز صبغتي Remazol brilliant blue و Malachit green وقد وجد أن امتزاز صبغتي Remazol brilliant blue و Malachit green على الشكل المحور لصخور البورسيلينات كانت أفضل من صخور البورسيلينات العراقية وذلك من خلال استخدام زمن اتزان اقل و كمية السطح الماز المستخدمة اقل ويعطي

نسبة إزالة أعلى لكلا الصبغتين مما يوفر ظروف اقتصادية أفضل مقارنة بسطح صخور البورسيلينات العراقية كما موضح في الجدول (11-3 B) .

جدول ( 11-3B): مقارنة بين سطح صخور البورسيلينات العراقية وشكلها المحورفي إزالة صبغتي Remazol Brilliant blue و Malachite green من محاليلها المائية .

العوامل المؤثرة	صخور البورسيلينات العراقية		الشكل المحور PMFP	
	صبغة RBB	صبغة MG	صبغة RBB	صبغة MG
زمن الاتزان	20	30	10	10
وزن السطح الماز	0.0600g	0.0500g	0.0100g	0.0300g
الدالة الحامضية	6.7	8.5	6.7	8.5
الشدة الايونية	تقل ساعة	تزداد ساعة	تقل ساعة	تزداد ساعة
	الامتزاز بزيادة	الامتزاز بزيادة	الامتزاز بزيادة	الامتزاز بزيادة
	تركيز وحجم وشحنة الايون	تركيز و حجم وشحنة الايون	تركيز وحجم وشحنة الايون	تركيز وحجم وشحنة الايون
درجة الحرارة	التفاعل تلقائي باعث للحرارة	التفاعل تلقائي ماص للحرارة	التفاعل تلقائي باعث للحرارة	التفاعل تلقائي ماص للحرارة
$\Delta G$ at 298K (kJ/mol)	-6.9917	-1.5313	-9.6422	-4.4695
$\Delta H$ at 298K (kJ/mol)	-18.0496	0.0249	-0.5520	0.2183
$\Delta S$ at 298K (J/mol.K)	-37.1000	5.2000	3.0500	1.5700
شكل الايزوثيرم	شكل S	شكل S	شكل S	شكل S
نموذج الايزوثيرم	نموذج فريندلش	نموذج فريندلش	نموذج فريندلش	نموذج فريندلش
أعلى نسبة إزالة	94.39%	88.67%	98.33%	93.29%



## 3-3 الاستنتاجات

## Conclusion

- استنادا الى البيانات التجريبية للدراسة يمكن وضع الاستنتاجات الاتية :-
1. إمكانية استخدام سطح صخور البورسيلينات العراقية المتوفرة بكميات كبيرة اقتصادية وشكلها المحور في ازالة صبغتي RBB و MG من محاليلها المائية .
  2. كفاءة الازالة للصبغتين RBB و MG تتأثر بالعوامل ( زمن الاتزان ، تركيز الصبغة ، كمية السطح الماز ، الدالة الحامضية ، الشدة الايونية ، درجة الحرارة )
  3. أظهرت بيانات الاتزان للصبغتين انها تتفق بشكل جيد مع ايزوثيرمات فرندلش . وشكل الايزوثيرم للصبغة يأخذ شكل حرف S طبقا لتصنيف جيلز .
  4. عملية الازالة للصبغة تلقائية باعثة للحرارة ونقصان في العشوائية بدلالة قيم الدوال الترموديناميكية .
  5. عملية الازالة لصبغة Remazol brilliant blue تلقائية باعثة للحرارة ونقصان في العشوائية بدلالة قيم الدوال الترموديناميكية . منه تبين إن عملية امتزاز صبغة Remazol brilliant blue على سطح البورسيلينات العراقية وشكلها المحور هي عملية تلقائية ، باعثة للحرارة من قيم التغير في طاقة جيبس الانثالي السالبة . وإن قيمة  $\Delta S$  السالبة تشير إلى نقصان في العشوائية عند التماس بين السطح و المحلول ، إما بالنسبة لقيمة  $\Delta S$  الموجبة عند امتزاز صبغة Remazol brilliant blue على سطح صخور البورسيلينات المحور تشير الى زيادة في العشوائية عند التماس بين السطح و المحلول .
  - بينما تبين إن عملية امتزاز صبغة Malachit green على سطح البورسيلينات العراقية وشكلها المحور هي عملية تلقائية ، ماصة للحرارة من قيم التغير في طاقة جيبس السالبة وقيمة الانثالي الموجبة . وإن قيمة  $\Delta S$  الموجبة تشير إلى زيادة في العشوائية عند التماس بين السطح و المحلول .
  6. وجد ان امتزاز صبغتي Remazol brilliant blue و Malachit green على الشكل المحور لصخور البورسيلينات كانت اعلى من صخور البورسيلينات العراقية.

**Recommendatio****4-3 التوصيات**

1. نظراً لزيادة مستوى التلوث في العالم سوف يكون من المفيد إجراء دراسات بشكل واسع لقابلية إمتزاز صخور البورسيلينات العراقية وشكلها المحور المستعملة في البحث لكثير من الملوثات العضوية وغير العضوية التي تتواجد في مياه الأنهار ومخلفات المصافي والمعامل.
2. إن المياه الملوثة الخارجة من الوحدات الصناعية تحتوي على انواع اخرى من الاصبغ الملوثة لذا فإن دراسة إمتزاز الانواع الاخرى على سطح صخور البورسيلينات العراقية و شكلها المحور ستكون ذات أهمية في مجالات تنقية المياه.
3. يمكن إستعمال صخور البورسيلينات العراقية وشكلها المحور في دراسة قابليتها لإمتزاز أيونات المعادن الثقيلة السامة وعمل مقارنة في إمتزاز صخور البورسيلينات العراقية وشكلها المحور لأيونات المعادن الثقيلة السامة.
4. دراسة إمكانية استخدام سطوح جديدة ودراسة قابليتها لإزالة هذه الصبغات .

## References

1. S.N. Irving (*Industrial Pollution*), Van Nostrand, Reinhold Company, 203-204 (1974).
2. محمد عبد القادر الفقي، البيئة مشاكلها وقضاياها وحمايتها من التلوث، الهيئة المصرية العامة للكتاب، القاهرة ص 58، 2006 .
3. G. R. Peyton and W. H. Glaz, (*Biochar for Environmental Management*), *Sci. Environ. Technol*, 2<sup>nd</sup> ed., London, (2015).
4. محمد إسماعيل عمر كيميائ البيئة – دار الكتب العلمية القاهرة، ص 440، 2009
5. A. K. Mashhood and M. G. Arsalan, (*Environmental Pollution: Its Effect on Life and its Remedies*), *International Refereed Research Journal*, 2, (2), p 276-285, (2011).
6. B. Zhang, X. Zeng, P. Xu, J. Chen, Y. Xu, G. Luo, M. Xu, and H. Yao, (*Using the Novel Method of Nonthermal Plasma To Add Cl Active Sites on Activated Carbon for Removal of Mercury from Flue Gas*), *Articles ASAP (As Soon As Publishable)*, 37(24), (2016)
7. J. Ren, Q. Zho, D. D. Goe, L. Tao and M. W. Zhang., (*Advanced Material Research*), 1065, 1867-1870 (2015).
8. M. Benadjemia, L. Milliere, L. Reinert, N. Benderdouche and L. Duclaux. (*Preparation, Characterization and Methylene Blue adsorption of Phosphoric acid activated carbons from globe artichoke leaves*). *Fuel Process Tech.* 92(6), 1203-1212, (2011).
9. R.S. Al-khalisy, A.A. Al-Haidary and A.H. Al-Dujaili, (*Aqueous phase Adsorption of Cephalixin on to Bentonite and Activated Carbon*) *Separation Science and Technology*, 45 (9), 1286-1294, (2010).

## References

---

10. Y. k.kova , A.M.Strömvall and B.M Steenari ( Adsorption of Cd, Cu, Ni, Pb, and Zn on Sphagnum peat from Solutions with low metal concentration) ,*Journal of Hazardous Materials, Sweden* , 885-891 (2007) .
11. J.Osick and I.Cooper ,(Adsorption), Journal wiley and Son ,New yourk , 126 ,(1982).
12. C.Bellmann, "Surface Modification by Adsorption of Polymers and Surfactants", *Polymer surfaces and Interfaces*, Springer-Verlag, Berlin, 235–259 , (2008).
13. P.W. Atkins, (Physical Chemistry), 9<sup>th</sup> ed., Oxford University Press, Oxford, 2010.O.
14. G. M. Barrow, "*Physical Chemistry*", 5<sup>th</sup> ed. , Mc Graw-Hill Inc. , New York, 418-424 (1988).
15. N. F. Hasan (*Adsorption-Desorption of paraquat herbicide from aqueous solution by Mg-Bentonite, Mg-Kaolinite and Polyelectrolyte Complex, Cation Exchange Polymer* ) M.Sc., Thesis, Babylon university 2014 .
16. A. H. ALmosawe (*Seath(leef) Powder of Iraqi date palm -New Surface for Removal of lithium(I),Iron(III)and P- ChloroPhenol from their Aqueous Solutions*) , M.Sc., Thesis, Baghdad university 2011 .
17. D.S.Alessandro, *J.Phys.Chem.* ,30(1),2001.

## References

---

18. Y. Liu and Y. J. Liu, (*Biosorption isotherms, kinetics and thermodynamics, Separation and Purification Technology*), 61, 229–242, (2008).
19. O .K .Nagim ,( *Kinetic and thermodynamic study for adsorption of some organic compounds on modified Iraqi clay*), M.Sc., Thesis, , Badhdad University, 2016.
20. L. Lian, L. Guo and C.Guo, (*Adsorption of congo red from aqueous solution on Ca-bentonite*),*J. Hazardous Materials*, 161, 126-131, 2009.
21. R.A .Al-Myali , (*Removal of Azure Dyes Using Iraqi Porcelanite Rocks and Novel PMF Polymer*) M.Sc., Thesis, Kerbala university 2014 .
22. G.D.tuli, A. Bahl and B.S.Bahl, (*Essentials physical chemistry*) , *S.Chand company LtD printed in India* ,843-853,(2012).
23. M. Ladd, (*Introduction to physical Chemisry*), 3<sup>rd</sup> ed. , London, `439, 1998.
24. A.W. Adamson and A.P. Gast, (*Physical Chemistry of Surfaces*), 6<sup>th</sup> ed., *John Wiley and Sons, Inc, NewYork*, 370-430, 599-632,2001.
25. M.I. El-Khaiary,( *Least-squares regression of adsorption equilibrium data: comparing the options*), *J. Hazard. Mater.* 158 , 73–87 (2008).

## References

---

26. D. Mohan and Jr.C.U. Pittman, (*Activated carbons and low cost adsorbents for remediation of tri- and hexavalent chromium from water*), *J. Hazard Mater.* 137 , 762–811 (2006).
27. S.J.Allen, G.Mckay and J.F. Porter, (*Adsorption isotherm models for basic dye adsorption by peat in single and binary component systems*), *J. Colloid Interface Sci.*, 280, 322–333 (2004).
28. A.S.Abdel Salam , G. Al-Zhrania , (*Simultaneous removal of copper(II), lead(II), zinc(II) and cadmium(II) from aqueous solutions by multi-walled carbon nanotubes*), *Comptes Rendus Chimie*, 398–408 ,(2012).
29. N. Dave, N. manyam and S. Sharma , (*Kinetics and thermodynamics of copper ions removal from aqueous solution by use of activated charcoal*), *Indian Journal of Chemical Technology* , 234-239 ,( 2009).
30. B. Prasanna, B. Praveen, N. Hebbar, T. Venkatesha, H. Sachin, K. Chandrappa and S. Abd Hamid , (*The inhibition effect of hydralazine hydrochloride on corrosion of mild steel in hydrochloric acid solution* ), *International Research Journal of Chemistry and Chemical Sciences*, 2(2), 21-25(2015).
31. M.C.S.Reddy,L.Sivaramakrishna and A.V.Reddy,( *The use of an agricultural waste material, Jujuba seeds for the removal of anionic dye (Congo red) from aqueous medium*),*J. Hazardous Materials* ,203,118-127, 2012.

## References

---

32. G. Anaduria, R.S. Juang and D.J. Lee, (*Adsorption of Rhodamine 6G from aqueous solutions on activated carbon*). *Environ.Sci.Health*,36 715-725, 2001.
33. K. S.Knaebel,( *Adsorbent Selection* ), Adsorption Research, Inc., Dublin, Ohio, 43016, 1- 23, (2003)
34. Q. U. Jiuhui, (*Research progress of novel adsorption processes in water purification: A review*). *J. Environ. Sci.*, 20, 1-13,2008.
35. J. A.Schramke, S. F.Murphy, W. J. Doucctte and W. D.Hintze, *Chemosphere* 38(10) , 2381(2001).
36. F.A. Uday, (*Scavenging of Organic and Inorganic Water Pollutants by Iraqi Clay Minerals*) Ph.D. Thesis, University of Baghdad, 2009.
37. V. V. Kutarov, I. Yu, E. V. Tarasevich and R. M. Dlubovskiy, (*Adsorption Equilibrium and Hysteresis in Open Slit-like Micropores*), *Хімія, Фізика Та Технологія ПОВЕРХНІ.*, 4(4), 351-357 (2013) (Ukrainian).
38. Skoog, D. A., and D. M. West, (*Fundamentals of Analytical Chemistry*), 8<sup>th</sup> ed, Rinehart and Winstone, Inc., California (2004).
39. K.Sumanjit, R. Seema and K. M.Rakesh, (*Adsorption Kinetics for the Removal of Hazardous Dye Congo Red by Biowaste Materials as Adsorbents*) *Journal of Chemistry*,2013, 1- 12, (2012).
40. M. Raty, T. Stanton Kenneth, B.K.Hodnett and L.Mitch, Calcite In The Mud Washing Circuit Of The Bayer Process: Experimental solubility And Adsorption., *TMS (The Minerals, Metals & Materials Society)*, (2004).
41. Z.Reddad, C.Gerente, I.Andres, and P. Le Cloirec, (*Adsorption of Several Metal Ions onto a Low-Cost Biosorbent: Kinetic and Equilibrium Studies*), *Environmental Science & Technology*, 36, 2067-2073, (2002).

## References

---

42. B. H.Hameed, M. I.El-Khaiary,( *Kinetics and Equilibrium Studies of Malachite Green Adsorption on Rice straw-derived char*), *J.Hazard. Mater.*,153, 701- 708, (2008).
43. P.Panya, O.Aquero, G. V.Franks, and E. J.Wanless,( *Dispersion Stability of a Ceramic Glaze Achieved Through Ionic Surfactant Adsorption*) *J. Colloid Interface Sci.*, 279, 23–35 (2004).
44. V. P. Vindo and T. S.Anirudham, (*Sorption of Tannic Acid on Zirconium Pillard Clay*) *J. Chem. Technol. Biotechnol*, (77) 92-101 (2001).
45. W. N. Mohammad ,( *Thermodynamic and Kinetic Study Of Adsorption ( $Cr^{+3}$ ,  $Fe^{+3}$ ,  $Co^{+2}$ ,  $Ni^{+2}$ ) Ions From Aqueous Solutions On Titanium Phosphate*), M.Sc. Thesis, Kerbala University (2009).
46. D. M. Murtadha ,( *Thermodynamic Study of the Adsorption of the Ligand(2-[(2- Thiazolyl)azo]-4-benzyl phenol) some complex on nuclei dates coal surfase* ), M.Sc. Thesis, Kufa University (2009).
47. I.Langmu. (*The Adsorption of gases on plan surfaces of glass*), mica & platinum. *Ame. Chem. Soc.*( 40), 1361-1403 (1918).
48. H.Frenudlich, *J.Phys .chem* .57,385-470 (1906).
49. M.Temkin and V. Pyzhev. *Acta Physicochim. URSS*. 12, 217-225 (1940).
50. O. Redlich and D. Peterson. *J. Phys. Chem.* 63, 1024-1026 (1959).



## References

---

51. L. Toth , *J. Acta Chim Acad Sci Hung.* 69, 311-328 (1961).
52. J. Oscik, and I.L.Cooper, (*Adsorption*), *John Willy and Sons* ,  
*New York* , 33 , (1982) .
53. D. U. Derr and R. P. Miller , ( *Engineering classification and index properties for in tract rock*), Technical report No. AFWL - TR - 65 -116 Air Force weapons lab. Kentland , New Mexico , (1966).
54. A.Y. Alshmary ,( *Estimation of some heavy metals inclams, sediments and water from Shatt Al-Arab and treatment rocksporcellanite*), M.Sc. Thesis, Basrah University (2013).
55. K.S. Al-Bassam, A.A. Saleh, N.A. Rashid, M.M. Shaker, and S.Korkess,( *The Use of Iraqi rocks as filter aids for sulfer refining and food products as substitute for celite*). Internal report. Som. (1993).
56. A. Patterson, (*The Scherrer Formula for X-Ray Particle Size Determination*), *Phys.Rev.*56 (10): 978-982,1939
57. (النعيمي ، محمد احمد، تأثير نوعية السليكا في الصفات الفيزيائية و الميكانيكية للجسام السيراميكية المستخدمة كمواد بناء) أطروحة ماجستير ، جامعة بغداد ، 95 ، (1996).
58. سليم بطو، سلام متي ، (تقييم صلاحية البورسيلينات لا استخدامها كمساحيق حرة لصقل الفلترات الرخوة، أطروحة ماجستير) ، جامعة بغداد ، 1997 .
59. M. Abul Hossain and Md. Lokman Hossain, (Kinetic study of Malachite Green adsorption on used black tea leaves from aqueous solution), *J . Advanced Research* , 2(4) , 360-374 , 2014 .

## References

---

60. H. Chen and J.Zhao ,( Adsorption Study for Removal of Congo Red Anionic Dye using OrganoAttapulгите) , 15 , 381 – 389 , (2009).
61. S.P.Buthelezi, A.O.Olaniran, and B. Pillay ,Textile dye removal from wastewater effluents using bioflocculants produced by indigenous bacterial isolates. *Molecules*, 17(12) , 14260 – 14274 ,(2012).
62. رمضان ، عمر موسى،(الكيمياء الصناعية والتلوث الصناعي) ،  
جامعة الموصل ص152- ،(1991).
63. E. Forgacs, T. Cserhati and G.Oras, (***Removal of synthetic dyes from wastewater: a review***),*J. Environ. International.*, 30, 953-971,2004.
64. N. K. Trivedi, B. Arvind Boricha, C. H. Bajaj and V. R. Jasra ( ***Adsorption of Remazol Brilliant Blue R Dye From Water By Polyaluminum Chloride***) *J.Chem.RAYAN* , 2, 2, 379-385 (2009).
65. B. T. Pelosi, L. K. S. Lima and M. G. A. Vieira (***Removal of The Synthetic Dye Remazol Brilliant Blue R From Textile Industry Wastewaters by Biosorption on The Macrophyte Salvinia Natans***) , *Brazilian Journal of Chemical Engineering* , 31 ( 04), 1035 - 1045, 2014.
66. M.K. Dwivedi, I.P. Tripathi and A. K. Dwivedi, (***Sorption studies on removal of malachite green from wastewater by coal fly ash***), *Int. J. Scientific Research*, 3(11) , 57-60,(2014).
67. جواد كاظم الخفاجي ، الكيمياء الصناعية ، جامعة الموصل ، ص167-225-456 ،  
(1999).
68. G.B.Marg andG. B. Bhavnagar (***Adsorption of Remazol Brilliant Blue from Dye Containing Water has been investigated***)*RASAYAN j.Chem.*, 2(2), 379-385, (2009).
69. Ü. Gecgel and H. Kolancilar (***Adsorption of Remazol Brilliant Blue on activated Carbon Prepared from apine Cone***),*Journal (Natural Product Research)*, 26(7),(2012).

## References

---

70. M. R. Mafra and L.I. Mafra , (*Adsorption of Remazol Brilliant Blue on an orange Peel Adsorbent*), Brazilian Journal of chemical Engineering ,30(3),657-665, (2013).
71. Bayrak, Yuksel , Uzgor and Resmiye (*Kinetic and Thermodynamics of Remazol Brilliant Blue Adsorption*),Asian Journal of Chemistry ,25(9),(2013).
72. A. F. Alkaim , Z. S. Abd and A. Y. Talib Mouared(*Study the adsorption of remazol brilliant blue dye from aqueous solutions using bioresource activated carbon*) Iraqi National Journal of Chemistry, 52,369-381, 2013.
73. M. A. Ahmad and O. S. Bello ,( *Adsorption Studies of Remazol Brilliant Blue Dye on Activated Carbon Prepared from Corncob* ) Columbia International Publishing American journal of Modern Chemical Engineering ,1(1),1-12, (2014).
74. M. A. Ahmad , S. G. Herawan and A.A. Yusof ,(*Effect of Activation Time the Pinang Frond Based Activated Carbon For Remazol Brilliant Blue Removal*), Journal of Mechanical Engineering and Sciences, 7,1085-1093,(2014).
75. A. S. Mahmoud, M. S. Brooks and A. E. Ghaly (*Decolorization of Remazol Brilliant Blue Dye Effluent by Advanced Photo Oxidation Process (H<sub>2</sub>O<sub>2</sub>/UV system)* , *American Journal of Applied Sciences* 4 (12): 1054-1062, 2015.
76. A. Markadeh , A. Rezaee , S. Rastegar , H. Hossini , S. Ahmadi and E. Hoseinzadeh, (*Optimization of Remazol Brilliant Blue adsorption process from aqueous solutions using multi – walled carbon nanotube*), *Journal Desalination and water Treatment* , 57(28), 2016 .

## References

---

77. R. Alrozi , N. Anuar , F. Senusi and M. Kamaruddin(*Enhancement of Remazol Brilliant Blue R Adsorption Capacity by using Modified Clinoption* ), *Iranica Journal of Energy and Environment* , 7(2),129-136,2016.
78. P.S.Syed (*Study of the Removal of Malachite Green from Aqueous Solution by using Solid Agricultural Waste* ) , *Res.J.Chem.Sci.*, 1 (1) ,(2011).
79. M. N. Idrisa , Z. A. Ahmada and M. A. Ahmadb,( *Adsorption equilibrium of malachite green dye onto rubber seed coat based activated carbon* ) , *International Journal of Basic & Applied Sciences IJBAS-IJENS* 11(3), 2011.
80. Y.C. Uma and Y.C. Sharma , (*Removal of Malachite Green from Aqueous Solutions by Adsorption on to Timber Waste*), *International Journal of Environmental Engineering and Management*,4(6) , 631-638, 2013.
81. L. Zhang (*Removal of malachite green from wastewater by activating and improving the modified red clay*), *Int. J. Scientific Research*, 4(11) , 56-70,(2014).
82. D. Wang , A. Gurses and N. Wang ,( *Preparation and diagnosis of  $\beta$ -cyclodecastrin-nano-galaphene ( $Fe_3O_4$  /  $\beta$ -CD / GO) as a surface of the adsorption of the Malachite Green from Aqueous Solution* ) , *Brazilian Journal of Chemical Engineering* , 31(4), 1035 – 1045 ,(2014).

## References

---

83. F.Hemmati , N. Trivedi , B. Boricha , C. Bajaj and V. Jasra (*Study of the removal of the malachite green dye from aqueous solutions using algae plankton*) ,*Rasayan J. Chem.*,2(2) 379-385 (2015) .
84. E.Bulut, D. Gonzalez, A. Keegan and P. Dillon ,( *Adsorption of Malachite Green 19 from Water using Polyaniline/Bentonite* ),*Journal of Water Reuse and Desalination* ,6(1),30-39,(2016).
85. B. Ali Fil (*Adsorption of malachite green dye on Montmorelite clay*), *International Journal of Basic & Applied Sciences IJBAS-IJENS* 11( 3),2016.
86. S. A. Zulkepli, M. P. Abdullah<sup>1</sup>, W. M. Afiq and W. M. Khalik, (*Removal of Malachite Green Dye From Aqueous Solution Using Multi-Walled Carbon Nanotubes: An Application of Experimental Design*),*Malaysian Journal of Analytical Sciences*,11(10), 1394 – 2506 ,2016 .
87. C. Pradeep Sekhar, V. Nirmala Devi, P. Saraswathi and M. Makeswari(*Study the removal of Malachite Green dye from aqueous solutions using cellulose powder*), *ejpms*,3(7), 395-398, 2016 .
88. S.Z. Jassim and J.C. Goff, (*Geology of Iraq*), Published by Dolin, Prague and Moravian Museum, Brno 1<sup>st</sup> ed., 299, 2006.

## References

---

89. A.Özcan, C.Ömeroğlu, Y.Erdoğan and A. S., Özcan, (*Modification of bentonite with a cationic surfactant: An adsorption study of textile dye Reactive Blue*), J. Hazard.Mater.,19,140, 173-179, 2007.
90. H.W. Van Der Marcel and H. Beutelspacher, (*Atlas of Influenced Spectroscopy of Clay Minerals and Their Admixture*), Elsevier Scientific Amsterdam 7<sup>th</sup> ed., 34-35, 1976.
91. B.D. Cullity and S.R. Stock, (*Element of X-Ray Diffraction*), 3<sup>rd</sup> ed., Prentice-Hall Inc., 167-171, 2001.
92. T.W. Webber and R.K. Chakravorti, (*Pore and Solid Diffusion Mode for Fixed- Adsorbers*), *AlchE.J.*20,228-238, 1974.
93. J. Raffiea Baseri, P.N. Palanisamy and P. Siva Kumar,(Adsorption of Basic Dyes from Synthetic Textile Effluent by Activated Carbon Prepared from Thevetia Peruviana),*Indian J. of Chem.Technol.* ,19,311-321, 2012.
94. A.K. Jain, V.K. Gupta, A. Bhatnagar, S. Jain and I.A. Suhas, (*A Comparative Assessment of Adsorbents Prepared from Industrial Wastes for the Removal of Cationic Dye*), *J. Indian Chem. Soc.*;80, 267-270, 2003.
95. Gill, R. C. O." *Chemical thermodynamic*". Longman Scientific and Technical, 305. (1993).
96. Egozy, Yair., "*Adsorption of cadmium and cobalt on montmorillonite as a function of solution composition. Clays and clay minerals*", 28. 4. 311. (1980).

## ***References***

---

97. CRC " **Hand book of chemistry and physics** " 57<sup>th</sup> edition, (1976-1977).
98. R.W. Gaikwad, (***Remoal of Cd(II) from Aqueous Solution by Activated Charcoal Derived from Coconut Shell***), Electronic Journal of Environmental ,ASgricultural and Food Chemistry (EJEAF Che), 3(4),702-709, 2004.
99. S.P. Raghuvanshi, A.K. Raghav, R.Singh and A. Chandra, (Investigation of Sawdust as Adsorbent for the Removal of Methylene Blue Dye in Aqueous Solution. Proceedings of international Conference for Water and Wastewater Perspectives in Developing Countries (NAPDEC) International Water Association, U.K.;99, 1053-1062, 2002.

## *Abstract*

This Thesis is concerned with the study of adsorption of Remazol Brilliant blue and Malachite green dyes on Iraqi Porcelanite rocks and modified form of this rocks . In this study Iraqi Porcelanite rocks was treated with melamine to prepare porcelanite - melamine complex. The complex was then polymerized with formaldehyde to obtain porcelanite – melamine – formaldehyde polymer (PMFP).

Iraqi porcelanite rocks and novel PMF polymer were characterized by FT-IR, XRD, and SEM techniques , as well as the characterized by AFM for modified form of this rocks .

Experiment were carried out to investigate the possible use of the Iraqi porcelanite rocks and prepared polymer (PMFP) for the removal of Remazol Brilliant blue and Malachite green dyes from aqueous solutions. UV – Visible spectrophotometry technique has been applied to study the adsorption isotherm and the factors influencing on it, such as contact time, adsorbent dose, pH, ionic Strength and temperature.

The results showed of the Remazol Brilliant blue dye that the equilibrium time reached within 20 min and (0.06g) of adsorbent dose at pH (6.7) of operation for Iraqi porcelanite rocks, but regarding Malachite green dye the results showed that the equilibrium time reached within 30 min and (0.05g) of adsorbent dose at pH (8.5) of operation for Iraqi porcelanite rocks. while 10 min and (0.01g) of adsorbent dose at pH (6.7) of the Remazol Brilliant blue dye for PMFP, but regarding Malachite green dye the results showed that the equilibrium time reached within 10 min and (0.03g) of adsorbent dose at pH (8.5) of operation for PMFP. The study of ionic Strength revealed that the adsorption capacity decrease with the increase of the concentration of ionic Strength for the Remazol Brilliant blue dye on the surface of the Iraqi porcelanite rocks and modified form either with Malachite green dye of the opposite behavior.

The removal of Remazol Brilliant blue and Malachite green dyes using Iraqi porcelanite rocks and modified form has been studied at different temperatures (298.15, 308.15, 318.15, and 328.15)K to determine the adsorption isotherms and thermodynamic functions.



The experimental isotherms data were analyzed using Freundlich and Langmuir isotherm models. The data was found that Freundlich isotherm model fits the data very well for all dyes on both adsorbents. The shapes of the isotherms obtained from the experimental data were found to be comparable in all cases to the (S- curve) type according to Giles classification .

Thermodynamic analysis was carried out for all dyes – adsorbent systems. According to the results the thermodynamic functions ( $\Delta G$ ,  $\Delta H$ , and  $\Delta S$ ) were calculated. It was found that the adsorption processes of Remazol Brilliant blue dye on Iraqi porcelanite rocks or PMFP were spontaneous and exothermic in nature from the negative values of  $\Delta G$  and  $\Delta H$  .The negative value of entropy over the temperature range characterize on Iraqi porcelanite rocks an decreases disorder of the system and the driving force for adsorption is an entropy effect , As for the positive values of entropy when adsorption of Remazol Brilliant blue dye on the surface PMFP over the temperature range characterize an increase disorder of the system and the driving force for adsorption is an entropy effect .While the process of adsorption of Malachite green dye on on the surface of the Iraqi porcelanite rocks and modified form were spontaneous in nature from the negative values of  $\Delta G$  and endothermic in nature from the negative values of  $\Delta H$ .The positive values of entropy over the temperature range characterize an increase disorder of the system and the driving force for adsorption is an entropy effect.

The performance of both adsorbents to adsorb Remazol Brilliant blue and Malachite green dyes was also compared . It was found that the adsorption capacity of PMFP was higher than Iraqi porcelanite rocks. From the work, it was clearly shown that modified form of Iraqi porcelanite rocks has good adsorption capacity on Remazol Brilliant blue and Malachite green dyes.

*Republic of Iraq  
Ministry of Higher Education &  
Scientific Research  
University of Kerbala  
College of Education  
for pure science  
Department of Chemistry*



**Study Removal Remazol Brilliant blue and Malachite Green  
Dyes from aqueous solutions using Iraqi Porcelanite rocks and  
Modified Form**

*A Thesis Submitted to  
Council of College of Science – University of Kerbala  
In Partial Fulfilment of Requirements for the Degree of  
Master of Science in Chemistry*

*By  
Noor Ali Yazí AL-Khazali  
B.Sc. in Chemistry – University of Kerbala 2015*

*Supervisors  
Prof. Dr. Muneer Abdul aly Abbas AL-Da'amy*

*2017 A.D*

*1438 A.H*